

JEOFİZİK

CİLT 5, SAYI 2 / EYLÜL 1991

VOL. 5, NO. 2 / SEPTEMBER 1991

Aşağıya ve Yukarı Giden Dalga Alanlarının Median
Süzgeçleri ile Birbirinden Ayrılması
Aybige AKINCI ve A. Güngör TAKTAK

Tehran'da Jeoelektrikanyetik Derinlik Sondajı
D. Metin İLKİŞIK ve Asemeh REZABAKHSH

Manyetik Verilerin Hızlı ve Otomatik Yorumunda
Werner Tekniği ve Yatay Türevleri
Ibrahim AYDIN

Marmara Denizi Gravite ve Manyetik Verilerinin
Fourier Analizleriyle Değerlendirilmesi
Fatih M. ADATEPE

Batu Anadolu Deprem Riskinin Semi-Markow Model
ile Değerlendirilmesi
Yıldız ALTINOK

Separation of Up and Downgoing Wavefields by
Median Filtering

Aybige AKINCI and A. Güngör TAKTAK

Geoelectromagnetic Depth Sounding at Tehran
O. Metin İLKİŞIK and Asameneh REZABAKHSH

Horizontal Derivatives and Werner Technique in
Fast and Automatic Interpretation of Magnetic Data
Ibrahim AYDIN

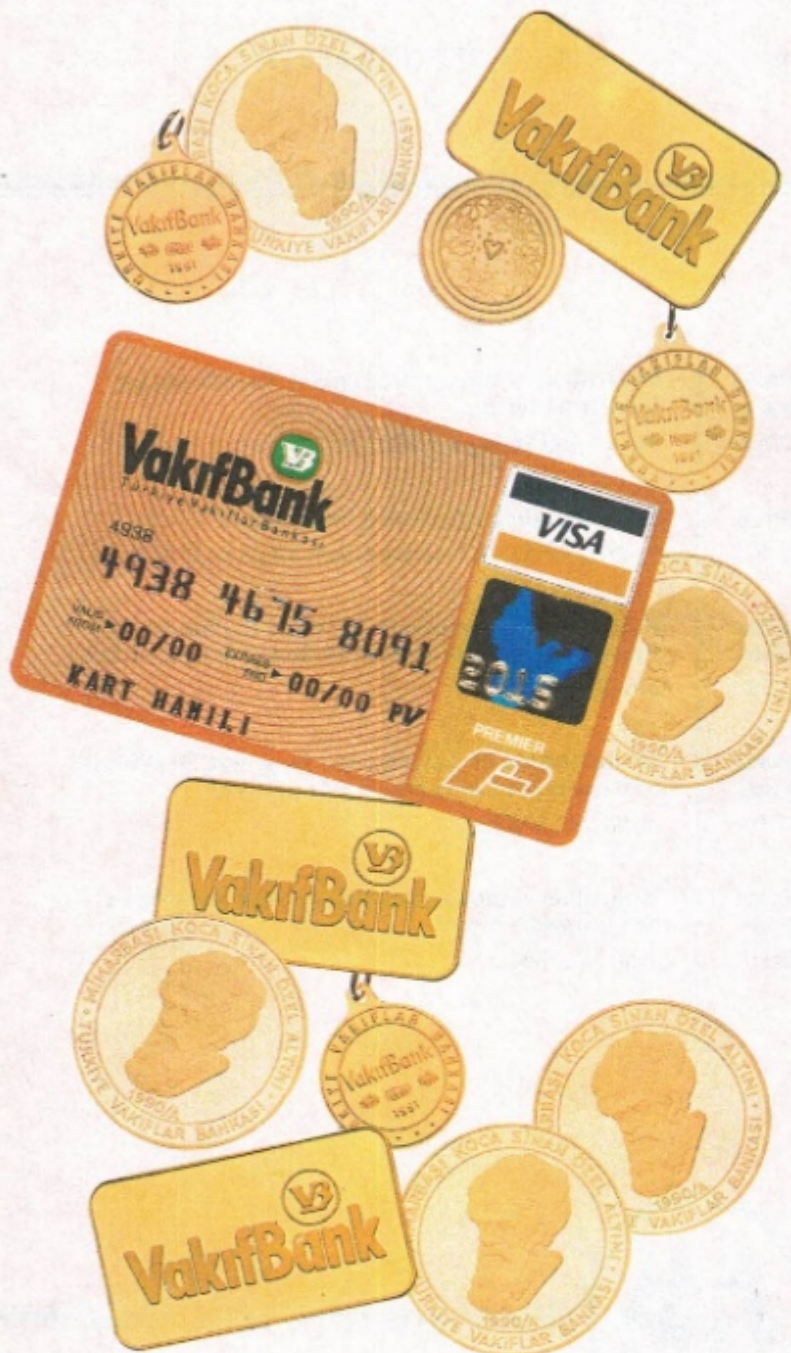
Interpretation of Gravity and Magnetic Data of the
Marmara Sea Using Fourier Transforms
Fatih. M. ADATEPE

Evaluation of Earthquake Risk in West Anatolia by
Semi-Markov Model
Yıldız ALTINOK



TMMOB JEOFİZİK MÜHENDİSLERİ ODASI
THE CHAMBER OF GEOPHYSICAL ENGINEERS OF TÜRKİYE

Vakıfaltı alın. Kredi kartınızla ödeyin.



Geçmişten gelen birikimini geleceğe aktaran VakıfBank, müşterilerinin ihtiyaçlarına karşı son derece duyarlı... Bunun en güzel örneklerinden biri de VakıfBank altınları ve VakıfBank kredi kartları.

VakıfBank, yakınlarınıza vereceğiniz değerli bir hediye için veya yatırım amacıyla yararlanabileceğiniz Mimar Sinan, Maşallah, Vakıf ve GAP altınlarını sunuyor. Üstelik VakıfBank kredi kartı sahipleri bu dört çeşit altın nakit ödemeden kredi kartları ile alabiliyorlar.

VakıfBank kredi kartı sahibi olmanın avantajları bununla kalmıyor. VakıfBank tarafından sunulan MasterCard/EuroCard ve VISA kredi kartları ile Türkiye'de ve dünyada kolay yaşıyor. Bu kredi kartları ile 10 milyonu aşkın işletmede imzanız para yerine geçiyor. Nakit gerekiğinde ise yine tüm dünyada 50.000'den fazla banka şubesinden ve 40.000'lük VISA Otomatik Para Çekme Makinesi'nden nakit avans çekebiliyorsunuz.

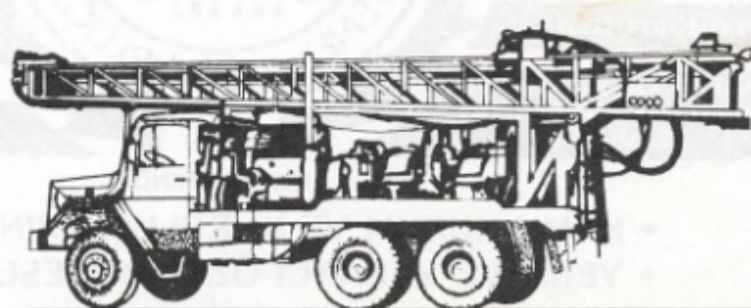
VakıfBank, size her gün daha da mükemmel bir banka sunmak için çalışıyor. VakıfBank altınları ve kredi kartları da bu konudaki çabamızın bir örneği.

VakıfBank
21. Yüzyıl Bankacılığı



***Drilling
and
Seismic Services***

ÇANKAYA CADDESİ NO: 23/2, 06700 ANKARA
Tel: 436 34 63



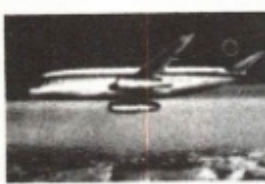
ajans iletim 300503

Madeni hayatınıza katan banka

ETİBANK



"Bor Üretir."



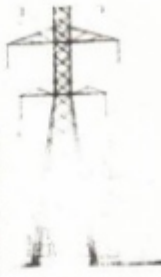
"Alüminyum Üretir.."



"Krom Üretir.."



"Etiper Üretir.."



"Bakır Üretir.."



"Kükür Üretir.."

ETİBANK URUNLERİ

Alüminyum	Üretilen:	Alüminyum
Alüminyum Hidroj	Borak	Borak
Alüminyum Sulfat	Pentahidrat	Zimperi
Alüminyum Kükür	Borak Aşırı	Karpın
Alüminyum Profil	Selçuklu Perlöz	Beri
Alüminyum Folyo	Krom	Gümüşözöz Perlöz
Alüminyum Lehim	Femikrom	Etipler İncekaz
Alüminyum Folyo	Femikrom	Etipler Parab
Bileşik Borak	Femikaziyum	Marmar Foster
Bakır Perit	Selçuklu Konsermeli	Cukur
Kolemanit	Mangit	
Tavşan	Çivı	

Yarım yüzyıldır ülkemizin madenlerini günışığına çıkararak dünyaaya ulaştıran Etibank, tasarruflarını kârlı yatırımlara dönüştüren, size daha çok kazandıran bankadır.



ETİBANK

"güçlü kuruluş, güçlü bankacılık"

MADEN TETKİK VE ARAMA GENEL MÜDÜRLÜĞÜ

JEOLOJİ VE JEOTEKNİK

HİDROJEOLÖJİ

JEOFİZİK

UZAKTAN ALGILAMA

JEOTERMAL

JEOMORFOLOJİ

MADEN ENDÜSTRİYEL VE
ENERJİ HAMMADDE ETÜT
VE ARAMA

SONDAJ

ANALİZ VE TEKNOLOJİ

YÖNTEM GELİŞTİRME

PROJE VE FİZİBİLİTE

TOPOGRAFYA

PAZAR ETÜDÜ

MÜŞAVİRLİK

KONULARINDA

- KAMU KURUM VE KURULUŞLARININ
- YERLİ VE YABANCI ÖZEL MÜTEŞEBBİSLERİN
HİZMETİNDEDİR

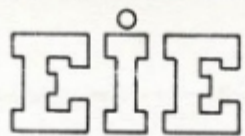
GENEL MÜDÜRLÜK

Tel: (4)-287 34 30

Telex: 42741 - mta tr

Fax: (4) - 287 91 88

Adres: MTA 06520, ANKARA



MÜHENDİSLİK JEOFİZİĞİNDE UZMAN KURULUŞ
ELEKTRİK İSLERİ ETÜT İDARESİ GENEL MÜDÜRLÜĞÜ

BÜYÜK BARAJ PROJELERİNİN BARAJ YERİ, REZERVUARI, SANTRAL YERİ,
ÇEVİRME TÜNELİ, ENERJİ TÜNELİ VE BENZERİ TÜM MÜHENDİSLİK YA-
PILARININ ZEMİN JEOFİZİK ARAŞTIRMALARI...

ÜCRET KARSILIĞI VEYA ÖZEL PROTOKOLLERLE OTOYOL, DEMİRYOLU, TÜ-
NEL GÜZERGAHLARI, FABRİKA, TURİSTİK TESİS, YENİ YERLEŞİM ALANI,
ÇOK KATLI BİNA, HAVA LİMANI, TERMİK VE NÜKLEER ENERJİ SANTRAL-
LARININ ZEMİN ARAŞTIRMALARINDA YÜKSEK TEKNOLOJİ ÜRÜNÜ JEOFİ-
ZİK CİHAZLARLA UZMAN VE DENEYİMLİ MÜHENDİSLİK HİZMETLERİ...

DEPREMSELLİK VE DEPREM RİSKI ARAŞTIRMALARI...

Cominco  **Madencilik**
Sanayi Anonim Şirketi

A Subsidiary of Cominco Resources Int. Ltd.

MADEN ARAMA ve İŞLETME

FARABI SOKAK 3/3 06680 ÇANKAYA-ANKARA-TURKEY
Tel : 9(4) 168 48 41 + 42
Fax : 9(4) 168 48 43



*Garanti'den
doğaya küçük bir
teşekkür...*

*Garanti Bankası, yurtçi ve
yurtdışı Visa kredi kartlarından
sağlanan kaynağın bir bölümüyle;
kredi kartı sahiplerine hiçbir külfet
yüklemeden, doğal yaşamın
korunmasına destek oluyor.
Doğal Hayatı Koruma Derneği'nin,
ulusal ve uluslararası kuruluşlarla
işbirliği* içinde gerçekleştirdiği
ülkemize yönelik proje ve*

*etkinliklere katkıda bulunuyor.
Ve bu yaklaşımı yeni Visa kredi
kartının tasarımlına da yansıtıyor.
Kart sahiplerine yeni Visa'larını
kısa zamanda ulaştırıyor.
Çocuklarımıza, gençlerimize,
onlardan ödünç aldığımız dünyayı
tertemiz bırakabilmek için:
Garanti'den doğaya küçük bir
teşekkür...*



GARANTI BANKASI

Doğal Hayatı Koruma Derneği'nin ülkemde yürüttüğü başka projeler: "Menderes Deltası ve Bafa Gölü Koruma Projesi", "Göksu Deltası Çevresel Kalkınma Projesi", "Kazılırmak Deltası Koruma Projesi", "Türk Soğanlı Békâlerinin Yerli Üretim Projesi", "Kış Yönetimi Projesi" ve "Önemi Küçük Alanları Projesi". Doğal Hayatı Koruma Derneği tüm bu projelerini Türkiye'de T.C. Çevre Bakanlığı, merkezi ve yerel idari birimler, üniversiteler ve çeşitli sponsor kuruluşlar; yurdun dışında "Dünya Doğayı Koruma Vakfı" (WWF), "Uluslararası Kuşları Koruma Konseyi" (ICBP), "Tour Du Valat Biyoloji Merkezi" (Station Biologique Tour Du Valat), "Hayvan ve Bitki Koruma Derneği" (FFPS), "Kraliyet Kuşları Koruma Derneği" (RSPB) başta olmak üzere bir çok kurum ve kuruluşla işbirliği içinde yürütmektedir.



JEOFİZİK

TMMOB JEOFİZİK MÜHENDİSLERİ ODASI SÜRELİ YAYINI
JOURNAL OF THE CHAMBER OF GEOPHYSICAL ENGINEERS OF TÜRKİYE

TMMOB JEOFİZİK MÜHENDİSLERİ ODASI

Adına Sahibi ve Sorumlu
Yazı İşleri Müdürü
Osman DEMİRAĞ

YÖNETİM KURULU
Executive Committee
Osman DEMİRAĞ
M. Ali AK
Mehmet ALTINTAŞ
T. Fikret AKSU
Cemil KAVUKÇU
A. Uğur GÖNLÜLALAN
İmam ÇELİK

YAYIN KURULU
Publication Committee
A. Tuğrul BAŞOKUR
Nuran ERGİN
Sinan KAVUKÇU
Gönül KILÇ
Arzu SEVİNÇ
E. Uğur ULUGERGERLİ

TMMOB
JEOFİZİK MÜHENDİSLERİ ODASI
Mithatpaşa Cad. 45/15 P.K. 255
Kızılay - ANKARA - TÜRKİYE
Tel : (4) 435 13 79 Fax : (4) 432 10 85

BASILDIĞI YER
KOZAN Ofset Matbaacılık
Tic. ve San. Ltd. Şti.
Tel: (9-4) 341 14 27 • Fax: 341 28 60

DİZGİ
ARTİ Ltd. Şti.
Tel : 417 06 87 Fax : 425 08 37 - Ankara

YILDA İKİ KEZ MART VE EYLÜL
AYLARINDA YAYINLANIR.
Published Twice a Year
in March and September

CILT 5, SAYI 2/EYLÜL 1991 VOL. 5, NO. 2/SEPTEMBER 1991

İÇİNDEKİLER / CONTENTS

AŞAĞIYA VE YUKARI GİDEN DALGA ALANLARININ MEDIAN SÜZGEÇLERİ ILE BİRİBİRİNDEN AYRILMASI	85
Separation of Up and Downgoing Wavefields by Median Filtering	
Aybige AKINCI ve A. Güngör TAKTAK	
TAHRAN'DA JEOELEKTROMANYETİK DERİNLİK SONDAJı	99
Geoelectromagnetic Depth Sounding at Tehran	
O. Metin İLKİŞİK ve Asamanah REZABAKHSH	
MANYETİK VERİLERİN HIZLI VE OTOMATİK YORUMUNDА WERNER TEKNİĞİ VE YATAY TÜREVLERİ	111
Horizontal Derivatives and Werner Technique in Fast and Automatic Interpretation of Magnetic Data	
İbrahim AYDIN	
MARMARA DENİZİ GRAVİTE VE MANYETİK VERİLERİNİN FOURIER ANALİZLERİYLE DEĞERLENDİRİLMESİ	127
Interpretation of Gravity and Magnetic Data of the Marmara Sea Using Fourier Transforms	
Fatih M. ADATEPE	
BATI ANADOLU DEPREM RİSKİNİN SEMI-MARKOW MODEL İLE DEĞERLENDİRİLMESİ	135
Evaluation of Earthquake Risk in West Anatolia by Semi-Markov Model	
Yıldız ALTINOK	
ODA ÜYELERİ	142

AŞAĞIYA VE YUKARI GİDEN DALGA ALANLARININ MEDİAN SÜZGEÇLERİ İLE BİR BİRİNDEN AYRILMASI

Separation of Up and Downgoing Wavefields by Median Filtering

Aybige AKINCI* ve A. Güngör TAKTAK*

ÖZET

Düşey sismik profilleme (VSP), yeryüzünde yaratılan bir sinyalin, kuyu içerisinde farklı derinliklere yerleştirilmiş jeofonlar tarafından kaydedildiği, bir sismik ölçme tekniğidir. Yeryüzünde yapılan sismik araştırmalarla kullanılan jeofonların yerleştirildiği doğrultu ile VSP'de kullanılan jeofon yerleşim doğrultusu arasında 90° lik fark vardır. Böylece kuyu içine yerleştirilmiş olan jeofon, kayıt esnasında hem aşağıya, hemde yukarıya giden dalga modlarını birlikte kaydeder. VSP çalışmalarında özellikle yukarıya giden dalga modları yüzey dalga modlarında da kaydedilir. Dolayısı ile bu olay, VSP yansımaya kesitlerini yüzey yansımaya kesitleri ile karşılaştırma olağanlığını ortaya çıkarttılarından çok önemlidir. Ancak VSP verilerinde yukarıya giden dalga modları aşağıya giden dalga modları tarafından örtüldüğünden, yorumlarının yapılabilmesi oldukça güçtür. Bu nedenle yukarıya giden dalga modlarının diğerlerinden ayrılması, VSP veri işlem uygulamasının en önemli bölümüdür.

VSP'de aşağıya ve yukarıya giden dalga modlarını birbirinden ayırmak için, genellikle frekans dalga sayısını ortamında hız süzgeçleri kullanılır. Hız, belirli yönü ve büyütüğü olan vektörel bir değişken olduğundan, yukarıya ve aşağıya giden dalgalar, frekans ortamında karşıt bölgelerde yer alırlar. Böylece seçilen bölgeye ağırlık verilerek ters Fourier dönüşümü, yalnızca istenen dalga modlarının görüntülenmesini sağlar.

Aşağıya ve yukarıya giden dalga modlarının ayrılması için hız süzgeçlerinden başka birde median süzgeçlerinden yararlanılır. Median süzgeçleri süzgeç işleçlerindeki değerlerin büyükten küçüğe doğru sıralanması sonucunda oluşan dizinin orta değerinin seçilmesi ile oluşturulur. Seçilen değerler işleme girecek verideki hareketli bir pence-renden alınır. Bu işlem sismik veri işlemede doğrusal olayları artırmak ve gürültülerini sönmülemek için kullanılır. Median süzgeçlerinin önemli bir özelliğide doğrusal bir işlem olmazıdır. Bundan dolayı VSP de okunan ilk varyasyonların zamanları, dolayısı ile genlik bilgileri geciktirilebilir. Median süzgeçlerinin verilen bir izdeki iğnecikleri ortadan kaldırın ve daha önce bahsedildiği gibi doğrusal olayları arturan bir özelliğe sahip olması, onu VSP'deki dalga modlarının seçiminde kullanılmasını olanaklı hale getirir.

Bu çalışmada oluşturulan sıfır açılımlı yapay VSP verisi üzerine çeşitli uzunlukta median süzgeçleri uygulanmıştır. Sonuçta median süzgeçlerinin hız süzgeçlerinden daha ekonomik daha etkili ve daha hızlı bir şekilde çalıştığı gözlenmiştir.

ABSTRACT

A vertical seismic profile (VSP) is a measurement procedure in which a seismic signal generated at surface of the earth is recorded by geophones secured at various depths to the wall of drilled well. The direction that geophones are deployed during the data acquisition thus differs by 90° degrees relative to the lateral geophone placement used when recording seismic reflection data at the earth's surface. The analysis of upgoing wave fields in VSP data is particularly important since these events are recorded in conventional seismic measurement. However, in VSP data downgoing wave field is always dominant so that any interpretation involving primary reflections is difficult from a raw VSP data set. Therefore separation of wave fields becomes necessary if the analysis of upgoing primary wave fields is the goal.

The most common and well established method to the removal of selected wave fields is the velocity filtering in the frequency wave (f-k) domain. Velocity is a vector, and direction and magnitude of it are different for different wave modes and hence up and downgoing waves will be in opposite quadrant in the f-k domain. Weighting of the selected quadrant and taking the inverse transform yield the desired result.

Median filters operate by selecting the middle value of ascending ordered sequence of numbers. A median extracted and placed on output trace at the middle of the window. Median filters enhance the linear events and remove the spikes from a given sequence.

The other important mathematical property of a median filter is that median filtering is a nonlinear process. As noted previously, median filters enhance the linear events and remove the spikes from a given sequence. This property of median filtering makes possible removing the selected mode of wave fields on VSP data. Median filters at various lengths have been applied on calculated synthetic zero offset VSP data through this study. Consequently, it can easily be observed that median filters have more effective, faster and more economic system than velocity filters.

* Dokuz Eylül Üniversitesi, Müh. Mim. Fak., Jeofizik Müh. Bölümü, Bornova, İzmir

GİRİŞ

Kaydedilmiş sismik izlerdeki bazı olayları gözlenebilir hale getirmek, yani istenmeyen olayları ortadan kaldırmak sismik veri işlemin amaçlarından biridir. Median süzgeçleri de aynı amaçla, özellikle VSP'de süreksızlıkların korunması ve gürültülerin yuvarlatılması temeline göre geliştirilmiştir.

İlk kez Rabiner ve diğ. (1975) ve Joyant (1976) median süzgeçlerinin sayısal gürültü gidermede ne şekilde kullanılabilirliğini tanımlamıştır. Çeşitli işlemler için median süzgeçlerinin algoritmaları Huang ve diğ. (1979) ve Evans (1981) tarafından verilmiştir. Bednar (1983), sismik veri işlemde median süzgeçlerinin bir kaç uygulamasını başarılı bir şekilde ortaya koymuştur. Hardage (1983) VSP'de median süzgeçlerinin önemini ve gözlenmek istenen olayların gözlenebilir bir duruma getirilmesinde bu yöntemin ne gibi üstünlükleri olduğunu vermiştir.

Eğer N tane istatistiksel veri, küçükten büyüğe doğru sıralanmış ise dizideki median değeri $(N + 1)/2$ bağıntısını sağlayan veri örneğidir. Buradaki N veri sayısı tek olduğunda median değeri düzeltenmiş veri grubunun ortasındaki değeridir. Buna karşın N çift ise median değeri düzeltenmiş veri grubunun ortasındaki iki terimin ortalamasına eşittir. Median süzgeçleri bir tür veri yuvarlatma işlemi yaparlar. Örneğin:

X_1, X_2, X_3, X_4, X_5
şeklindeki bir veri grubu küçükten büyüğe doğru sıralandığında;
 X_3, X_5, X_2, X_4, X_1
şeklini alır. Böylece yeni düzeltenen dizideki median değeri X_2 olacaktır.
 $(X_1, X_2, X_3, X_4, X_5) \rightarrow$ Median süzgeci $\rightarrow X_2$

Bu örnek doğrusal bir işlem olmayan median süzgecinin önemini bir özelliğini gösterir. Süzgeç çıktıtı X_2 , ne giriş verisi ile evrişirilen süzgeç katsayılarının doğrusal bir kombinasyonu ne de giriş veri vektörünün frekans spektrumunu ile bir süzgeç spektrumunun çarpımı şeklinde tanımlanmaktadır. Eğer birkaç doğrusal işlev $a(t), b(t), c(t), \dots$ bir giriş veri vektörü $x(t)$ 'ye uygulanırsa, aşağıdaki gibi evrişim işleminin değişme özelliğini kullanılarak,

$$y(t) = a(t) * x(t) * b(t) * c(t)$$

veya

$$y(t) = b(t) * a(t) * x(t) * c(t)$$

şeklinde yazılabilir. Ancak, doğrusal olmayan matematiksel bir işlev veriye uygulanırsa, bu işlemin uygulandığı dizide her basamakta aynı başarı ile elde edilemez. Örneğin \emptyset doğrusal olmayan bir işlev ise;

$$y(t) = \emptyset(t) * a(t) * x(t)$$

ile

$$y(t) = a(t) * \emptyset(t) * x(t)$$

işlemleri aynı sonucu vermez. Bu nedenle, eğim iki aynı VSP veri grubu median süzgeçleri ile işleme alıp karşılaştırılmak isteniyorsa, süzgeçlemedeki aynı doğrusal işlevler her iki aynı olay için de aynı şekilde kullanılmalıdır. Aksi takdirde doğrusal olmayan süzgeç etkileri ortaya çıkar ve sonuçta yanlış yorumlara gidilebilir.

Median süzgeçlerinin özellikle VSP verilerinde kullanılmasının iki önemli nedeni vardır. Birincisi median süzgeçlerinin istenmeyen gürültülerini sönmelenmesi ve ikincisi bunların dışındaki basamak fonksiyonlarını değiştirmeden geçirmesidir. Birinci tanımlama Şekil 1'de verilmiştir. Normal veri içinden seçilen bir veri penceresindeki değerler a_1, a_2, B, a_3, a_4 şeklinde olsun. Bunlar küçükten büyüğe doğru sıralandığında yeniden oluşan veri grubu a_3, a_4, a_2, a_1, B şeklinde dönüşür. Böylece yeni dizideki median, a_2 değerini alır ve B büyülüdüründeki gürültü ortadan kalkar. İkinci tanımlama, median süzgeçlerinin önemli bir özelliğini göstermektedir. Çünkü VSP

verisinde gözlenen dalga modlarındaki ani süreksızlıklar, örneğin; bir ara yüzeye oluşan tekrarlı yansıtma olayları (1. özellik) ve faylanma olayları (2. özellik) belli bir derinlikte başlayan ve biten bir olay şeklindeki bir basamak fonksiyonu gibi görüntülenebilmektedir. VSP uygulamalarında ve veri işlemede söz konusu basamak fonksiyonlarının zaman – uzaklık konumlarının değiştirilmeden elde edilmesi çok önemlidir. Bir basamak fonksiyonun median süzgeçlemesi Şekil 2'de verilmiştir. Bu özel basamak fonksiyonu sabit bir zamanda kaydedilmiş bir derinlik fonksiyonu şeklinde, düşey olarak örneklendirilen bir VSP olayın davranışını gibi tasarlınır. Düşey olarak aynı hızaya getirilmiş yukarı giden yansımaların yüksek genlikli bir bölümünden geçen ve sabit bir zaman hattı boyunca daha aşağı derinliklere doğru hareket eden bir median süzgeçinin süzgeçleme işlemi Şekil 3'de gösterilmektedir. Bu işlem derinlik ekseni boyunca basamak değişimini bozmamış ve basamak fonksiyonundaki genlik azalımını olduğu gibi geçirmiştir. Böylece median süzgeci veri vektöründe varolması istenen yuvarlatma özelliğine sahip olduğu gibi, yine aynı vektör üzerindeki bütün basamak fonksiyonlarını koruma özelliğine de sahiptir.

“Yuvarlatma” terimi, median süzgeçinin süzgeçleme işlemini açıklamak amacı ile kullanıldığından bazı önlemlerin alınması gereklidir. Aksi takdirde, median süzgeçinin çıktısında gelişigüzel bölgelerde küçük genlikli iğneçikler olur. Bu iğneçikler genellikle “whisker” adı verilir. Bunlar küçük genlikli olmalarına rağmen süzgeçin çıktısında düzgün olmayan bir gürültü oluştururlar. Bundan dolayı median süzgeci uygulamış veriye “whisker”ları ortadan kaldırmak amacıyla band geçişli süzgeçlerin uygulanması gereklidir.

Median süzgeçlerinin başka bir özelliğide üçgen ve dikdörtgen şeklindeki fonksiyonları VSP veri-işlem sonucunda yuvarlatmasıdır. Değişik uzunluklardaki median süzgeçinin bir üçgen dalgacık üzerindeki etkisi Çizelge 1 ve Şekil 4'te gösterilmektedir. Burada 5 noktalı olarak verilen median süzgeç şeklindeki üçgen dalgacığın sadece üst noktasını yuvarlatır. Fakat şekilde de görüldüğü gibi süzgeç boyunun artması ile yuvarlatma miktarı da artar. Onbes ya da daha fazla noktalı bir median süzgeci bu üçgen dalgacığı birim genlikli düz bir ize dönüştür.

Dikdörtgen şeklindeki bir fonksiyon üzerinde çeşitli uzunluklardaki median süzgeçinin davranışını da Çizelge 2 ve Şekil 5'de gösterilmektedir. Median süzgeç boyu yeterince uzun seçildiğinde dikdörtgen dalgacığın tümüyle ortadan kalktığı gözlenmektedir. Bu nedenle, N noktalı bir dikdörtgen dalgacığın süzülebilmesi için uzunluğu $(2N + 1)$ veya daha fazla olan bir median süzgeci gereklidir.

MEDİAN SÜZGECİNİN ÖZELLİKLERİ

Bilindiği gibi median, küçükten büyüğe doğru sıralanmış sayı dizisinin ortasındaki değerdir. Örneğin;

$$(5, 1000, 6, +1, -1, 7, 9)$$

dizisi düzenlendiğinde,

$$(-1, +1, 5, 6, 7, 9, 1000)$$

median 6 olarak bulunur. Burada median tek sayılı dizinin gerçek değeridir, yani 6 dir. Ayrıca dizide bulunan sayılar arasındaki büyük sapmalar örneğin 1000 değeri median seçimine çok az etki eder. Eğer bu değer diziden çıkarılırsa median önesiz derecede değişime uğrar. Bu özellikler uygulamalarda isteğe bağlı olarak değiştirilebilir (Stewart 1985). Median değerinin başka bir özelliğide dizinin diğer noktalarından minimum uzaklığı bulunmasıdır (Clearbout ve Muir 1973, Clearbout 1976). Böylece median değeri, dizinin ilk noktaları ile kendisi arasındaki farkların toplamlarının mutlak değeri şeklinde en azı indirilebilir, (I_1 normu, Stewart 1985). Bu olay matematiksel olarak aşağıdaki şekilde tanımlanır. Bir x dizisi verildiğinde, aşağıdaki koşulları sağlayan bir \hat{x} değeri olsun.

$$J = \sum_i^N |(\hat{x} - x_i)| = \sum_i^N (\hat{x} - x_i) \operatorname{Sgn}(\hat{x} - x_i)$$

$$\frac{dJ}{\hat{x}} = \sum_i^N \operatorname{Sgn}(\hat{x} - x_i)$$

$$\frac{dJ}{\hat{x}} = 0 \Rightarrow \sum_i^N \operatorname{Sgn}(\hat{x} - x_i) = 0$$

Fakat bu işlem $(\hat{x} - x_i)$ farkının eşit sayıda artı ve eksi işaretine sahip olması, ya da x değerinin her iki yanındaki nokta sayısının eşit olması durumunda gerçekleştirilir. Bu şekilde tanımlanan x değeri mediantır.

Median seçimi ölçekte medante de sabittir. Dizideki bütün değerler kuvvetlendirilerek ölçülenmiş ise ölçekte medante önce ya da sonra median değeri konumunu değiştirmeden aynı yerini koruyacaktır. Örneğin; pozitif bir sayı dizisindeki x_m mediansa ise dizinin değerlerinin kareleri alındığında yeni median x_m olacak ancak konumunu ve yerini değiştirmeyecektir. Ancak median süzgeci aşağıdaki doğrusallık tanımlamasına uymayan yani doğrusal olmayan bir işlemdir. Doğrusallık tanımlaması

$$F[a\vec{x} + \vec{b}] = aF(\vec{x}) + F(\vec{b})$$

şeklinde verilir. Örneğin;

$$\vec{x} = (1, 2, 3), \quad \vec{b} = (2, 3, 4), \quad a = 2$$

alındığında, M median süzgeci göstermek üzere;

$$M = \vec{x} = 2$$

$$M = \vec{b} = 3$$

$$aM[\vec{x}] + M[\vec{b}] = 3$$

$$aM[\vec{x}] + M[\vec{b}] = 7$$

$$a\vec{x} + \vec{b} = (2, 4, 6) + (2, 4, 3) = (4, 8, 9)$$

$$M[\vec{ax}] + M[\vec{b}] = 8$$

$$8 \neq 7$$

sonucu doğrusallık tanımlamasına uymadığı gözlenir.

Bir çok süzgeç belli bir sayı dizisi boyunca hareket eder. Sismik veri işlemede bu sayılar sismogramı oluşturmaktadır. Hareketli bir median süzgeci verilen bir iz boyunca ya da sismik izler boyunca uygulanabilir. Uygulamada değerler bir veri penceresi şeklinde kullanılır. Pencerenin orta noktası median olarak seçilir. Daha sonra veri boyunca pencerenin birer değer kaydırılması ile median değeri seçilir. Bu işlem her iz için veri boyunca tekrarlanarak süzgeç kullanımını gerçekleştirilir.

Kuram, şematik olarak 5 noktalı bir median süzgeci kullanılarak Şekil 6'da verilmiştir. Görüldüğü gibi olay bir kaç örnek sonucunda ortaya çıkmaktadır. Median süzgeci, iğneçik şeklindeki sinyali ortadan kaldırılmış, dikdörtgen fonksiyonu ise olduğu gibi geçirmiştir. Dalgacının kenar ya da basamak kısımları yuvarlatılmamış, sıfır örneklemeden birim örneklemeye sırayla tümüyle korunmuştur. Bu özellik VSP veri işlemede çok kullanışlıdır. Ayrıca median süzgeci zaman ortamındaki bir izin süzgeçlenmesinde kullandığı gibi frekans içeriği bir veri üzerinde de aynı şekilde kullanılır.

Genellikle $N/2$ boyundan daha az uzunluğu olan her izdeki iğneçik şekilli gürültüler bu sistem ile ortadan kaldırılır. Bu özelliğinden dolayı median süzgeci bazı yönleri ile yüksek geçişli bir süzgece benzemektedir. DT örneklemeye aralığı ile örneklenmiş M nokta sayısına sahip dikdörtgen şeklindeki bir dalgacının frekans içeriği $1/M \cdot DT$ 'den oldukça azdır. Eğer N

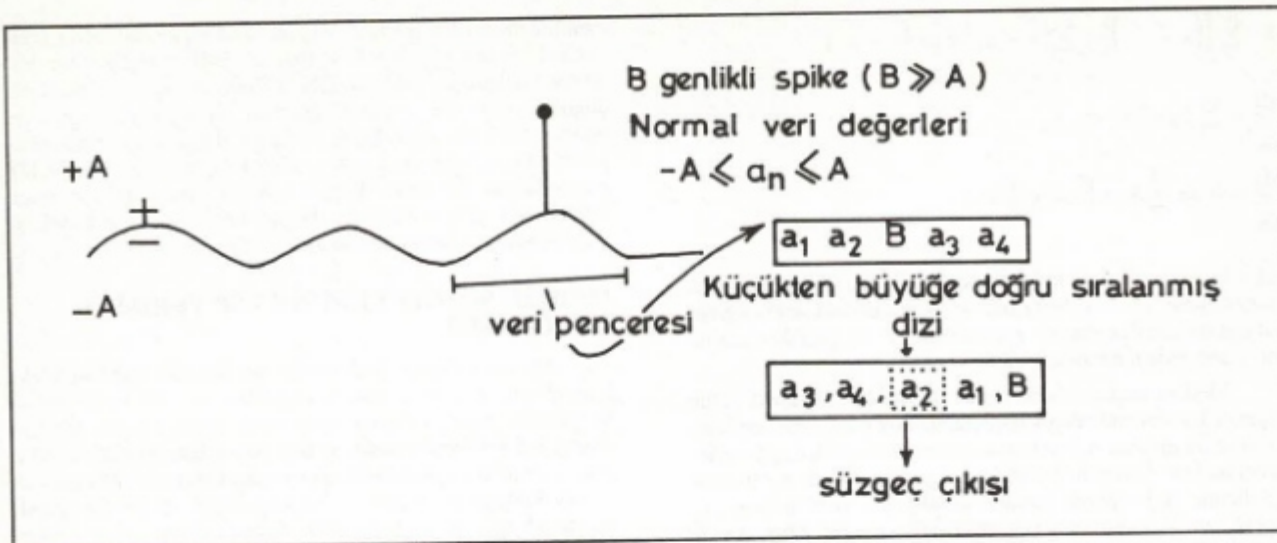
uzunluğundaki bir median süzgeci dikdörtgen dalgacıının ortadan kaldırımıosa $M < N/2$ dir. Böylece belli uzunlukta bir dikdörtgen dalgacıının, yaklaşık $2/N \cdot DT$ 'nin üzerinde bir gürçük olduğunu, dalgacık N uzunluğundaki bir median süzgeci ile ortadan kaldırılacaktır. Daha karmaşık dalga şekillerinde süzgecin ortadan kaldırma karakteristiği değişiktir. Örneğin N. DT periyodunda bir sinüs dalgası $1/N \cdot DT$ civarında maximum frekanstdır. Böyle bir sinüs dalgası ise N uzunluğundaki bir median süzgeci ile ortadan kaldırılabilir.

MEDİAN SÜZGEÇLERİNİN VSP VERİSİNE UYGULANIŞI

Median süzgeçlerinin verilen bir dizideki doğrusal olayları artırtan, iğneçik şeklindeki sinyalleri ise ortadan kaldırma ya yönelik olarak çalıştığı daha önce açıklanmıştır. Median süzgeçleri VSP verisindeki istenmeyen dalga modlarının ortadan kaldırılması uygulamalarında bu özelliği nedeniyle başarılı olarak kullanılabilmektedir. Bu uygulama şu şekilde yapılmaktadır; VSP kesitleri üzerinde aşağıya giden dalga modları dikkatli bir şekilde elde edilebilirse, toplam VSP verisinden çıkartılarak yukarı giden dalga modları elde edilebilir. Çıkarılma işleminin tekniği Şekil 7'de görüldüğü gibi dört basamakta görüntülenebilir. (A)'daki veri grubunda aşağı ve yukarı giden dalga modları gerçek bir VSP kaydı gibi verilmiştir. İşlemenin birinci basamağı verinin negatif zaman kaydırması, yani aşağıya giden tüm dalga modlarının düşey olarak aynı hızaya getirilmesidir. Bu işlem, (B) veri grubunda gösterildiği gibidir ve ilk varış zamanına eşit miktarda bir zaman ile her izin sola kaydırılması sonucu oluşturulur. Bu zaman kaydırma işleminin ölçülmüş bir veri üzerindeki örneği Şekil 8'de verilmiştir.

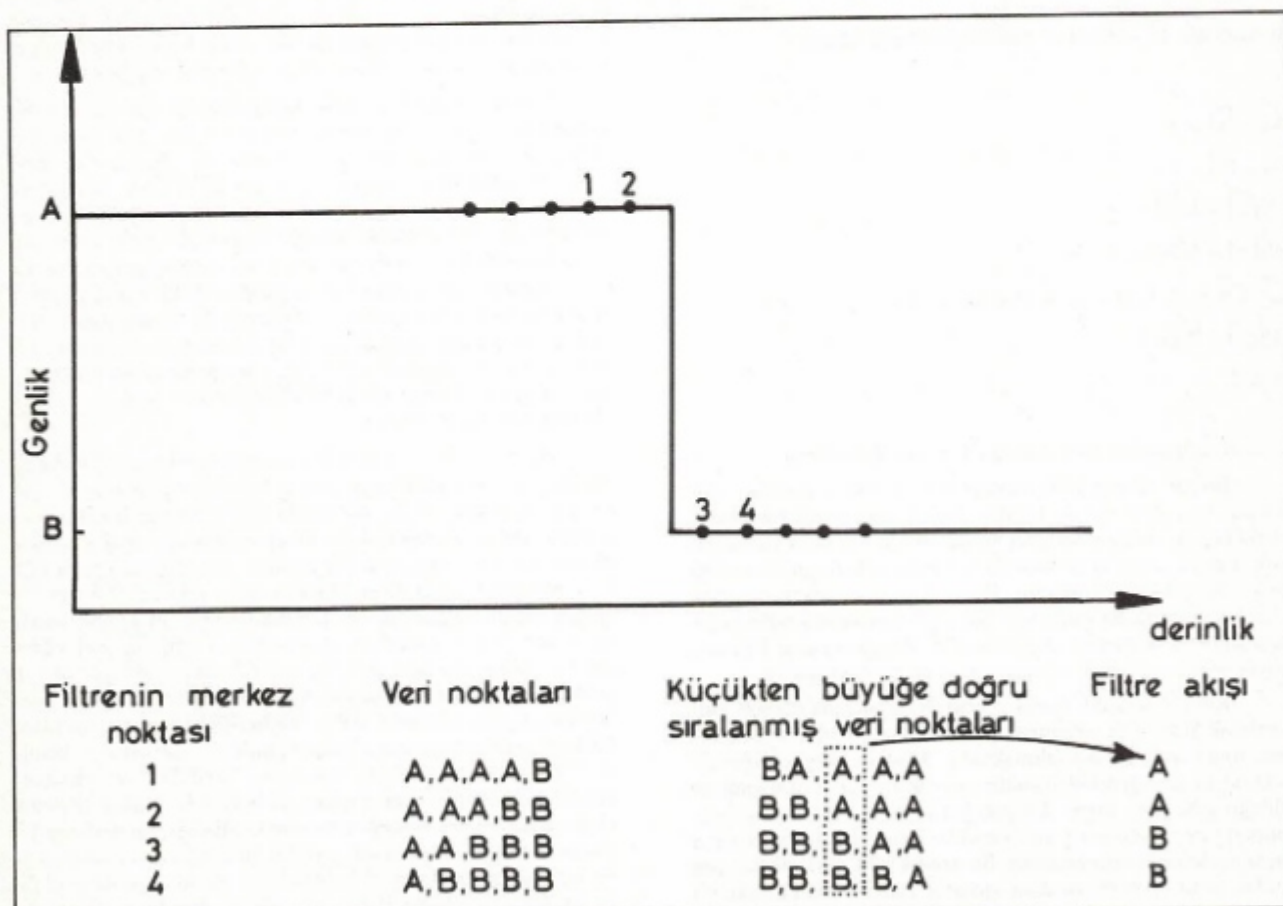
Median süzgeci, derinlik doğrultusunda uzanan her sabit zaman hattı boyunca bu verilere uygulanır. Bu süzgeçleme basamağı (C) veri grubunda gösterilmektedir. Burada, birincisi: yukarı giden tüm dalgaların şiddetli bir şekilde sökülmemesi; ikincisi, aşağıya giden tüm dalgaların genliğinin artması şeklinde iki olay gözlenmektedir. Sismik dalgacık izden ize dalga formunu koruyor ise yukarıdaki bu iki olay gerçekleşecektir ve süzgeçleme işlemi amacına ulaşacaktır. Şekil 7'deki (B) veri grubunun baştan başta sabit bir dalgacık ile oluştuğunu varsayırsak; bir median süzgeci, sabit bir zaman hattı boyunca uzanan verileri yuvarlatarak, (C)'de koyu hatlar ile gösterildiği gibi aşağıya giden olayları kuvvetlendirirken, tüm yukarıya giden olayları sökümlendirecektir.

Aynıen (B) veri grubunda da aşağıya giden olaylar düşey olarak Şekil 9'da görüldüğü gibi aynı hızaya getirilmiş ve yukarıya giden olaylar da sağ tarafa doğru zaman basamlıkları şeklinde düzenlenmiştir. Aynı hızaya getirilmiş aşağıya giden olaylar üzerine uygulanan bir median süzgeçleme işlemi (T1 hattı boyunca), aşağıya giden olayları dalga şekilleri sabit ve T1 zaman hattının dalgacının eşit faz durumlarından geçene kadar yuvarlatır ve kuvvetlendirir. Dalgacıkların sabit bir şekli olduğunda, dalgacıklardaki eşit faz noktalarının yaklaşık olarak aynı genlikte olacağı varsayılar. Median süzgeci T2 zaman hattı boyunca uygulandığında, dalga modu düşey olarak aynı hızda faz şeklini oluşturana kadar eğimli olayları ortadan kaldırır. T2 zaman hattındaki bu varsayımdır. Şekil 1'de bir iğneçikteki median süzgeçleme işlemi ile benzerdir. Yukarıya giden olay, zaman olarak basamak basamak yükselir, bu nedenle T2 zaman hattı boyunca yüksek genlikli bir dalgacının aynı hızda bir faz düzeltmesi 4 veya 5 izden oluşur ise, median süzgeçinin girdisi bu durumda Şekil 4'de gösterildiği gibi bir üçgen fonksiyon şeklinde görülür. Eğer süzgeç bu anomaliyi ortadan kaldırırsa, üçgen genlikli anomalinin genişliği arttıkça, median süzgeç boyunun uzunluğunun da artması gereklidir. Median süzgeci Şekil 7'deki (B) veri grubunu (C) veri grubuna çevirirken, yukarıya giden dalga alanlarını tümüyle ortadan kaldırmak için 19 veya daha fazla noktalı süzgeç uzunluğuna gereklidir. Median süzgeçinin bu uygulaması aşağıya giden dalga alanlarının ekle edilmesinde önemli bir adımdır. Çünkü süzgeçlenmiş



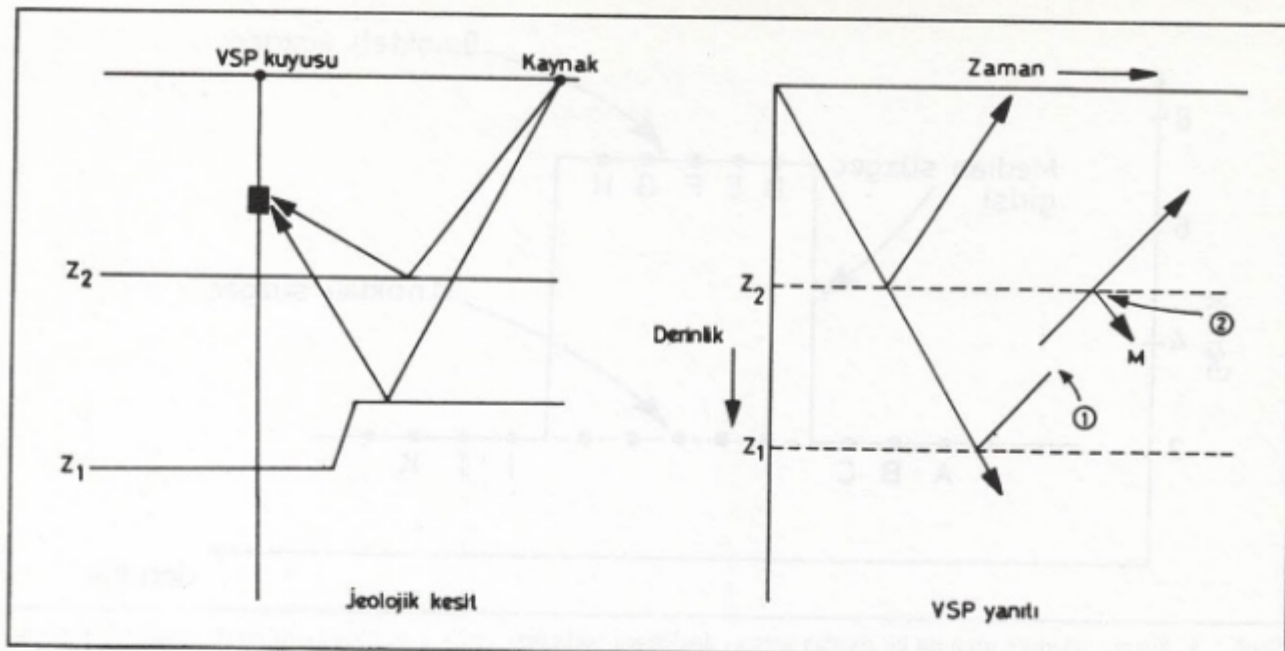
Şekil 1. Median süzgeçlerinin bir özelliği gürültü sinyallerini ortadan kaldırmasıdır. Büyüktenten küçüğe doğru sıralanarak düzeltilmiş genlik değerlerindeki B spike değeri, bu yeniden düzenlenmiş veri vektörünün en sonunda yer alır. Böylece median hiçbir zaman iğneçik değerini almaz.

Fig. 1. One attraction of a median filter is that it absolutely rejects noise spikes. Arranging data values so that they sequentially increase in magnitude will always place the spike value at one end of the rearranged data vector. Thus the median can never be the spike value.



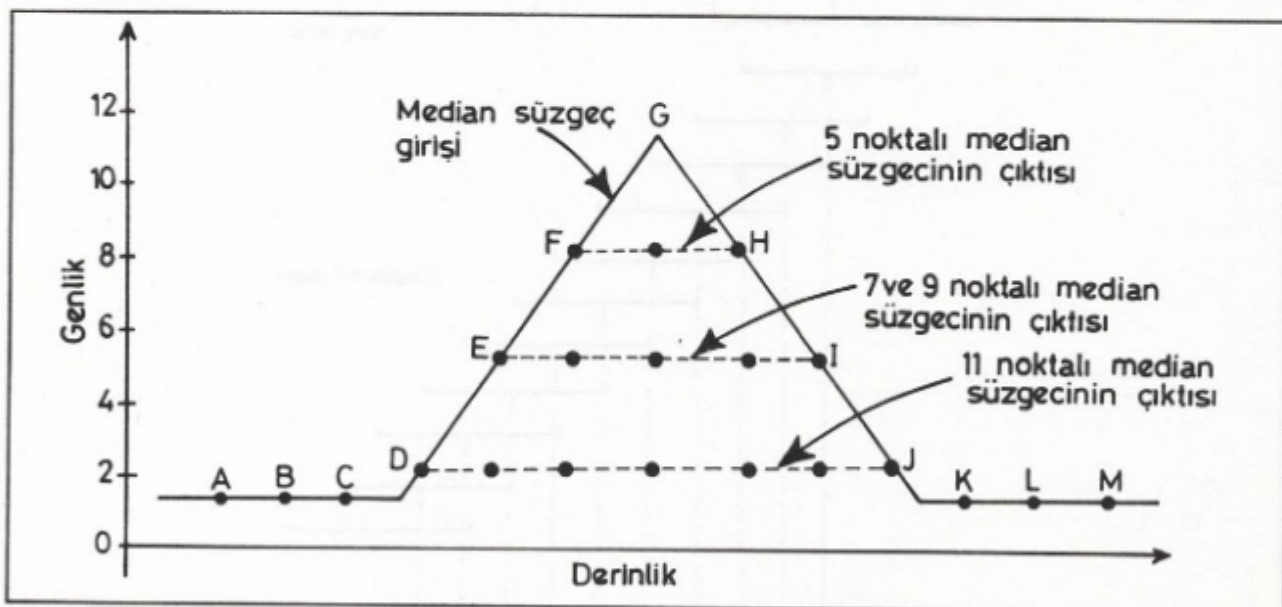
Şekil 2. Median süzgeci basamak fonksiyonlarında etkili değildir. Bu örnek bir basamak fonksiyonundaki 5 noktalı median süzgeç işlemini gösterir. Sonuçta süzülmüş çıktı yine bir basamak fonksiyonudur.

Fig. 2. A median filter does not smear step functions. The example shows a five point median filter operating on a step function. The filtered output is again a step function.



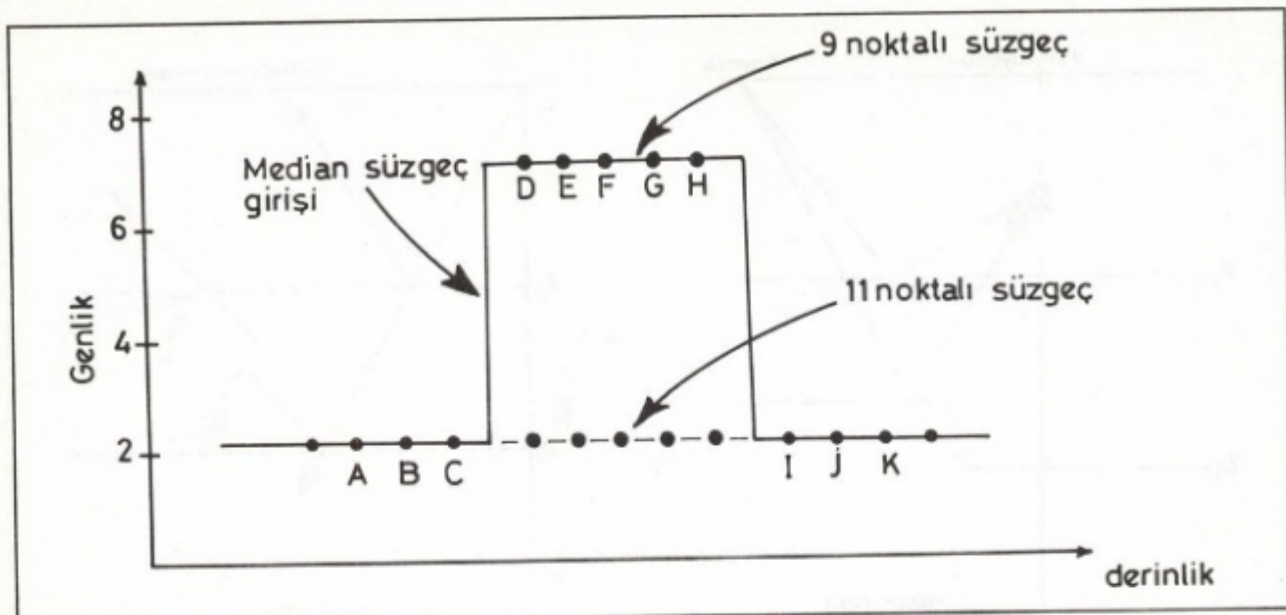
Şekil 3. 3. VSP verisi içerisindeki basamak fonksiyonlarının derinlik ve zaman konumlarının korunması önemlidir. Buradaki VSP yanıtında gözlenen dalga alanları, zaman uzaklığı ortamındaki önemli başlangıç ve bitiş noktalarını gösterir. 1 ile gösterilen basamak fonksiyonu yukarı giden yansımada bir fayı ifade eder, Z_1 ile gösterilen basamak fonksiyonu, aşağıya giden tekrarlı bir yansımadır, Z_2 .

Fig. 3. It is important to preserve the time and depth locations of the “step function” contained in VSP data. The VSP response shown here indicates several wave modes which originate and terminate at discrete points in time and space. Space function 1 marks the fault in the upgoing reflection, Z_1 . Step function 2 defines the creation of a downgoing multiple at depth, Z_2 .



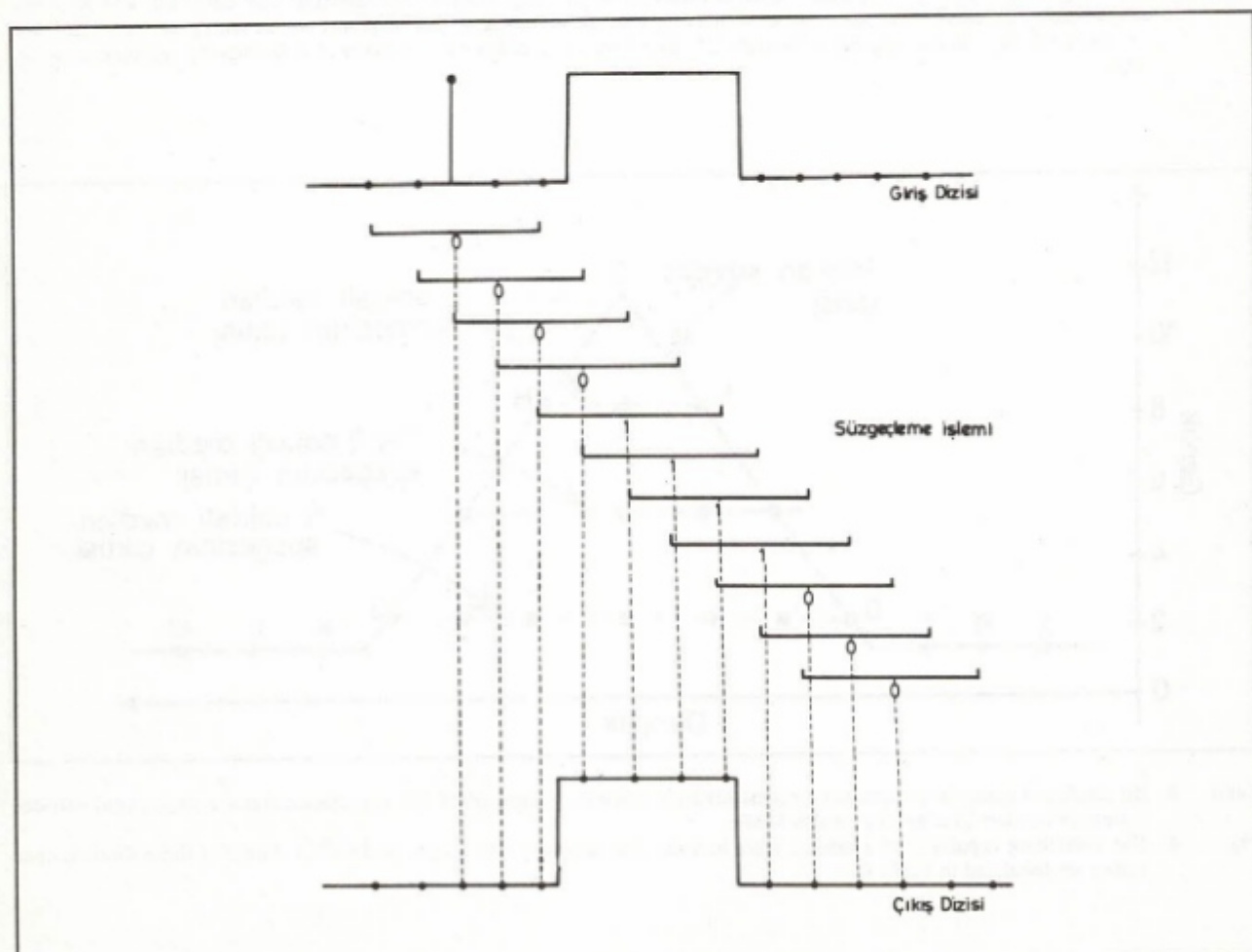
Şekil 4. 4. Bir median süzgeçinin yuvarlatma derecesi süzgeçin boyu ile kontrol edilir. Bu süzgeçleme sonucu oluşan yeni veri değerlerinin bazıları Çizelge 1'de verilmektedir.

Fig. 4. The smoothing capability of a median filter is controlled largely by the length of the filter. Some of these filters output values are tabulated in Table 1.



Şekil 5. Süzgeç yeterince uzun ise bir median süzgeci dikdörtgen şeklärindeki genlik anomalisini tamamı ile ortadan kaldırabilir. Eğer veri N veri noktasından oluşuyor ise, yüksek genlik anomalisini tamamıyla ortadan kaldırmak için median süzgeci en azından $(2N + 1)$ veri noktası kapsamalıdır. Çizelge 2'de 9 ve 11 noktalı süzgeçlerin çıktıları verilmektedir.

Fig. 5. A median filter can completely reject boxcar shaped amplitude anomaly if the filter is sufficiently long. If N data points occur within the box, the median filter must span at least $(2N + 1)$ data points in order to completely reject the high amplitude anomaly. The filter outputs of these 9 and 11 points filters are tabulated in Table 2.



Şekil 6. 5 Noktalı median süzgeç işlecinin bir giriş verisine uygulanışının şematik gösterimi.

Fig. 6. Schematic diagram of the median filtering operation. A 5-point filter is used on the input sequence. Note the despiking and step passing effects.

Çizelge 1. İki median süzgeç çıktılarının sınıflara ayırmayı gösterilmiştir.
Table 1. Tabulation of the two median filter outputs illustrated in figure 4.

Süzgeç Merkezi	5 Noktalı Median Süzgeci					7 Noktalı Median Süzgeci						
	Artan Sıradaki Veri Örneklemeleri					Süzgeç Çıkışı	Artan Sıradaki Veri Örneklemeleri					Süzgeç Çıkışı
A	1	1	1	1	1	1	1	1	1	1	1	1
B	1	1	1	1	2	1	1	1	1	1	2	1
C	1	1	1	2	5	1	1	1	1	2	5	1
D	1	1	2	5	8	2	1	1	1	2	5	2
E	1	2	5	8	11	5	1	1	2	5	8	5
F	2	5	8	8	11	8	1	2	5	5	8	5
G	5	5	8	8	11	8	2	2	5	5	8	5
H	2	5	8	8	11	8	1	2	5	5	8	5
I	1	2	5	8	11	5	1	1	2	5	8	5
J	1	1	2	5	8	2	1	1	1	2	5	2
K	1	1	1	2	5	1	1	1	1	1	2	1
L	1	1	1	1	2	1	1	1	1	1	2	1
M	1	1	1	1	1	1	1	1	1	1	1	1

Çizelge 2. Median süzgeç çıktılarının sınıflara ayırmayı gösterilmiştir.
Table 2. Tabulation of the median filter outputs illustrated in figure 5.

Süzgeç Merkezi	9 Noktalı Median Süzgeci							11 Noktalı Median Süzgeci												
	Artan Sıradaki Veri Örneklemeleri							Süzgeç Çıkışı	Artan Sıradaki Veri Örneklemeleri											
A	2	2	2	2	2	2	2	7	7	2	2	2	2	2	2	7	7	7	2	
B	2	2	2	2	2	2	7	7	7	2	2	2	2	2	2	2	7	7	7	2
C	2	2	2	2	2	7	7	7	7	2	2	2	2	2	2	7	7	7	7	2
D	2	2	2	2	7	7	7	7	7	7	2	2	2	2	2	2	7	7	7	2
E	2	2	2	2	7	7	7	7	7	7	2	2	2	2	2	2	7	7	7	2
F	2	2	2	2	7	7	7	7	7	7	2	2	2	2	2	2	7	7	7	2
G	2	2	2	2	7	7	7	7	7	7	2	2	2	2	2	2	7	7	7	2
H	2	2	2	2	7	7	7	7	7	7	2	2	2	2	2	2	7	7	7	2
I	2	2	2	2	2	7	7	7	7	7	2	2	2	2	2	2	7	7	7	2
J	2	2	2	2	2	2	7	7	7	7	2	2	2	2	2	2	7	7	7	2
K	2	2	2	2	2	2	2	7	7	7	2	2	2	2	2	2	2	7	7	2

sonucun (Şekil 7, (C) veri grubu) orjinal veriden iz iz çıkartılmış olan aşağıya giden dalga alanları olduğu varsayılar. Bu çıkartma işlemi (A)'dan (B)'ye veri değişiminde kullanılan miktarın tersi ile (C) veri grubunda ilk varış zamanlarının kaydınıması sonucu başarılmıştır. (E) veri grubunu oluşturmak için; yeni ters zaman kaydılması ile oluşturulan yeni veri grubu (D), (A) orjinal verisinden iz iz çıkarılır. Bu çıkartma işlemi (A)'daki aşağıya giden dalga modlarını kuvvetle sökümlendirir, fakat yukarıya giden dalga modlarını etkilemez. Aşağıya giden dalga alanlarını ortadan kaldırarak ve yukarıya giden dalga alanlarını koruyabilmek için bir diğer seçenek Mons (1980) tarafından tanımlanmıştır.

Yukarıda anlatılan çıkartma işlemi sırasında, ilk varış zamanlarının son derece dikkatli bir biçimde ve mümkün ise 0.5 m/msec duyarlılıkla saptanması, üzerinde durulması gereklidir. Aksi takdirde, Şekil 7'deki (B) veri grubunda oluşan statik zaman kaymaları tam olarak düzenlenemeyecek ve aşağı giden olaylar uygun bir faz ile düşey olarak aynı hızaya gelmeyecektir. Aynı hızaya gelmemiş bir veri median süzgeçlemesi sonucuda aşırı derecede gürültü içerecektir. Aynı şekilde (A) ve (D) dalga alanları birbirinden çıkartıldığında, bunların birbirlerile ilgili kayıt zamanlarının uyum içinde olması gerekdir. Kayıt zamanları uyum içinde değil ise (A) ve (D) dalga alanlarının

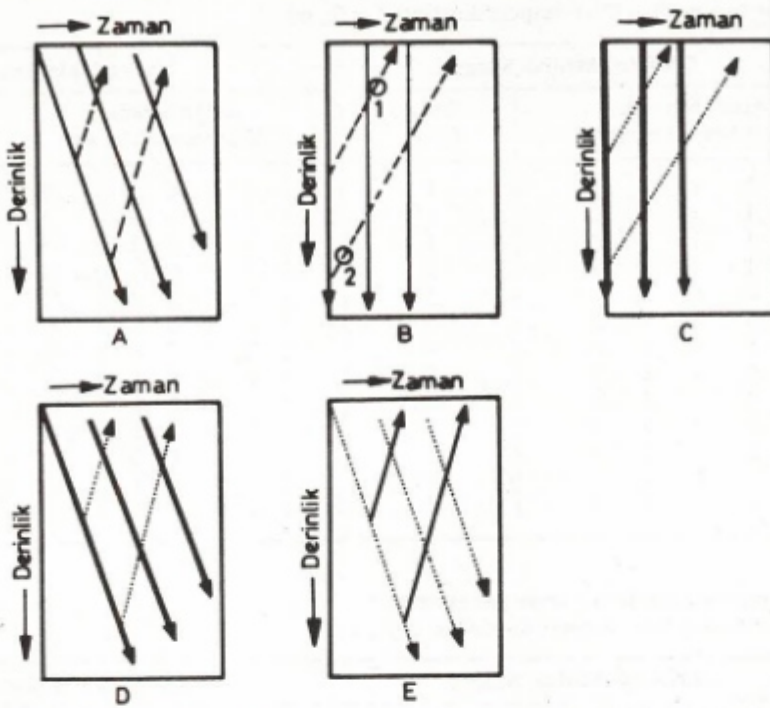
çıkartılması sonucunda oluşacak (E) veri grubunda gürültü baskın olacaktır.

UYGULAMALAR VE SONUÇLAR

Bilindiği gibi VSP verileri bir ortam içinde ilerleyen hem aşağıya hem yukarıya giden dalga alanlarını içermektedir. VSP verilerinin sağlıklı bir şekilde yorumlanabilmesi için önce veri işlem sırasında bu iki dalga alanının birbirinden ayrılması gereklidir. Ancak, aşağıya giden dalga alanları, yukarıya giden dalga alanlarından daha güçlü olduğundan, yukarıya giden dalgalar, aşağıya giden dalga alanlarında örtülmekte ve gözlenmemektedir. Bu nedenle, ayırma işlemi VSP veri işlemin en önemli bölümünü oluşturmaktadır. Bu işlem genellikle ($f-k$) hız süzgeçleri ile yapılmaktadır. Ancak son yıllarda oldukça yaygın bir şekilde kullanılmaya başlayan median süzgeçlerinin VSP verileri üzerinde daha etkili ve daha sağıklı sonuçlar verdiği görülmektedir.

Çalışmanın bu bölümünde üretilen yapay VSP verileri üzerinde farklı uzunluklarda median süzgeçleri uygulanmış ve süzgeçin veri üzerindeki etkisi incelenmiştir.

Şekil 10'da 4 yatay tabakadan oluşan bir modelden üretilmiş yapay Düşey Sismik Profilleme (VSPs) verisi görülmektedir. Buradaki VSPs verisi hiç bir gürültüyü içermemek-



Şekil 7. Median süzgeçlemesi ve yukarıya giden dalga alanlarının ortadan kaldırılması, matematiksel çıkartma işlemi. Açıklama için metne bakınız.

Fig. 7. The removal of downgoing wave modes by median filtering and arithmetic subtraction.

tedir (tüp ve tekrarlı yansımalar gibi). Kuyu derinliği 1750 m'dir ve 35 m aralıklarla kuyuda 50 jeofon ile kayıt alınmıştır. Kaynak kuyuya çok yakın olduğundan açılım uzaklıği sıfır varsayılmıştır. Giriş sinyali olarak $f = 50$ Hz lik sıfır fazlı bir Gabor dalgacı kullanılmıştır.

VSPs verisi üzerindeki median süzgeçleme işlemi sırası ile aşağıdaki basamakları içerir;

1. İlk önce her izin ilk kırılma zamanı okunur. İlk iz sabit kalmak koşulu ile her izin ilk kırılma zamanı ile ilk izin ilk kırılma zamanı arasındaki zaman farkı kullanılarak her iz sıfır zamanına kaydırılır. Böylece tüm aşağı giden dalgalar aynı hizaya getirilir (Şekil 11).

2. Düşey olarak aynı hizaya getirilmiş verinin dönüğü bulunur (multiplex olayı). Örneğin; eğer 1000 örneklemeli 129 iz varsa, her izin ilk örneklemesi alınır ve yeni bir iz elde edilir. Daha sonra her izin ikinci örneklemesi alınır ve ikinci bir iz elde edilir. Bu işlem 129. izin 1000. örneklemesine kadar sürer. Yeni veri artık 129 örneklemeli 1000 izden oluşmaktadır.

3. Bu yeni veriye median süzgeçleme işlemi aşağıdaki şekilde uygulanır,

i) Önce,

$$M = 2(N/DX - 3/2)$$

şeklinde bir pencere tanımlanır. Burada M pencerenin uzunluğu (örneklemme nokta sayısı), DX örneklemme aralığı (uzunluk birimi), N gürültüsüz sinyalin en kısa dalga boyudur.

ii) Penceredeki örneklemmiş değerler küçükten büyüğe doğru sıralanır ve pencerenin orta noktası median değeri olarak seçilir. Daha sonra pencere bir örneklemme aralığı kaydırılır ve aynı işlem tekrarlanır.

iii) Bir önceki iz ile yeni oluşan iz karşılaştırılır. Eğer yeni iz bir önceki izden farklı ise yeni iz tekrar alınarak ii'deki işlem, bir önceki iz ile yeni iz aynı olana kadar yinelendir.

Bu çalışmada önce 9 noktalı median süzgeç işlemci Şekil 11'deki veriye uygulanmıştır. Sonuç Şekil 12'de görülmektedir.

Süzgeç doğrusal olayları artırmış, eğimli olayları ortadan kaldırılmıştır.

4. Süzgeçleme işleminden sonra elde edilen verinin tekrar dönüğü alınır (demultiplex olayı).

5. Aynı hizaya getirilmiş aşağıya giden dalga alanlarının bulunduğu veriden (Şekil 11), süzgeçlenmiş veri (Şekil 12) çıkarılır. Sonuçta sadece yukarıya giden dalga alanları elde edilir ve aşağıya giden dalga alanları çıkartma işlemi sonucunda ortadan kaldırılır (Şekil 13).

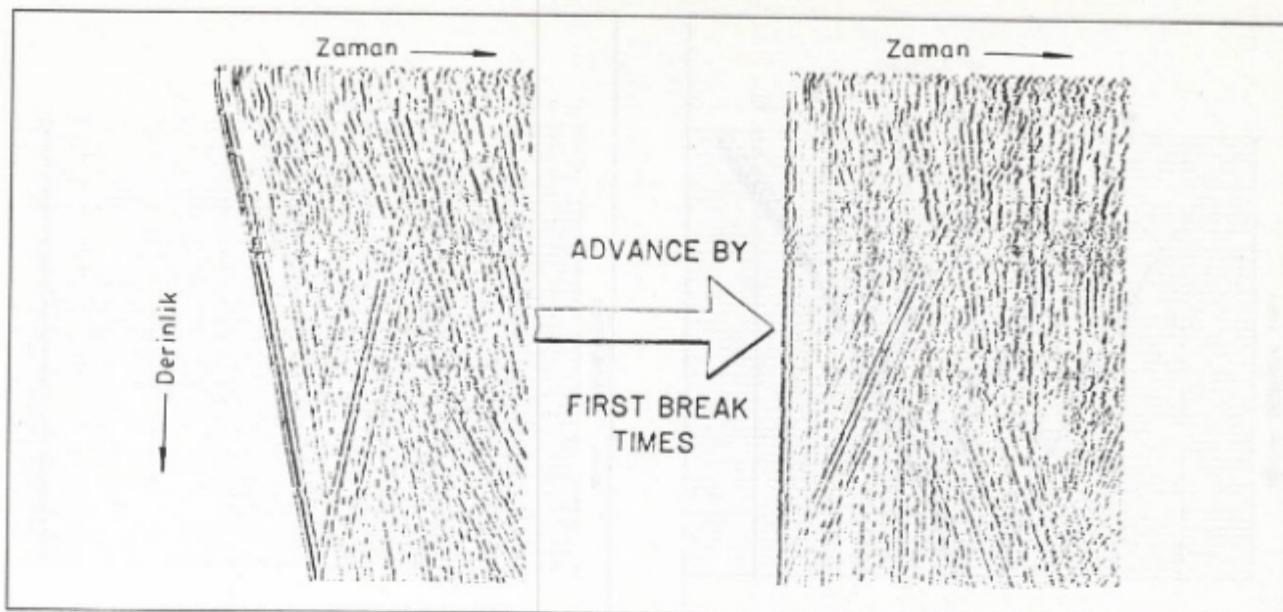
6. Daha sonra Şekil 13'deki veriden her izin gidiş-geliş yol zaman değerleri çıkarılır ve tüm yukarıya giden dalga alanları düşey olarak aynı doğrultuya getirilerek Şekil 14'deki veri elde edilir.

7. (1) ve (4) nolu işlemlerin yinelenmesi ile yukarıya giden dalga alanlarının doğrusallığını artırmak ve gürültüleri ortadan kaldırmak amacı ile, bu kez aynı doğrultuya getirilmiş veriye 5 noktalı median süzgeci uygulanmıştır. Bu işlem sonucunda, aşağıya ve yukarıya giden dalgalar birbirinden ayrılarak, yukarıya giden dalgalar yorumu hazır bir duruma getirilir (Şekil 15).

Bu kez 11 yatay tabakadan oluşan bir yapı modeli kullanılarak yapay VSPs verisi elde edilmiştir (Şekil 16). Buradaki VSPs verisi de gürültü içermemektedir. Kuyu derinliği 2500 m olmak üzere 50 m aralıklarla kuyuda 50 jeofon ile kayıt alınmıştır. Kaynak kuyuya çok yakın olduğu için açılım sıfır kabul edilmiştir. Giriş sinyali olarak yine Gabor dalgacı kullanılmıştır. VSPs verisi median süzgeçleme işlemi bir önceki VSPs verisindeki basamakları içermektedir.

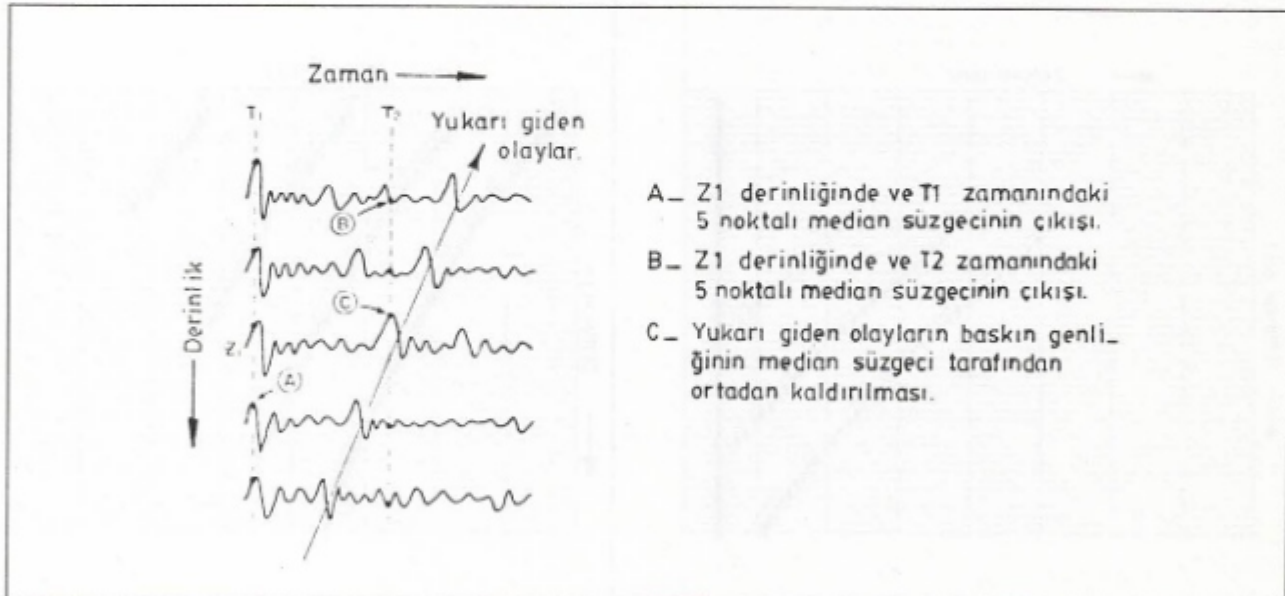
Once her izin ilk varış zamanı okunarak, her iz sıfır zamanına kaydırılır. Böylece aşağıya giden tüm dalgalar Şekil 17'deki gibi düşey olarak aynı hizaya getirilir. Düşey olarak aynı hizaya getirilmiş verinin dönüğü alınır.

(1) tanımından yararlanarak seçilen bir pencere içerisindeki örneklemmiş veriler, yine median süzgeçleme işlemi gereğince büyükçe küçüğe doğru sıralanır ve dizinin orta noktası median değeri olarak seçilir. Pencere tek değer kaydırılarak aynı işlem tekrarlanır.



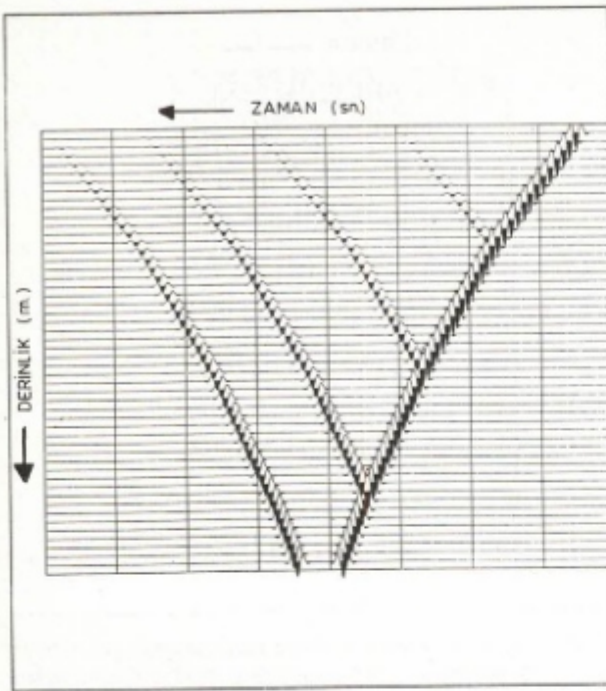
Şekil 8. Küçük bir kaynak-alıcı uzaklığı için, her VSP izine ilk varış süresine eşit bir zaman eklenirse bütün aşağıya giden dalgalarını düşey olarak aynı hızaya getirilmiş olur. İlk varışları uygun bir şekilde aynı hızaya getirmek için bu izlerin bazıları zamanca iyi ayarlanmalıdır.

Fig. 8. For small source offset distances, all downgoing VSP events can be positioned to the two-way times at which they leave the interface where they are generated, irrespective of the depth at which the events are recorded, if each VSP trace is advanced in time by an amount equal to its first break time. Some of these traces need to be better adjusted in time in order to optimally align the first breaks.



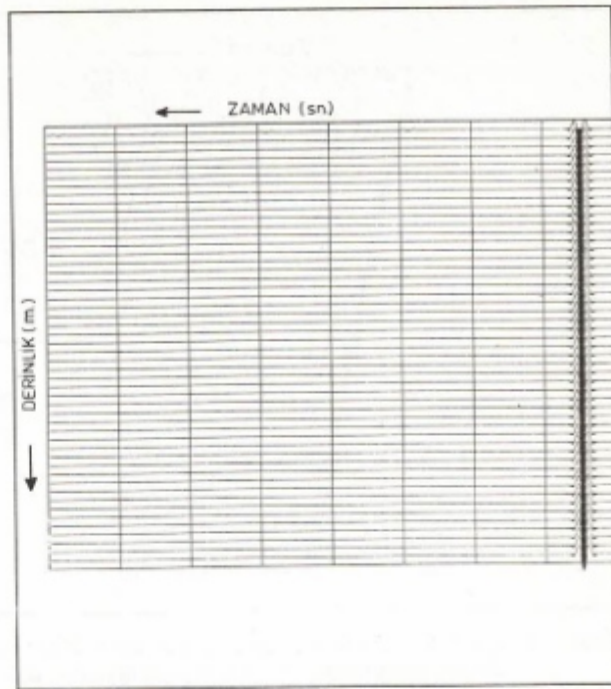
Şekil 9. Bu kuramsal VSP verisindeki aşağı giden dalgalar zaman kaydırması ile düşey olarak aynı hızaya getirilmiştir. Eğer dalgalar yaklaşık olarak aynı şekilde ve aynı fazda bir hızaya getirilmiş ise sabit zaman çizgileri boyunca işlem yapan bir median süzgeci (T_1 boyunca) her derinlikte aşağıya giden dalgaları yuvarlatır. Düşey olarak aynı hızaya getirilmemiş olayların fazları ise sökümlendirilmiştir. Buna örnek olarak T_2 zaman çizgisi boyunca işlem yapan bir median süzgeci ile yukarıya giden dalgaının üçgen şekilli genlik yanıtını söndürmek için median süzgecinin genlik uzunluğunun artırılması gereklidir. (Şekil 4'deki gibi).

Fig. 9. These hypothetical VSP data are time shifted to vertically align downgoing events. A spatial median filter operating along fixed time lines (such as along T_1), generates smoothed versions of downgoing waves lets at each depth if the wavelets are properly phase aligned and approximately the same shape. Events whose phases are not vertically aligned are attenuated. An example should be the rejection of upgoing event C by a median filter operating along time line T_2 . If the upgoing event is partially in phase over several depth traces, the length of the median filter must be increased (as demonstrated in fig. 4) in order to reject the triangular-shape amplitude response of the upgoing event which occurs along a fixed time line.



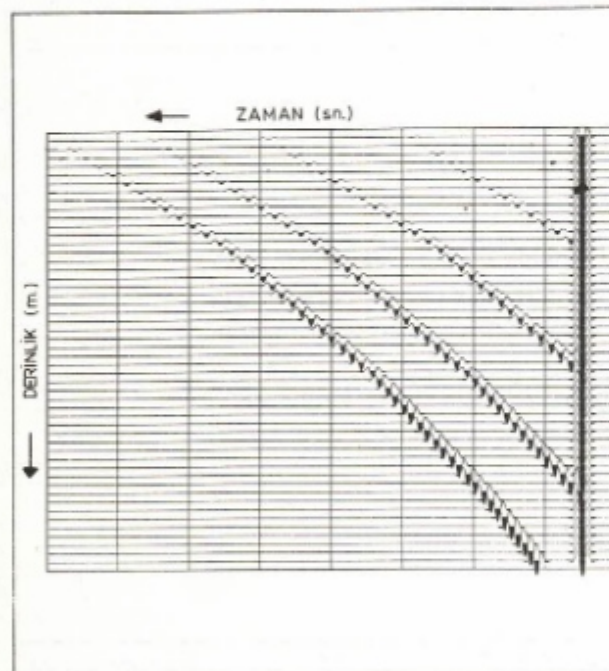
Şekil 10. Dört yatay tabakalı yer modelinden oluşan yapay VSPs kesiti.

Fig. 10. Synthetic VSP cross section produced of using the four layered earth model.



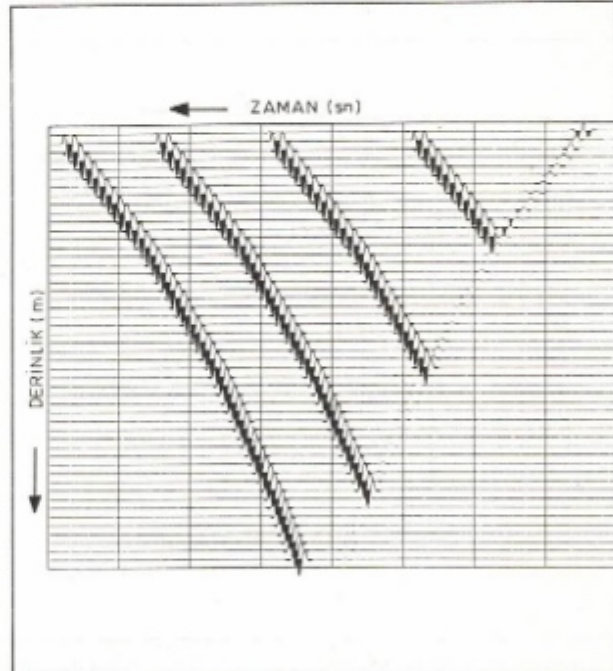
Şekil 12. Derinlik ekseni boyunca 9 noktalı median süzgeci ile doğrusal olmayan yukarıya giden olayların ortadan kaldırılması.

Fig. 12. Applying a 9-point median filter a long the depth axis. Upgoing events are removed.



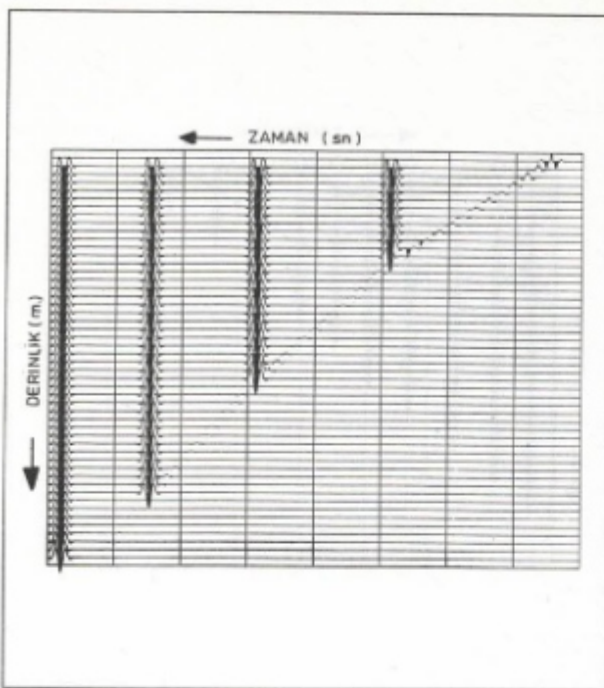
Şekil 11. Zaman kaydırması ile düşey olarak aynı hızaya getirilen aşağıya giden olaylar.

Fig. 11. VSP data time shifted to vertically align down-going events.



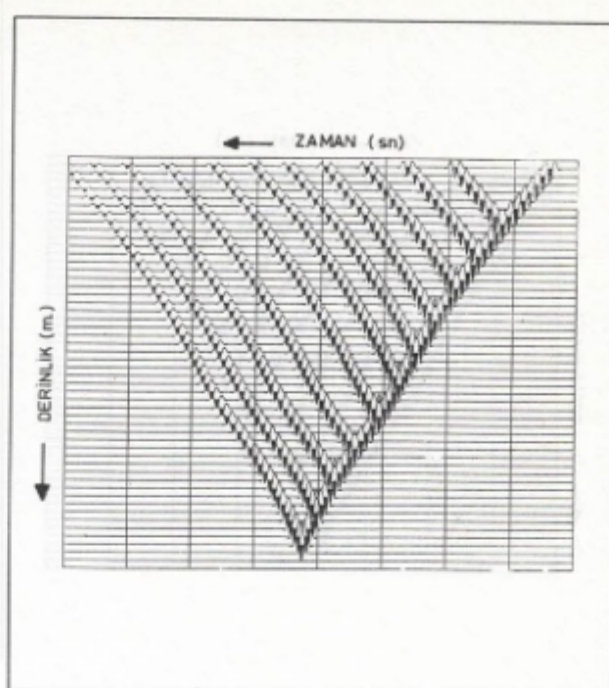
Şekil 13. Şekil 11'deki veri grubundan, Şekil 12'deki veri grubunun çıkartılması ile elde edilen sonuç.

Fig. 13. Result after subtracting data set in Fig. 11 from data set in Fig. 12.



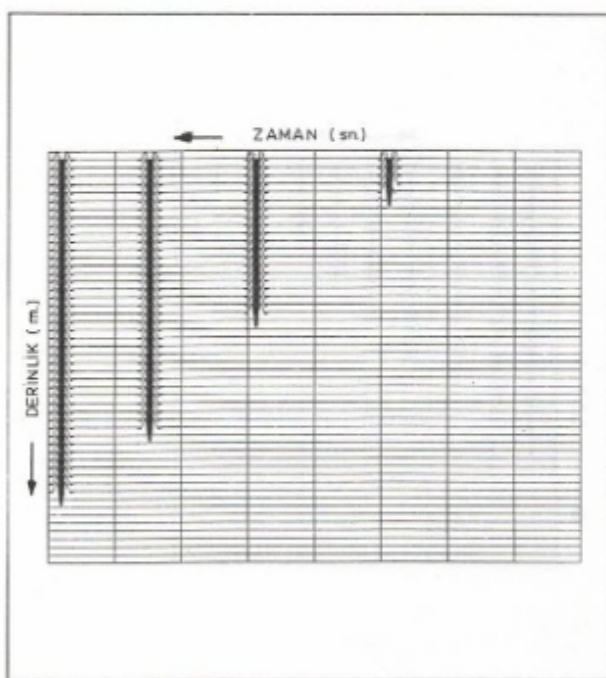
Şekil 14. Şekil 11'deki veri grubu gibi ters zaman kaydırması ile düşey olarak aynı hızaya getirilen yukarıya giden olaylar.

Fig. 14. Upgoing events shifted back to some time alignment as data set in figure 11.



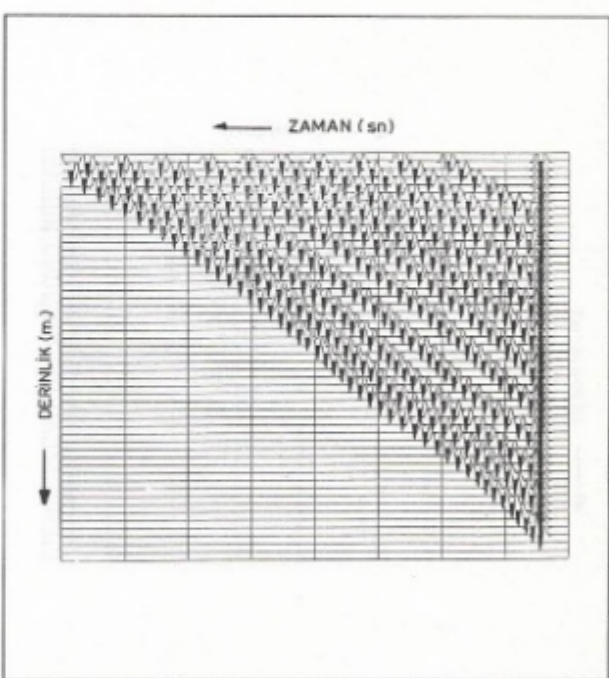
Şekil 16. Onbir yatay tabakalı yer modelinden oluşan yapay VSP kesiti.

Fig. 16. Syntetic VSP cross section produced of using the eleven layered earth model.



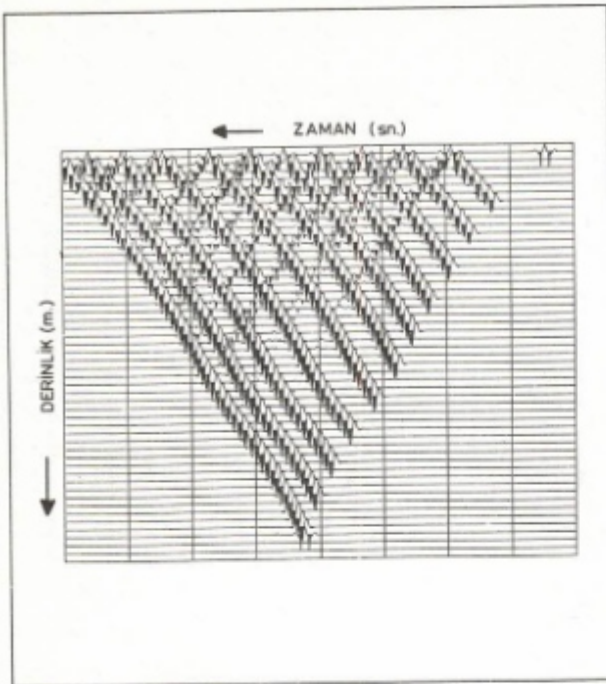
Şekil 15. Yukarıya giden olayların doğrusallığını artırmak ve gürültülerini ortadan kaldırmak için Şekil 14'deki veriye uygulanan 5 noktalı median süzgeç işleminin sonucu.

Fig. 15. In order to remove the noise spikes and increase the linearization of upgoing waves, a 5-point median filter is used on the VSP data in figure 14.



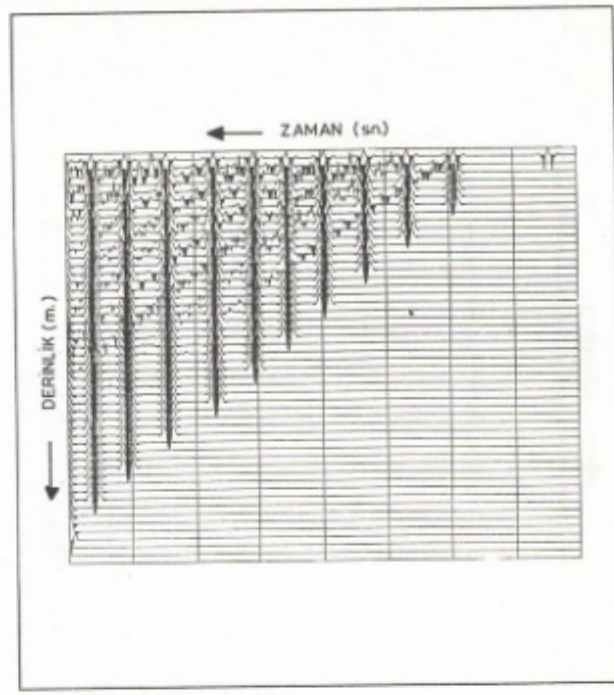
Şekil 17. Zaman kaydırması ile düşey olarak aynı hızaya getirilen aşağıya giden olaylar.

Fig. 17. VSP data time shifted to vertically align down-going events.



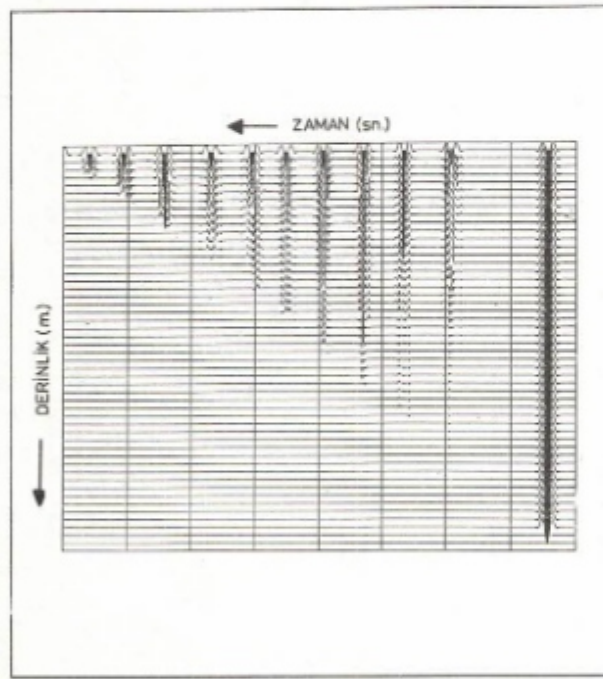
Şekil 18. Derinlik ekseni boyunca 15 noktalı median süzgeci ile yukarıya giden olayların ortadan kaldırılması.

Fig. 18. Applying a 15-points median filter a long time depth axis. Upgoing events are removed.



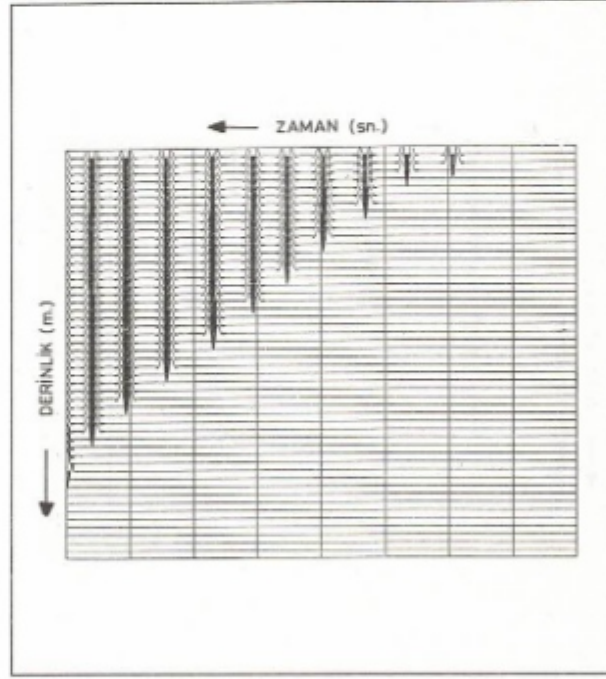
Şekil 20. Şekil 17'deki veri grubunda olduğu gibi ters zaman kaydırması ile düşey olarak aynı hızaya getirilen yukarıya giden olaylar.

Fig. 20. Upgoing events shifted back to some time alignment as data set in Fig. 17.



Şekil 19. Şekil 17'deki veri grubundan Şekil 18'deki veri grubunun çıkartılması ile elde edilen sonuç.

Fig. 19. Result after subtracting data set in Fig. 17 from data set in Fig. 18.



Şekil 21. Yukarıya giden olayların doğrusallığını artırmak ve gürültü sinyallerini ortadan kaldırmak için Şekil 20'deki veriye uygulanan 19 noktalı median süzgeç işleminin sonucu.

Fig. 21. In order to remove the noise spikes and increase the lineareation of upgoing waves, a 19 point median filter is used on the VSP data in figure 20.

Bu örnek için 15 noktalı median süzgeç işlevi Şekil 17'deki VSPs verisine uygulanmıştır. Şekil 18'de görüldüğü gibi süzgeç doğrusal olayları arttırmış eğimli, yani doğrusal olmayan olayları ortadan kaldırılmıştır. Düşey olarak aynı doğrultuda bulunan aşağıya giden dalga alanlarının bulunduğu veriden (Şekil 17), süzgeçlenmiş veri (Şekil 18) çıkartılır. Şekil 19'da görüldüğü gibi sonuçta sadece yukarıya giden dalga alanları ortadan kaldırılır.

Daha sonra Şekil 19'daki veriden her izin ilk yol zaman değerlerinin çıkartılması ile tüm yukarıya giden dalga alanları düşey olarak aynı doğrultuya getirilmiş ve Şekil 20'deki veri elde edilmiştir. Şekil 20'deki veride gürültüler ortadan kaldırmak için veriye bir kez daha 15 noktalı median süzgeci uygulanmış aşağıya ve yukarıya giden dalga alanları birbirinden tamamen ayrılmıştır (Şekil 21).

KATKI BELİRTME

Çalışmanın her aşamasında katkılarını esirgemeyen Türkiye Petrolleri Anonim Ortaklığı'ndan Dr. Mustafa Murat-hanoğlu'na teşekkürü bir borç biliyim.

KAYNAKLAR

Bednar, J.B. 1983, Application of median filtering to deconvolution pulse estimation and statistical editing of seismic data, Geophysics 48, 1598-1610.

- Clearbout, J.F. and Muir, F. 1973, Robust modelling with erratic data, Geophysics 38, 826.
- Clearbout, J.F. 1976, Fundamentals of Geophysical Data Processing, Newyork, McGrawHill.
- Evans, J.R. 1981, Fortran Computer Programs For Running Median Filters and a General Despiker U.S. Geol. Surv. Open-File Rept., 81-1091.
- Evans, J.R. 1982, Running median filters and a general despiker, Bull. Seis. Soc. America 27, 331-338.
- Hardage, B.A. 1983, Vertical Seismic Profiling, Part A. Principles, Amsterdam, Geophysical Press.
- Huang, T.S., Yang, G.J. and Tang, G.Y. 1979, Fast two-dimensional median filtering algorithm, IEEE Trans. Acous., Speech Signal Procesing V. ASSP-20, 1, February.
- Joyant, N.S. 1976, Average and median based smoothing techniques for improving digital speech quality in the presence of transmission errors, IEEE Trans. Commun. COM-24, 1043-1045.
- Rabiner, L.E., Sambur, M.R. and Schimit, C.E. 1975, Application of non-linear smoothing algorithm to speech processing, IEEE Trans. on Acoustic Speech and Signal Processing ASSP-23, 6, 552-557.
- Stewart, R.R. 1985, Median filtering: Review and a new f-k analogue design, CSEC 21, 54-63.

TAHRAN'DA JEOELEKTROMANYETİK DERİNLİK SONDAJı

Geoelectromagnetic Depth Sounding at Tehran

O. Metin İLKİŞIK* ve Asemaneh REZABAKHSH*

ÖZET

Tahran Üniversitesi'nin jeomanyetik gözlemevinde kaydedilmiş olan manyetik ve telürik verilerden litosferin derin kısımlarına ilişkin bilgi edinilmesi amacıyla bir deneme yapılmıştır. İncelenen jeoelektrikmanyetik veriler, 1965 kış mevsiminde güneş lekelerinin göreceli olarak sakin olduğu bir dönemde yer almaktadır. 2800 saat süreli gözlem değerleri (yaklaşık 4 ay) kullanılarak yapılan spektral analiz, 3 saatten sideral aya kadar oldukça uzun bir peryot aralığını kapsamaktadır.

ρ_{KG} ve ρ_{DB} eğrilerinin kiyaslanması Tahran civarında derin ve kuvvetli bir yön bağımlılık bulunduguuna işaret etmektedir. Bölgedeki jeolojik uzamına paralel olan ρ_{DB} değerleri, dik olan ρ_{KG} değerlerinden daha azdır.

Doğu-batı yönlü jeolojik uzanıma paralel olan ρ_{DB} özdirenç değerleri üzerinden saptanan bir boyutlu model sonuçlarına göre üst manto içinde 500-600 km derinde bir iletken katman vardır. Veriler yaklaşık 1600-1700 km derinlerde ikinci bir iletken katmanın varlığına işaret etmektedir.

ABSTRACT

An attempt was made to obtain information about the deeper parts of lithosphere by using magnetic and telluric data recorded at the Geomagnetic Observatory of Tehran University. Geoelectromagnetic data cover relatively low level of sunspot activity in the winter of 1965. Spectral analysis using the data observed in 2800 hours (appr. 4 months) was applied in relatively long period varying from 3 hours to Lunar month.

The comparison of ρ_{NS} and ρ_{EW} curves suggests a strong anisotropy at this location. The sample values of ρ_{EW} are much less than those of ρ_{NS} which are in the direction of regional geological strike.

According to one dimensional modelling results by using ρ_{EW} resistivity values, a conductive layer exists at the depth of 500-600 km within the upper mantle. Data indicate that the existing of second conductive layer at about 1600-1700 km depths.

GENEL JEOLOJİ VE JEOFİZİK BİLGİLER

İran dağınık bir ülke olup; güneybatıdaki Arap Kalkanı ile kuzeydoğudaki Turan Platosu arasında, Anadolu'dan Afganistan'a doğru uzanan Alp-Himalaya kıvrım kuşağı üzerinde yer almaktadır. Jeolojik veriler bölgede dört ana tektonik birimin varlığını gösterir (Takin 1972 ve Tabatabai 1987).

1) Zagros Sistemi; kendisini sınırlayan kuzeydoğuya eğimli Zagros ters fayı ile birlikte Türkiye'de Toroslar'dan başlayarak güneydoğuya, Hürmüz Boğazı'ın yakınında bulunan yaklaşık kuzey-güney doğrultulu Minab fayına kadar uzanır. Bu kuşak, Arap platosunun, kuzeydoğusundaki İran levhası ile çarpışması ve sıkışması sonucu oluşmuştur. Levha tektoniği açısından, Arabistan levhasının İran levhasına göre bağlı hareketi, Zagros'lar boyunca uzanan geniş bir yitim kuşağı oluşturur. Bu dalma, Tersiyer'den başlayarak günümüzde dek süregelmiştir.

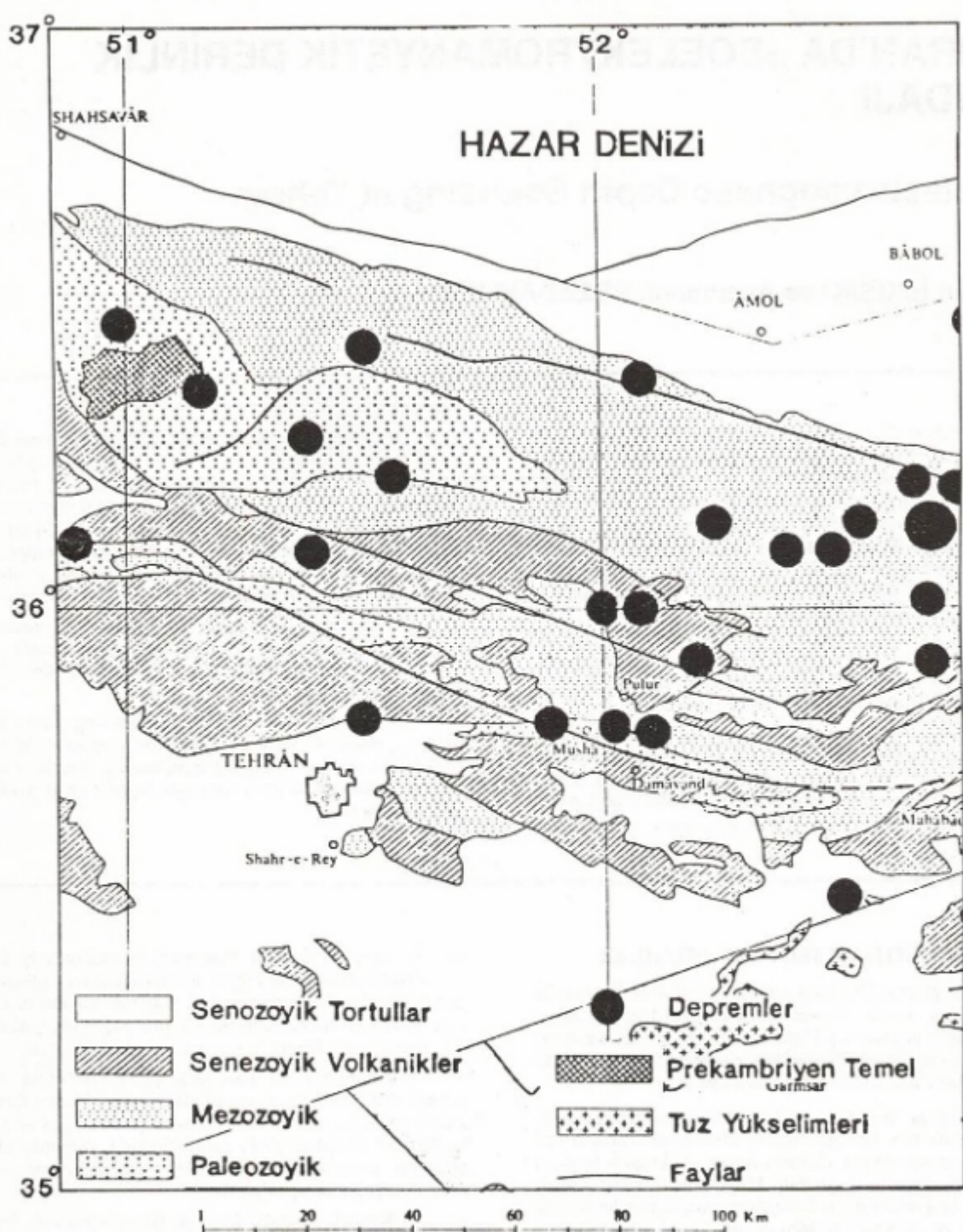
2) Orta İran platosu; sırasıyla Orta İran ve Azerbaycan, Lut kuşağı, Doğu İran sıradagliları ve Makran sıradaglilarından oluşur. Orta İran birimindeki yükseltimlerde Prekambriyen te-

mele ait kayaçlara rastlanır. Paleozoyik'in platform tipi kayaçları, eksiksiz olarak Orta Triyas'ın sonuna kadar çökelmelerine devam etmişlerdir. Toplam tortul kalınlığı Tahran'ın hemen güneyinde 8-10 km kadardır. Kuvaterner yaşılı genç çökeller de Orta İran tektonik birimi üzerinde geniş alanlar kaplar.

3) Elburz Sistemi; kuzeydeki Hazar çöküntüsü ile güneydeki Orta İran platosu arasında yer almaktadır. Birbirine paralel antikinal ve senkinalardan oluşan bir yay oluşturur. Bu birimde, doğu-batı yönlü önemli tektonik uzanımlar olmakla birlikte, tortul açıdan Prekambriyen'den Kuvaterner sonuna kadar tüm yaşıta kayaçlar yer almaktadır.

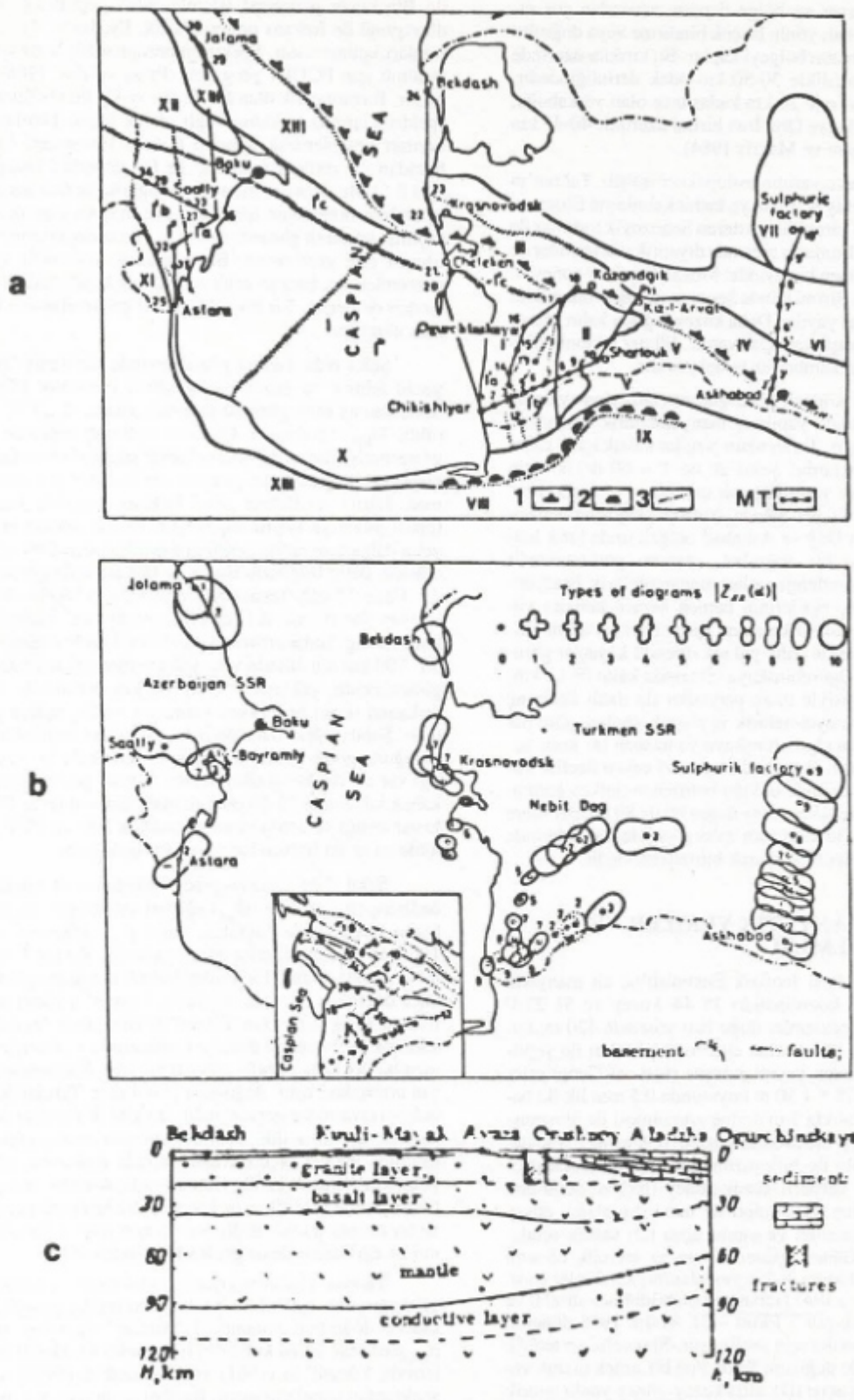
4) Koppeh sıradağı; İran'ın kuzeydoğusunda İran ile Türkmenistan arasındaki sınır bölgesinde yer almaktadır. Bu sıradagliara Elburz Dağları'nın kuzeydoğu uzantısı gözü ile de bakılabilir. Yapısal açıdan Orta İran ve Elburz birimlerinin, Turan platosu ile kenar bölümünü oluşturur. Elburzlar'ın kuzeyinde ve Koppeh Sıradagliları'nın batısında Hazar Denizi çöküntüsü yer almaktadır. Güney Hazar çöküntüsünde gözlenen yüksek gravite belirtisi bu alanın kalın tortullardan ve ince okyanusal kabuktan oluştuğunu göstermektedir.

* İ.O. Mühendislik Fakültesi, Jeofizik Mühendisliği Bölümü, Avcılar 34840 İstanbul



Şekil 1. Tahran civarının ayrıntılı jeolojik haritası (Thcalenko ve diğ. 1980 den).

Fig. 1. Detailed geological map of surrounding area of Tehran (after Thcalenko et. al. 1980).



Şekil 2. Türkmenistan'da yapılan manyetotellürik araştırmaların sonuçları (Avagimov ve diğ. 1976). a) Güney Hazar bölgesinin tektonik yapısı; 1- Geç Alpin kıvrımları sınırı, 2- Erken Alpin kıvrımları sınırı, 3- Ana kırıklar. b) $T = 60$ dakika için impedans değerlerinin yönbağımlı diyagram haritası. c) Bekdash - Ogurchinskaya doğrultusuna olası jeolojik kesit.

Fig. 2. Results of magnetotelluric investigations in Turkmenistan (after Avagimov et. al. 1976). a) Tectonic structure of Southern Hazar region; 1- Boundaries of Late Alpine folding, 2- Boundaries of Early Alpine folding, 3- Main fractures. b) Map of polar diagram of impedance values for $T = 60$ minutes. c) A possible geological section along Bekdash - Ogurchinskaya profile.

Orta İran ve Elburz tektonik birimlerinin sınırı Tahran'ın hemen güneyinden geçer ve bölge deprem açısından çok etkindir. Genelde doğu-batı yönlü birçok bindirme veya doğrultu atımlı kırık kuşakları bütün bölgeyi kaplar. Bu kırıklar üzerinde yer alan depremler genellikle 30-50 km odak derinliğindedir. Kuzeyde Hazar Denizi'nde 20 km kadar ince olan yerkabuğu, güneye doğru Elburz'lar ve Orta İran birimi üzerinde 40-45 km kalınlığa ulaşır (Dehgani ve Makris 1984).

Şekil 1'de Tahran civarının jeolojisi verilmiştir. Tahran'ın güneyinde oldukça geniş 8-10 km ye kadar kalınlaşan Eosen ve Oligosen'den itibaren sürekli gösteren Senozoyik tortullar ile örtülü bir alan vardır. Bunların arasında diyalitik yükselimler de görülür. Tahran'ın hemen kuzeyinde, Moshc Fay'ın güneyinde ve Elburz Tektonik Birimi içinde Senozoyik yaşı volkanikler oldukça geniş bir alana yayılır. Daha kuzeydoğuda kalın Mesozyoyik ve Paleozoyik yaşı kayaçlar vardır. Elburz tektonik biriminin çekirdeğinde Prekambriyen temel yer alır.

Şekil 2 (a-c) de Koppeh sıradaglilarının kuzeyinde yer alan Türkmenistan bölgesinde yapılmış manyetotelürik araştırmaların bir özeti verilmiştir. Taralı uzun çizgiler kabuk içine kadar inen derin kırık kuşaklardır. Şekil 2b de T = 60 dakika için empedans değerlerinin yöne bağlı diyagramları çizilmiştir. Kuzeydeki Bekdash'da her yönde izotrop kayaçlar varken (dairesel şekil), Nebit Dağ ve Aşkabad bölgelerinde kırık hatlarına paralel önemli bir doğu-batı uzanımı görülmektedir (elipsoid şekiller). İşaretlenmiş olan manyetotelürik istasyonlarda ölçülen özdirenç eğrilerinin hemen hemen tamamı yüzeyde yer alan iletken tortul katmana işaret eder ve artan per-yotta yani daha derinlerde daha yüksek dirençli kayaçlar görülür. Sadece güneyde Ogurchinskaya civarında kalın (8-10 km) iletken tortulların etkisiyle uzun peryodlar da dahil özdirenç düşük çıkmaktadır. Manyetotelürik ve sismik verilere göre hazırlanan Bekdash'dan Ogurchinskaya'ya uzanan bir kesit Şekil 2c de görülmektedir. Burada dikkatimiizi çeken özellikle kuzeyde 90 ile 120 km derinde olduğu belirlenen iletken katmanın, güneydeki Hazar çokıntılsına doğru 60 ile 80 km derinlere kadar yükselmektedir. Bu katmanın daha güneyde Iran içerisinde devam edip etmediği jeofizik olarak bilinmemektedir.

JEOELEKTROMANYETİK VERİLER VE DEĞERLENDİRİLMESİ

Tahran Üniversitesi Jeofizik Enstitüsü'ne ait manyetik gözlemevinin coğrafi koordinatları 35°44' kuzey ve 51°23.1' doğudur. Jeoelektrik gözlemler doğu-batı yönünde 420 m, kuzey-güney yönünde 1120 m olan elektrod açıklımları ile yapılmış ve mV/km cinsinden yayınlanmıştır (Inst. of Geophysics 1966). Elektrodlar 0.75 * 1.50 m boyutunda 0.5 mm lik iki baki levhanın 0.5 m aralıklla 3 m derine gömülmüş ile oluşmuştur. Isı ve rüzgara karşı elektrodlar gözlem noktasına 0.3 m derinden giden bir kablo ile birleştirilmiştir. Tahran jeoelektromanyetik gözlemevi verileri; kuzey-güney (Ex) ve doğu-batı (Ey) yönlü telürik alan değişimleri ile manyetik alanın düşey (Z) ve yatay (H) bileşenleri ve sapma açısı (D) saatlik ortalamalarından oluşur. Güneş lekelerinin en az etkinlik dönemi olan 1965 ve 1966 yıllarına ilişkin yayınlanmış kataloglar (Inst. of Geophysics 1966 ve 1967) taranarak olabildiğince sürekli ve eksiksiz verilerden oluşan 7 Ekim - 31 Aralık 1965 dönemi, jeoelektromanyetik analiz için seçilmiştir. Manyetik ve telürik verilerin zaman içinde değişimi Şekil 3'de bir örnek olarak verilmiştir. Üstte sapma açısı (D), altta kuzey-güney yönlü telürik değerler (Ex) görülmektedir. Örnek olarak verilen bu kayıt 10 gün, yani 240 saat uzunluğundadır.

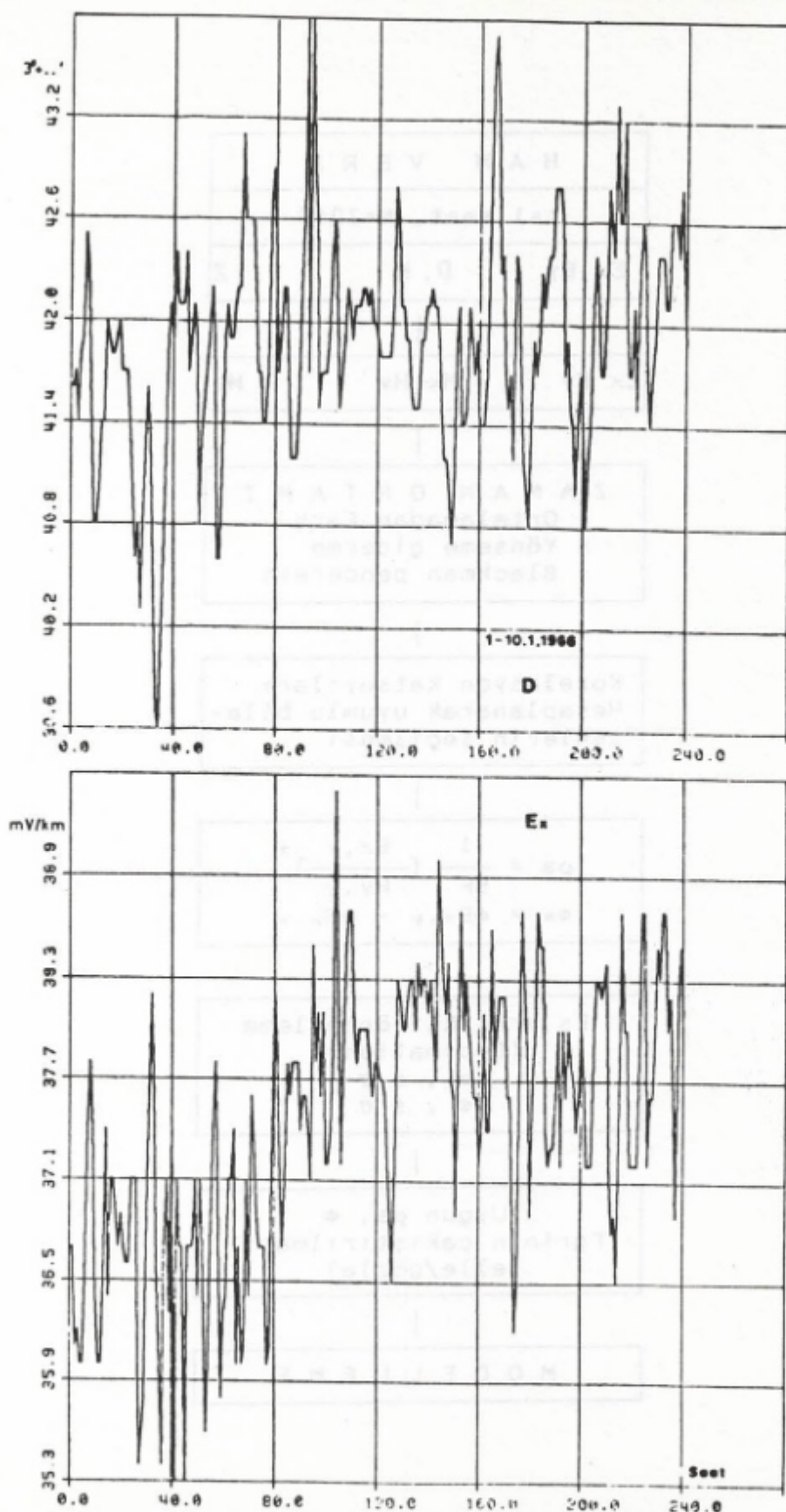
Şekil 4'de görünür özdirenç sondaj eğrisinin bulunmasına ilişkin işlemlerin akış diyagramı verilmiştir. Daha fazla ayrintı İlkışık (1980) ve Hermance (1973) da bulunabilir. Ham Ex, Ey, H, D ve Z verilerinin örnekleme aralığı 1 saat ve veri boyu 2048 dir. Telürik bileşenler aynen kullanılmış, Hx ve Hy ise H ve D den elde edilmiştir. Hz ise Z nin kendisidir. Bu ve-

riler zaman ortamında yönseme giderme ve sonlu veri nedeni ile Blackman penceresi işlemlerinden geçirilmiş ve Fourier dönüşümü ile frekans ortamında Ex, Ey, Hx ve Hy'nin spektrumları bulunmuştur. Spektrum hesaplamada hızlı Fourier dönüşümü için FOURI programı (Press ve diğ. 1986) kullanılmıştır. Birbirine dik olan Ex ile Hy ve Ey ile Hx bileşenlerinin spektrumlarında frekansa bağlı olarak ilişki -korelasyon- katayıları hesaplanarak uyumlu frekans bileşenleri seçilmiş ve buradan da görünür özdirenç ve faz değerleri hesaplanmıştır (Şekil 5). Bu değerler daha sonra logaritmik frekans ortamında eş aralıklı örnekleme işlemeye sokulmuş ve yine de belirli bir saçılma gösteren görünür özdirenç ve faz değerlerinin yuvarlatılması elle yapılmıştır. Bu tamamen matematik çakıştırma yöntemlerinin, bazı jeolojik ve jeofizik kısıtlamalara uymamasından dolayıdır. Bir boyutlu model çalışmalarında bu eğriler esas alınmıştır.

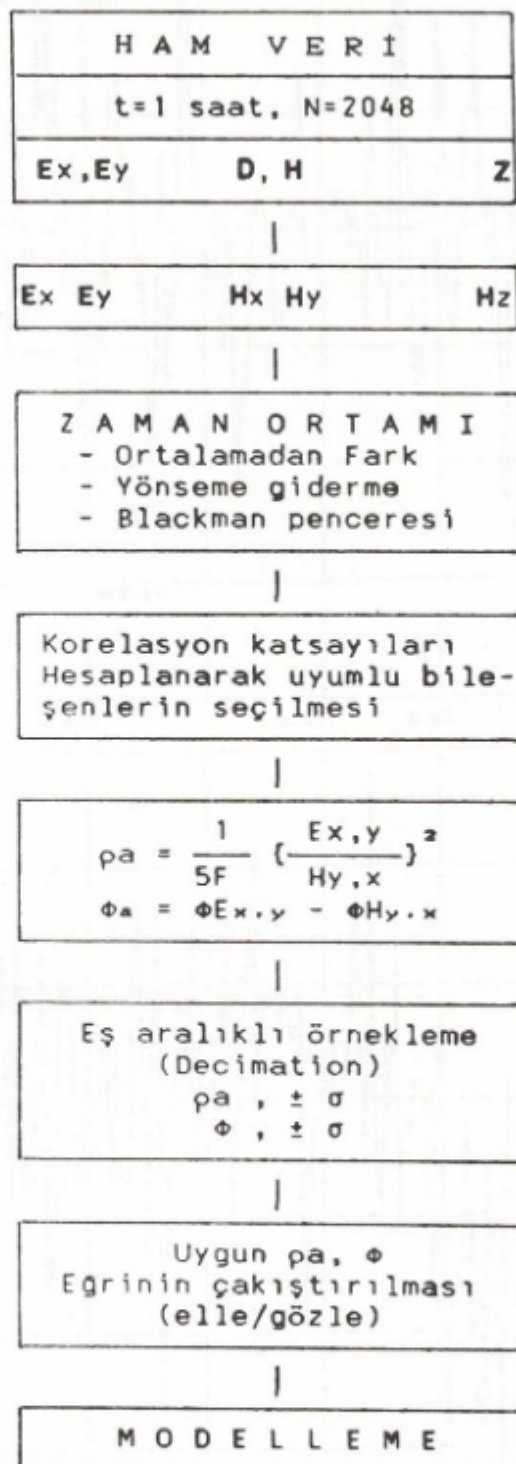
Şekil 6'da Tahran gözlemevinde ölçülmüş "doğu-batı" yönlü telürik ve kuzey-güney yönlü manyetik bileşenlerden hesaplanmış olan görünür özdirenç (üstte, ρ_{EW}) ve faz eğrisi (altta, ϕ_{EW}) verilmiştir. Görünür özdirenç değerleri dairelerle gösterilmiş olup, çizgilerin belirttiği standart sapmalar % 35-40 civarındadır. Böyle bir çalışma için bu sınır çok yüksek sayılmaz. Eğriler çizilirken artan frekans değerleri (saatte devir (cph)) yukarıya doğru seçilmiştir. Bunun nedeni elektromanyetik dalgaların nüfuz derinliği özelliği nedeniyle, sig bilgilerin yüksek, derin bilgilerin ise alçak frekanslarda görülmemesidir. Üstte 0.5 cph frekansında veya kabaca 160 km'lerde 35-40 ohm-m olan direnç, 0.11 cph frekansına yani yaklaşık 500-700 km derinliği kadar artmaktadır, bu derinliklerde direnç düşmektedir. 700 km nin altında yine yüksek dirençli kayaçların varlığı gözlenmektedir, yaklaşık 1500-1700 km derinlerde (0.015 cph frekansı) ikinci bir iletken katmanın varlığı açıkça görülmektedir. Sondaj eğrisi daha derinde özdirençin bağıl olarak yüksek olduğunu göstermektedir. Modellemede belli bir yanılı olasılığı var ise de, kesin olan durum Tahran gözlemevinin altında kabuk tabanında 35-40 ohm-m olan direncin en az 2000 km ye kadar arttığı ve arada sırasıyla yaklaşık 500 ve 1500 km derinlerde en az iki iletken katmanın var olduğunu.

Şekil 7'de "kuzey-güney" yönünde ölçülmüş görünür özdirenç (ρ_{NS}) ve faz (ϕ_{NS}) eğrileri verilmiştir. Bu eğri hemen bütün frekanslarda doğu-batı yönlü ρ_{EW} değerlerinin yaklaşık 100 katı yüksek değerler göstermektedir. Bu ise Tahran gözlemevi altında önemli bir yönbağımlılık olduğunu gösterir. Daha önce debynilen jeolojik bilgilerle, Tahran'ın güneyindeki Orta İran tektonik biriminin Tahran'ın kuzeyinde bulunan Elburz tektonik birimi altına daldığını, aralarında manto içlerine kadar inen bir dokanak olduğu anlaşılmaktadır. En azından bu iki birim arasındaki sınır, doğu-batı yönlü olup Tahran'daki gözlem noktası civarından geçmektedir. Bu gibi iki boyutlu durumlarda jeolojik uzanma dik ölçümler (burada kuzey-güney yönlü), uzanma paralel ölçümlerden (burada doğu-batı yönlü) daha yüksektir (Jiracek 1990). Bu durumda, derinlik açısından biraz farklı çıkmakla birlikte, özdirençin derine doğru genelde arttuğu ve bir önceki şekilde debynilen iletken yatay tabakaların etkisinin bu eğri üzerinde de gözleendiği söylenebilir.

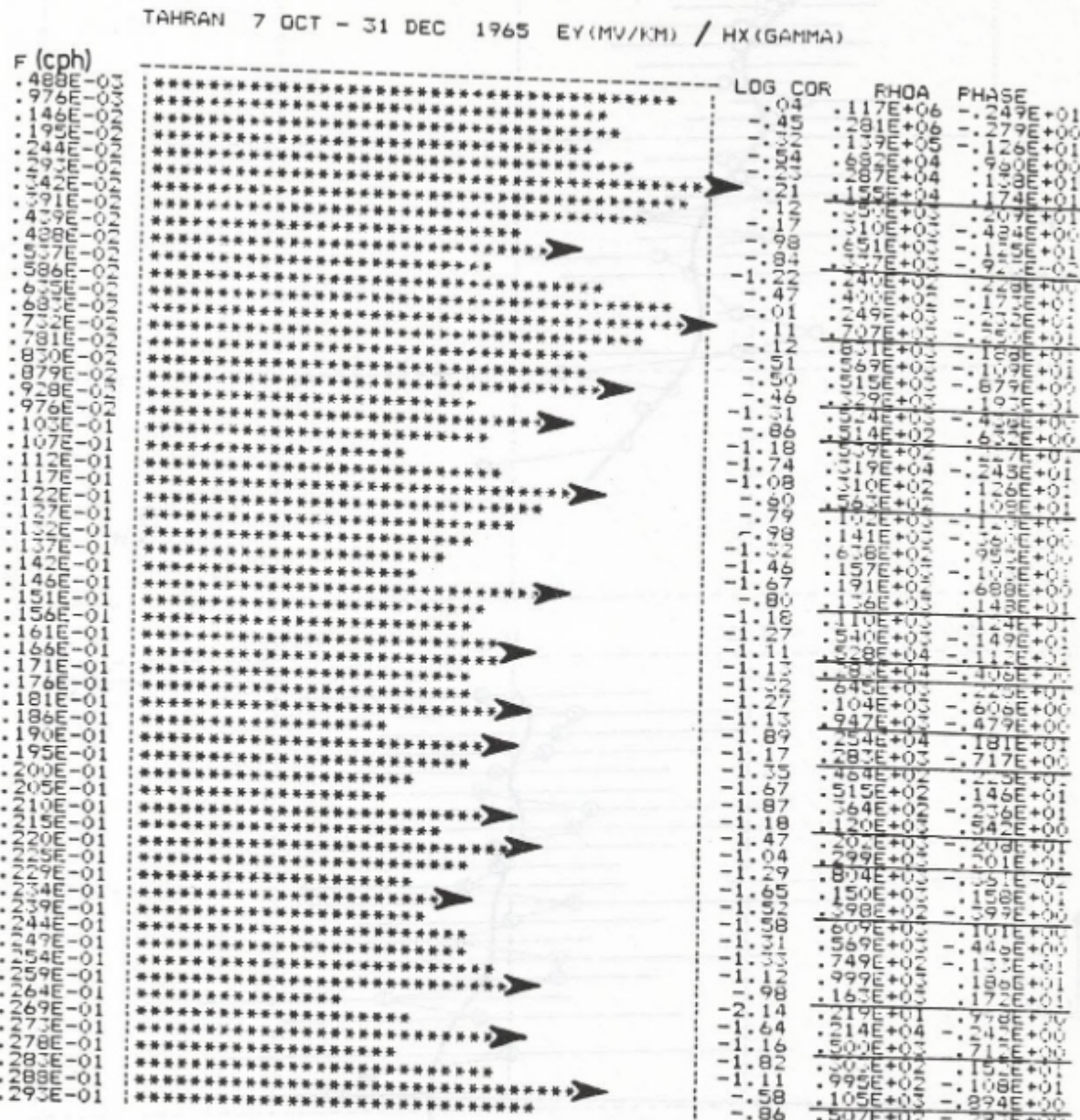
Tahran elektromanyetik verilerinde gözlenen önemli yönbağımlılık nedeni ile bir boyutlu model hesaplamalarında sadece doğu-batı yönündeki "paralel" değerleri simgeleyen ρ_{EW} özdirenç eğrisi kullanılmıştır (Şekil 8). Model hesaplamalarında Yüngül'ün (1961) ve Cagniard'ın (1953) yayınladığı abaklardan yararlanılmıştır. Bu abaklarda, farklı ρ_1/ρ_2 değerleri için çizilmiş olan eğrilerin apsis $T\rho_1/h^2$, ordinat ise ρ_2/ρ_1 olarak hazırlanmıştır. Peryodon fonksiyonu olarak çizilen ρ_{EW} eğrisinin ilk kısmı iki tabaka için hazırlanmış eğrileri ile çakıştırılarak önce üst katmana ilişkin değişkenler (ρ_1 ve h_1) bulunur. Şekil 8 de (üstte) görülen birinci "+" işaretini yardımcıyla ordinat üzerinde okunan değer ρ_1 i, apsis üzerinde okunan T_1 değeri ise ilk katmanın kalınlığı $h_1 = t_1$ i belirler. Çakıştırılan eğrinin ρ_2/ρ_1 değerinden de ρ_2 bulunur.



Şekil 3. Tahran Manyetik Gözlemevi'nden a) manyetik -sapma açısı D- ve b) telürik -Ex- veri örnekleri.
Fig. 3. Examples of a) magnetic -declination D- and b) telluric -Ex- data from Tehran Magnetic Observatory.

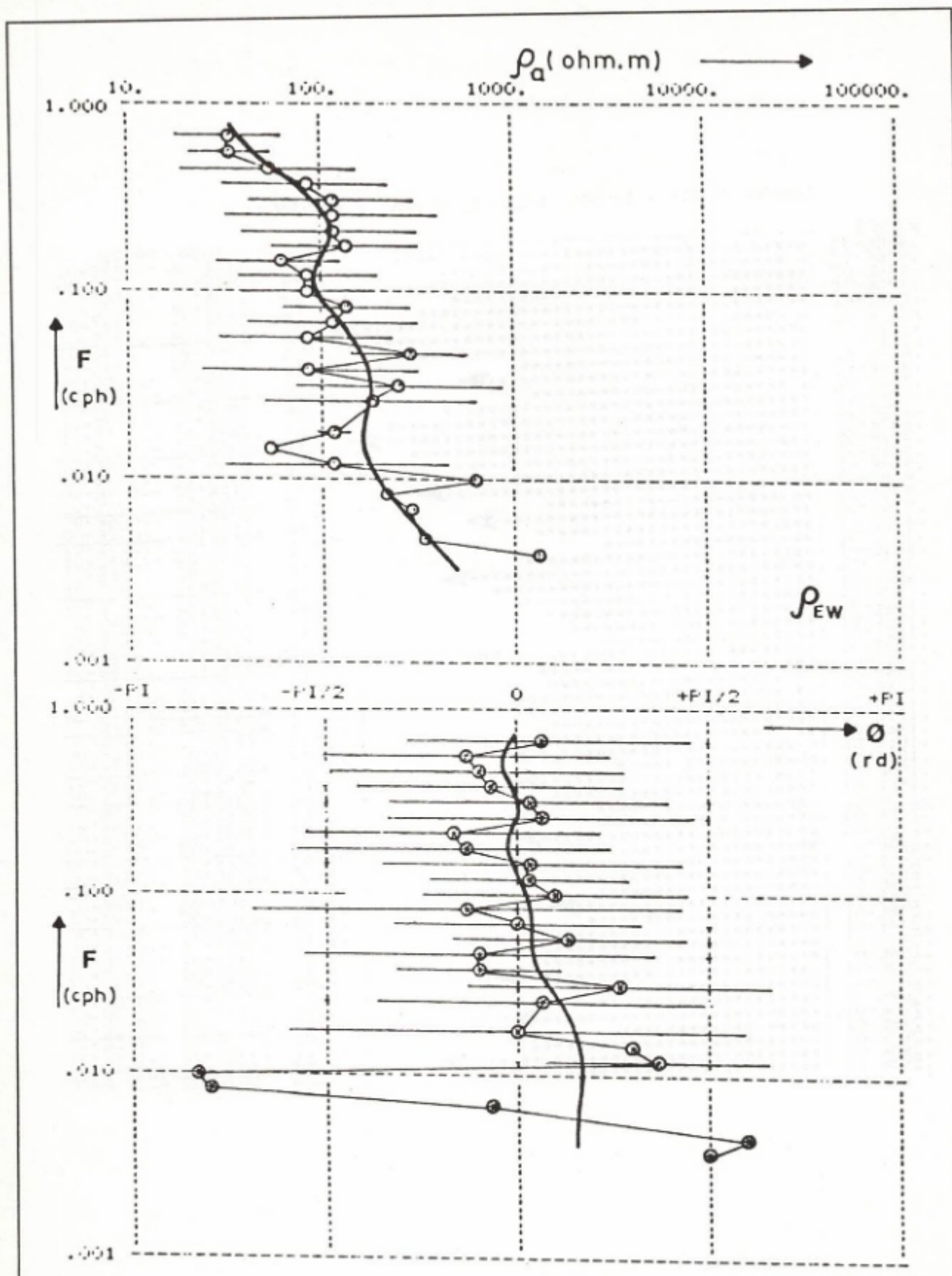


Şekil 4. Hesaplamaların akış diyagramı.
Fig. 4. Flow diagram of calculations.



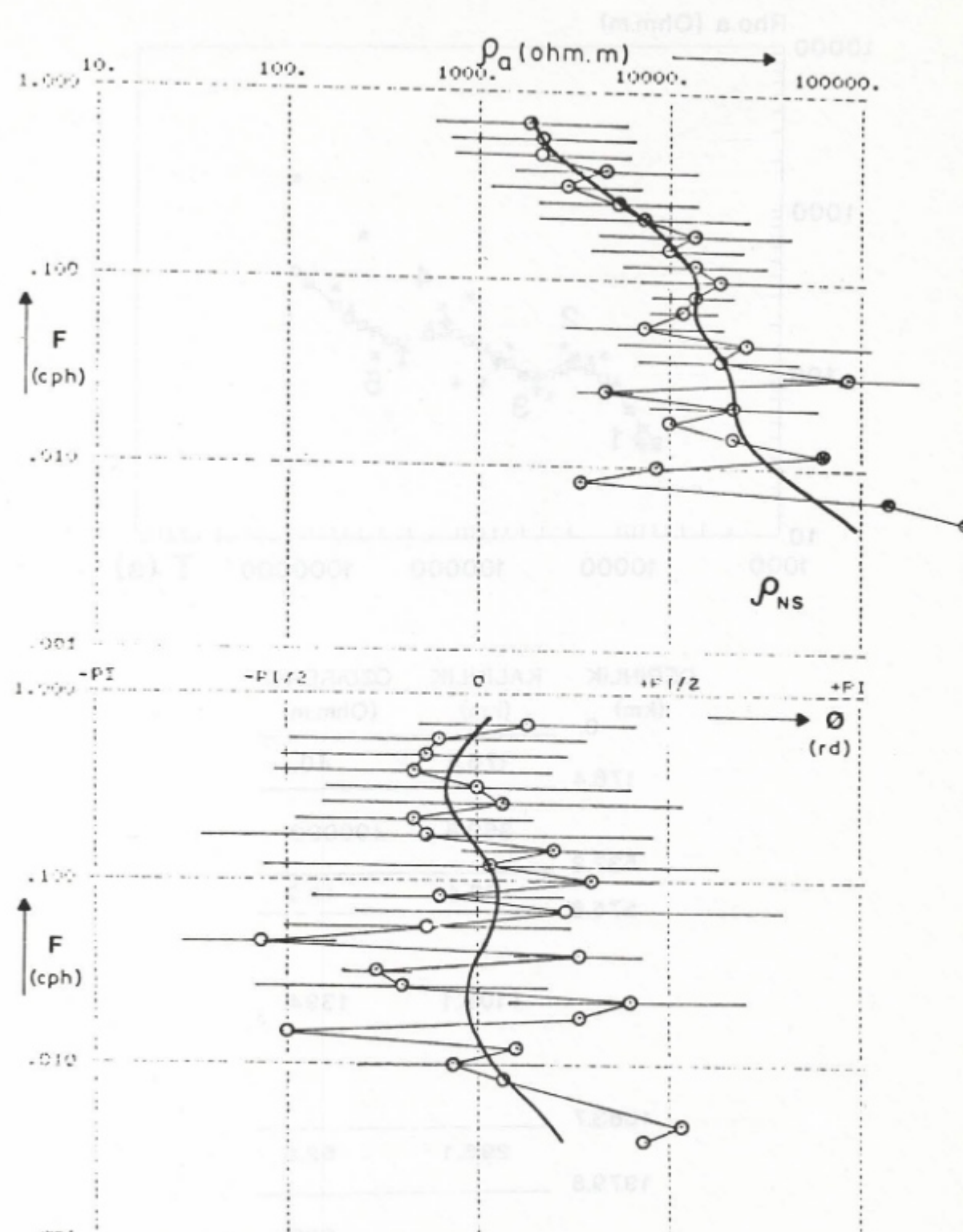
Şekil 5. Birbirine dik elektrik ve manyetik bileşenlerin spektrumlarında yüksek ilişki -korelasyon- (logaritmik ölçekte LOG COR) görülen frekanslarda (F), görünür özdirenç (RHOA) ve faz (PHASE) değerlerinin seçilmesi.

Fig. 5. The selection of the apparent resistivity (RHOA) and the phase (PHASE) values at frequencies of high correlation coefficients (in log scale LOG COR) which appear in between the spectrums of orthogonal electric and magnetic components.



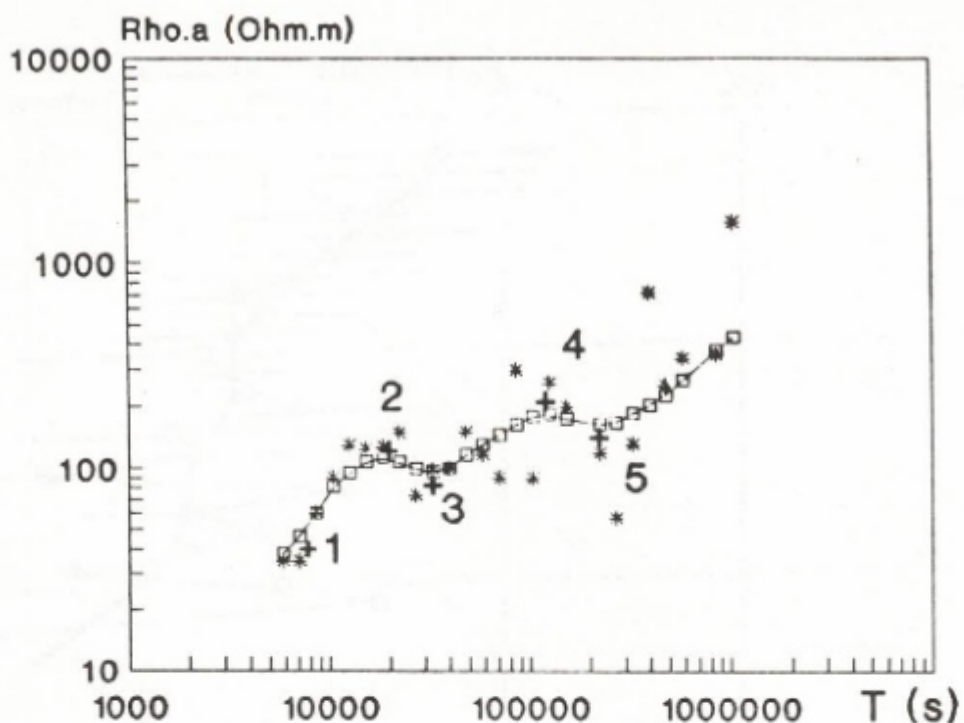
Şekil 6. Tahran Jeoelektrik Gözlemevi'nde doğu-batı yönünde frekansın fonksiyonu olarak ölçülen görünür özdirenç (üste ρ_{EW}) ve faz (altı ϕ_{EW}) eğrileri.

Fig. 6. The Apparent resistivity (top ρ_{EW}) and phase (bottom ϕ_{EW}) curves as a function of frequency which are measured in east-west orientation in Tehran Geoelectromagnetic Observatory.



Şekil 7. Tahran Jeoelektromanyetik Gözlemevinde doğu-batı yönünde frekansın fonksiyonu olarak ölçülen görünür özdirenç (üste ρ_{NS}) ve faz (altta ϕ_{NS}) eğrileri.

Fig. 7. The apparent resistivity (top ρ_{NS}) and phase (bottom ϕ_{NS}) curves as a function of frequency which are measured in east-west orientation in Tehran Geoelectromagnetic Observatory.



DERİNLİK (km)	KALINLIK (km)	ÖZDIRENC (Ohm.m)
0.	176.4	40.
176.4	360.8	400000.
537.2	38.4	13.2
575.6		
	1108.1	1394.
1683.7	296.1	52.5
1979.8		
		600.

Şekil 8. (Üstte) Çekitura yöntemi ile doğu-batı yönlü görünür özdirenç verilerinin bir boyutlu modellenmesi. Yıldızlar gözlenen özdirenç, kareler yuvarlatılmış görünür özdirenç değerleri ve numaralanmış artı işaretleri çekiştirilen kuramsal eğrilerin (1,1) noktalarıdır. (Altta) Altı tabakalı yer modeli.

Fig. 8. (Top) One dimensional modeling of east-west oriented apparent resistivity data through the process of curve matching. Stars are the observed apparent resistivity, squares are the smoothed apparent resistivity values and the numbered plus signs are the (1,1) points of the matched theoretical curves. (Bottom) Six layered earth model.

Daha sonraki adımda ρ_{EW} eğrisinin ikinci parçası ele alınarak yine iki tabaka arasında yeni bir eğri ile çakıştırılır. Çakışan eğrinin (1,1) noktası ikinci "+" işaretile gösterilmiştir. Bu kez ordinat üzerinde okunacak olan değer birinci ve ikinci tabakanın toplam iletkenliğinin belirlediği

$$S = S_1 + S_2$$

$$h_2/\rho_1' = h_1/\rho_1 + (h_2 - h_1)/\rho_2$$

bağıntısındaki ρ_1' dir. Apsis ise iki tabakanın toplam kalınlığı h_2 değerini veren

$$h_2 = (\rho_1' \cdot T_2)^{1/2}$$

bağıntısındaki T_2 dir. İkinci katmanın kalınlığı $t_2 = h_2 - h_1$ den, üçüncü katmanın özdirenci ρ_3 ise çakışan yeni eğrinin ρ_2' , yani gerçekte ρ_3/ρ_1' oranından bulunur. Hesaplanan değerlerin özellikle çakıştırma sonucu belirlenen ρ_1' değerinin doğru olup olmadığı her seferinde ve diğer tabakalar içinde toplam iletkenlik bağıntısı ile kontrol edilmelidir. Çok kez ortaya çıkan yanılı, yapay kaynakların kullanıldığı Schlumberger gibi özdirenç yöntemlerinde çok küçük (% 1-3) olmakla birlikte, görünür özdirenç eğrilerinin normalde % 25 yanılı taşıdığı manyetotellürik yöntemde % 1 ile % 15 arasında değişilmektedir.

Daha sonra eğrinin üçüncü ve diğer parçalarında benzer işlemler sürdürülerek bir boyutlu yeraltı yapısı için Şekil 8'de verilen 6 tabakalı yapı belirlenmiştir (Rezabakhsh 1991). Üstte 176.4 km kalınlıkta 40 ohm-m özdirençli katman, ince bir litosfer (45-50 km) ile birlikte, astenosferi simgeler. Bunun altında 360 km kalınlıkta ve 400000 ohm-m gibi yüksek özdirençli ikinci bir tabaka yer almaktadır. Model çalışmaları bunun altında 38.4 km kalınlıkta özdirenci 13.2 ohm-m olan bir katmanın varlığını göstermektedir. Manto içinde 537 ile 575 km derinlikler arasındaki bu iletken tabaka büyük olasılıkla sismolojik ve EM indüksiyon yöntemleri ile yerkürenin birçok yerinde gözlenen düşük hız zonuna karşılık gelir (Bott 1982). Manto içinde 1684 km derinlige kadar devam eden yüksek özdirençli (1394 ohm-m) dördüncü katmanın altında 296 km kalınlıkta 52.5 ohm-m özdirençli ikinci bir iletken tabaka yer almaktadır. En alttaki manto kayaçları ortalama 600 ohm-m özdirencidir. Verilerdeki saçılma oranının yüksek oluşu daha ayrıntılı bir model çalışmaya gidilmesinin yanı sıra, mantonun jeolojik ve petrolojik yapısına ilişkin yorumların da yapılmasını engellemektedir. Ancak bulunan modelde bu tabakaların derinliği, kalınlığı ve özdirencine ilişkin değerler gözlemlerdeki ve modelleme yöntemindeki yanılırlar nedeniyle biraz farklı olabilirse de, veriler varlıklarını kesin olarak göstermektedir.

SONUÇLAR

1) Tahran gözlemevine ait jeoelektrik manyetik verilerin analizi yapılarak spektral özellikleri belirlenmiştir. Bunlardan birbirine dik elektrik ve manyetik bileşenler 3 saatten, sideral aya kadar birçok frekansta uyumlu sinyaller içermektedir.

2) Hesaplanan kuzey-güney ve doğu-batı yönlü özdirenç değerleri arasında büyük bir yönbağımlılık vardır. Bu, Tahran yakınlarından geçen, doğu-batı yönünde uzanan ve çok derin-

lere (üst manto içlerine) kadar inen bir fay veya sınıra işaret eder.

3) Bir boyutlu yapıyı daha iyi simgeleyen doğu-batı yönlü görünür özdirenç eğrileri dikkate alınarak yatay katmanın model üzerinde çalışılsa, 100 km lerde 35-40 ohm-m olan özdirencin yine yaklaşık 2000 km derinlere kadar artarak devam ettiği gözlenmektedir. Ancak, biri 500-600 km derinde öbürü de kabaca 1600 km derinde iki iletken katman gözlenmektedir. Bunlardan özellikle 500-600 km derinde olanı, bir çok sismolog tarafından Doğu Avrupa ve dünyanın başka yerlerinde gözlenmiş olan manto içindeki düşük hız tabakasına karşılık gelebilir.

KATKI BELİRTME

Manyetik verilere ilişkin yayınların bazıları Sayın O. Uyar'ın arşivinden sağlanmıştır. Bu çalışma yazarlarının Türkiye 12. Jeofizik Kurultayı'nda sundukları bildiriyi tamamlamaktadır.

KAYNAKLAR

- Avagimov, A.A., Ashirov, T., Dubrovsky, V.G. and Nepesov, K. 1976, Deep magnetotelluric survey in Turkmenia and Azerbaijan. A. Adam (Ed.), Geoelectric and Geothermal Studies, KAPG Geophys. Mono, Akademici Kiado, Budapest.
- Bott, M.H.P. 1982, The Interior of the Earth, Edward Arnold, London.
- Cagniard, L. 1953, Basic theory of magneto-telluric method of geophysical prospecting, Geophysics 18, 605-635.
- Dehgani, G.A. and Makris, J. 1984, The gravity field and crustal structure of Iran, Nbj. Geol. Palaeont. Abh., 168, 213, 215-229.
- Hermance, J.F. 1973, Processing of magnetotelluric data, Phys. Earth Planet. Inter. 7, 349-364.
- Institute of Geophysics, Tehran University, 1966, Report on the Telluric Current Observations in Tehran During the Year 1965. Inst. of Geophys. Publ. No: 30, Tehran University Press.
- Institute of Geophysics, Tehran University, 1967, Report on the Geomagnetic activities in Iran During the Year 1965. Inst. of Geophys. Publ. No: 33, Tehran University Press.
- İlkışık, O.M. 1980, Trakyada Yerkabuğunu Manyetotellürik Yöntemle İncelenmesi, Doktora Tezi, ITÜ Maden Fak., İstanbul.
- Jiracek, G. 1990, Near-surface and topographic distortions in electromagnetic induction, Survey in Geophysics 11, 163-203.
- Press, W.H., Flannery, B.P., Teukolsky, S.A. and Vetterling, W.T. 1986, Numerical Recipes, Cambridge University Press, Cambridge.
- Rezabakhsh, A. 1991, Tahran Manyetik ve Elektrik Kayıtlarının Analizi, Y.Lis. Tezi, İ.Ü. Fen Bil. Enst., Jeofizik Müh. A.D., İstanbul.
- Tabatabai, H. 1987, Kuzebatı İran'ın Aeromagnetik Haritasının İki Boyutlu Fourier Analizi ile Değerlendirilmesi, Doktora Tezi, İ.Ü. Fen Bil. Enst., Jeofizik Müh. A.D., İstanbul.
- Takin, M. 1972, Iranian geology and continental drift in the Middle East. Nature 235, 147-150.
- Tchalenko, J.S., Iranmanesh, M.H. and Berberian, M. 1980, Map of seismotectonic provinces (1:1000000), Joint Programme of the Geological Survey of Iran and Imperial College, London.
- Yüngül, S.H. 1961, Magnetotelluric sounding three-layer interpretation curves, Geophysics 26, 465-473.

MANYETİK VERİLERİN HIZLI VE OTOMATİK YORUMUNDA WERNER TEKNİĞİ VE YATAY TÜREVLERİ

Horizontal Derivatives and Werner Technique in Fast and Automatic Interpretation of Magnetic Data

İbrahim AYDIN*

ÖZET

Manyetik profil verilerinin hızlı ve otomatik yorumlanması için bir çok teknik bulunmaktadır. Bunlardan en çok tanınan Werner tekniği olup uygulama sadeliği nedeniyle de en çok kullanılan tekniktir.

Buna rağmen, Werner teknigi uygulamalarında pencere genişliğinin yanlış seçimi, hesaplanan kütle derinliği ve konumlarında bazı belirsizlikler doğurmaktadır. Bu belirsizlikler elde edilen sonuçların başka tekniklerle desteklenmesiyle giderilebilir. Bu amaçla kullanılabilen tekniklerden birisi de kutba indirgenmiş manyetik veriye uygunabilen Yatay Türev teknigi olup bu yazida tanıtılmaktadır.

ABSTRACT

There are many automatic and fast techniques for the interpretation of magnetic profile data. One of them, Werner technique is well known and applied very often because of its simplicity in use.

However, in the application of the Werner technique, unappropriate selection of the window length may cause some ambiguities on calculated depth and location of bodies. These ambiguities may be removed by other techniques to improve the results. For this purpose, the horizontal derivatives method which is applicable to the pole reduced magnetic data can be used.

GİRİŞ

Havadan manyetik etütlerde 1950'li yıllarda başlayan artış, 1960'lı yılların başlarında en yüksek noktaya ulaşmıştır. O yıllarda, özellikle petrol arama amaçlı, kara ve denizlerde milyonlarca kilometrelük manyetik veri toplanmıştır. Böyle hızlı ve büyük mikardaki veri akışı, verinin derlenmesi, işlenmesi, haritalanması, nitel ve niceł olarak hızlı bir şekilde yorumlanması çalışmalarında bazı tıkanmalar yaratmıştır. Bu yüzden yorumcular yeni arayışlara girmiştir. Bu arayışlar anomalilere neden olan kütlelerin derinlik, kalınlık gibi parametrelerinin hızlı ve otomatik olarak hesaplanması sağlanacak yeni tekniklerin geliştirilmesine veya bilinenlerin amaca uygun hale getirilmesine neden olmuştur. Diğer taraftan geliştirme ve iyileştirmelerin başarıya ulaşmasında bilgisayar teknolojisindeki gelişmelerin payı büyük olmuştur.

Manyetik anomalilerin yorumunda uzun yıllar Peters (1949) teknigi kullanılmıştır. Bunu, eğri çıkıştırma teknikleri, eğri çıkıştırma tekniklerini de Talwani ve Heirtzler (1964) düz çözüm teknigi izlemiştir. 1970'li yılların başlarında ise bilgisayar destekli çözümlerden Johnson (1960), Mc Grath and Hood (1970) ve Hjelt (1973) teknikleri yaygın olarak kullanılmıştır. Yine o yıllarda en çok uygulanan bir başka çözüm teknigi ise Koulozine ve diğ. (1970) tarafından tanıtılmıştır. Buraya kadar sözü edilen bu tekniklerin tümünde tek bir anomali ele al-

nip çözümlenmekte, hatta bazlarında anomali üzerinde gözle belirlenmesi gereken özel noktalara gerçek duymaktadır. Aynı yıllarda ve daha sonraki yıllarda, Hartman ve diğ (1971), Naudy (1971), O'Brien (1972), Phillips (1978) ve Thompson (1982), anomaliler üzerinde özel noktaların gözle belirlenmesine gerek duyulmayan ve bir profil boyunca anomalilerin otomatik olarak çözümlenesini sağlayan yeni teknikler önermiştir. Bu teknikler, bulunan parametrelerin sayısı sınırlı da olsa anomali çözümlemeye önemli bir hızza erişilmesini sağlamışlardır.

BİLİNEN BAZI HIZLI VE OTOMATİK ÇÖZÜM TEKNİKLERİ

Bu tekniklerin hemen hemen hepsinin kuramsal temeli, hızı ve bazı fazladan bilgilere gereksinimleri farklıdır. Naudy (1971), bir profil üzerinde bulunan anomaliler ve bunların kutba indirgenmiş hallerini simetrik ve asimetrik olmak üzere iki kısma ayırmıştır. Bunlardan simetrik kısımları kullanarak anomaliye neden olduğu varsayılan dayın konum ve derinlik parametrelerini hesaplamaya çalışmıştır.

O'Brien (1972) ise, manyetik anomaliye neden olduğu varsayılan prizmatik kütelerin köşe noktalarının konum ve derinliklerini bulmayı hedeflemiştir. Bunun için uzaysal oto-regresyon işleminden yararlanılmaktadır. Regresyon eşitlikleri

* MTA Genel Müdürlüğü, Jeofizik Etüdleri Dairesi, 06520 Ankara.

ise, manyetik değerlerin yatay birinci türevleri ile bunların Fourier ve Hilbert dönüşümlerinden elde edilmektedir. Bir veri penceresi için oluşturulan regresyon eşitliklerinin çözümünden bulunacak katsayılar, derecesi prizmatik kütle sayısı olan bir polinomun katsayılarını oluşturmaktadır. Bu polinomun karmaşık kökleri ise, veri penceresi içindeki manyetik anomaliye neden olan prizmatik kütelerin köşe noktalarının ve derinliklerinin fonksiyonu olmaktadır.

Philips (1978)'e göre, manyetik temel, ince ve dik dayklarla temsil edilebilir. Bir profil boyunca ölçülen manyetik değerler de, bu ince ve dik daykların manyetik anomalilerinin toplamıdır.

Bir manyetik anomali, belli bir derinlikteki daykin impuls tepki fonksiyonu ile daykin miknatıslanma şiddetinin evrişimi olarak tanımlanabilir.

Bir başka ifadeyle, bir manyetik anomalinin özilişkisi, derinliği ön kestirimle belirlenen bir daykin impuls tepki fonksiyonun özilişkisi ile bu daykin miknatıslanma şiddetinin özilişkisinin evrişimidir.

Philips (1978) teknigine göre, derinliği önceden belirlenen kuramsal bir dayk anomali ile bir veri penceresi içindeki manyetik değerlerin özilişkileri birbirleriyle tüm kaymalarla uyumlu ise, ön kestirilen derinlik doğrudur. Özilişkilerin uyumlu olmaması halinde, ön kestirilen derinlik değiştirilerek yeniden oluşturulan kuramsal dayk anomalisinin özilişkisi sıznanır. Bu işlemler veri penceresinin profil boyunca ilerletilmesi suretiyle sürdürülür.

Konuya daha değişik bir yaklaşım getiren Thompson (1982), çalışmasında Euler bağıntısını kullanmıştır. Bir veri penceresi içindeki değerler Euler kısmi differansiyel bağıntısı kullanılarak oluşturulan doğrusal eşitlikler çözümlenerek anomaliye neden olan kütlenin konum ve derinlik parametreleri hesaplanabilmektedir. Bu uygulamada Euler bağıntısının türdeşlik katsayısının ön kestirimine gerek duyulmamaktadır. Reid ve diğ. (1990) aynı teknigi geliştirerek yeni uygulama örnekleri vermişlerdir.

Kendinden Hartman ve diğ. (1971) ile sözettirmeye başlayan ve adını ilk kullanicısı Werner (1953)'den alan teknik, Jeofizik yaymlarda "Werner Deconvolution" olarak bilinmektedir. Werner tekniginin özü şu şekilde tanımlanabilir; bir manyetik anomali, kuramsal modelin impuls tepki fonksiyonu ile yer katki fonksiyonunun evrişimidir. Ters evrişimle de yer katki fonksiyonunun konum ve derinlik parametreleri hesaplanabilir.

Jain (1976), bu teknige bazı kuramsal yenilikler ekleyerek geliştirmiştir, Behrendt ve Klitgord (1980) ise Atlantik kitä kenarı manyetik anomalilerine uygulamıştır. Ku ve Sharp'ın (1983) çalışmaları da aynı teknigi değişik yaklaşımalarla irdelemek şeklinde olmuştur. Bu teknigin gravite anomalilerine uygulanmasına da rastlanmaktadır (Kilty 1983).

Son zamanlarda Keating ve Pilkington'un (1990) manyetik düşey gradiyent anomalileri için öngördükleri çözümün özünü yine Werner teknigi oluşturmaktadır.

Kuramsal sadeliği ve uygulama kolaylığı açısından en çok tanınan ve rağbet gören bu teknik, özellikle petrol arama larına yönelik çalışmalarla, manyetik temel derinliğin belirlenmesi amacıyla kullanılmaktadır.

WERNER TEKNİĞİ VE YATAY TÜREV ÇÖZÜMÜNÜN TEMEL TANIMI

x ekseni dik doğrultuda uzanan, kalınlığı d , derinliği h olan dik bir daykin toplam manyetik alan şiddeti izleyen eşitlik ile verilebilir (Ku and Sharp 1983).

$$T(x) = \frac{A \cdot (x - x_o) + B \cdot h}{(x - x_o)^2 + h^2} \quad (1)$$

Burada A ve B terimleri

$$\begin{aligned} A &= -2d(J_x \cdot \text{Sin}l + J_z \cdot \text{Cos}l \cdot \text{Sin}\alpha) \\ B &= 2d(-J_z \cdot \text{Cos}l \cdot \text{Sin}\alpha + J_x \cdot \text{Sin}l) \end{aligned} \quad (2)$$

şeklinde tanımlanabilir. (1) ve (2) eşitliklerindeki diğer terimler ise l ; etkin manyetik alanın dağılımı, α ; saat yönünün tersi pozitif olmak üzere dayk doğrultusunun manyetik kuzeyle yaptığı açı, J_x ve J_z sırasıyla manyetik kutuplanma vektörünün yatay ve düşey bileşenleri, x_o ; dayk merkezinin ekseni üzerindeki koordinatının koordinatı ve h ; daykin tepe noktasına olan derinlik olarak verilmiştir.

(1) eşitliğinin $0 - \alpha$ arasında integrasyonu ile bir basamak yapısının manyetik anomali, integrasyon eşitliğinin türvi alınarak bir basamak yapının kenar etkisi anomali elde edilebilir. (1) eşitliğinin önce integrasyon sonra türvi alınarak yine kendine benzer bir eşitlik elde edilecektir. Fark sadece basamak yapının $-\alpha$ veya $+\alpha$ 'a doğru uzanması durumunda (1) eşitliğinin başına gelecek işarette olacaktır (Ku and Sharp 1983).

Ku ve Sharp (1983), (1) eşitliğine ikinci dereceden bir çok terimli ekleyerek, anomali üzerindeki bölgesel etkileri (3) eşitliğindeki gibi tanımlamışlardır.

$$T = \frac{A_0 \cdot (x - x_o) + B \cdot h}{(x - x_o)^2 + h^2} + C_1 x^2 + C_2 x + C_3 \quad (3)$$

(3) eşitliğinde bazı terimler birleştirilip yeniden yazılmışyla (4) eşitliği elde edilecektir (Ku and Sharp 1983).

$$Tx^2 = a_0 + a_1 x + a_2 x^2 + a_3 x^3 + a_4 x^4 + b_0 T + b_1 x T \quad (4)$$

(4) eşitliğinin $a_0, a_1, a_2, a_3, a_4, b_0$ ve b_1 den meydana gelen 7 bilinmeyeni, 7 noktadaki değerler ve bunların koordinatlarının yerlerine konulmasıyla oluşturulacak 7 eşitlikten hesaplanabilir. Bunlardan b_0 ve b_1 yardımıyla,

$$x_0 = b_1 / 2 \quad \text{veh} = (-b_0 - x_0^2)^{1/2}$$

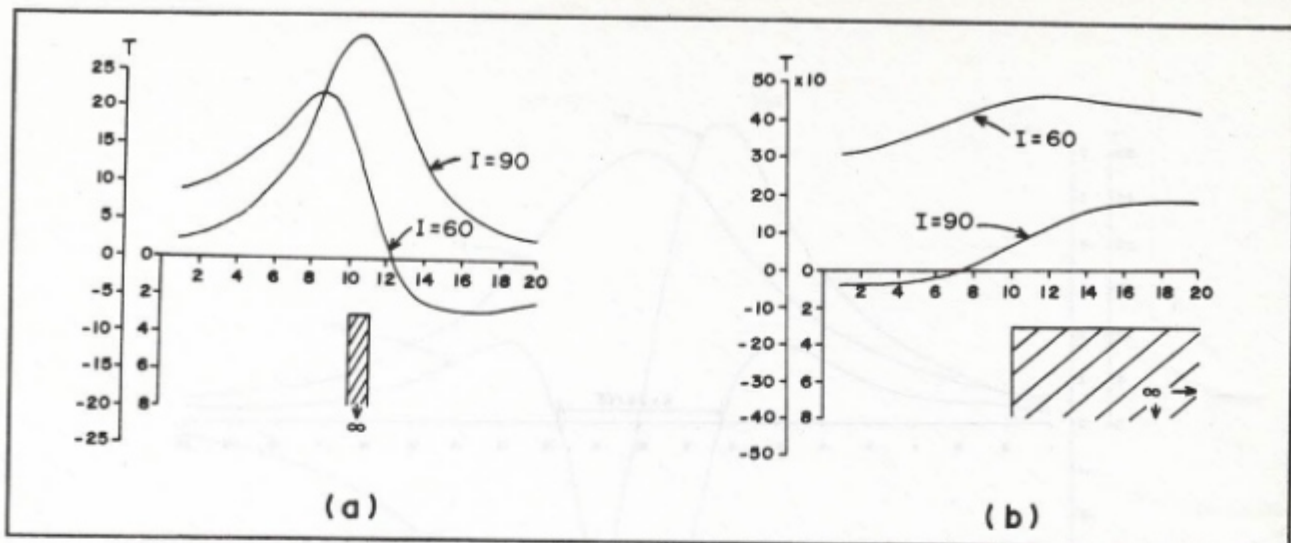
hesaplanabilecektir (Ku and Sharp 1983). Bu profil üzerindeki hesaplamalarda pencere bir birim kaydırılarak işlem sürdürülür.

Werner tekniginin en çok tartışılan tarafı, pencere genişliği seçiminde karşılaşılan güçlüğüdür. Pencerenin çok geniş olması halinde anomali sadece 2-3 nokta ile tanımlanabilecek, çok dar olması halinde ise pencere anomaliyi tam olarak kapsamayacaktır. Diğer taraftan, manyetik vermin teyp veya disklere sayısal olarak kaydedildiği durumlarda, anomalilerin dalga boyları gözle görülemediğinden, anomaliyi 7 nokta ile tanımlayacak bir pencere genişliği seçiminde kararsızlık söz konusu olacaktır. Bu yüzden Werner uygulamaları pencere genişliği birkaç kez değiştirilerek yapılır. Bir profilde onbinlerce manyetik veri ve yüzlerce anomali olduğu ve pencere genişliğinin de birkaç kez değiştirildiği gözönüne alırsa, Werner uygulamalarında büyük bir zaman kaybı ve bazan da yanılıcı sonuçlarla karşılaşılabilmeaktadır.

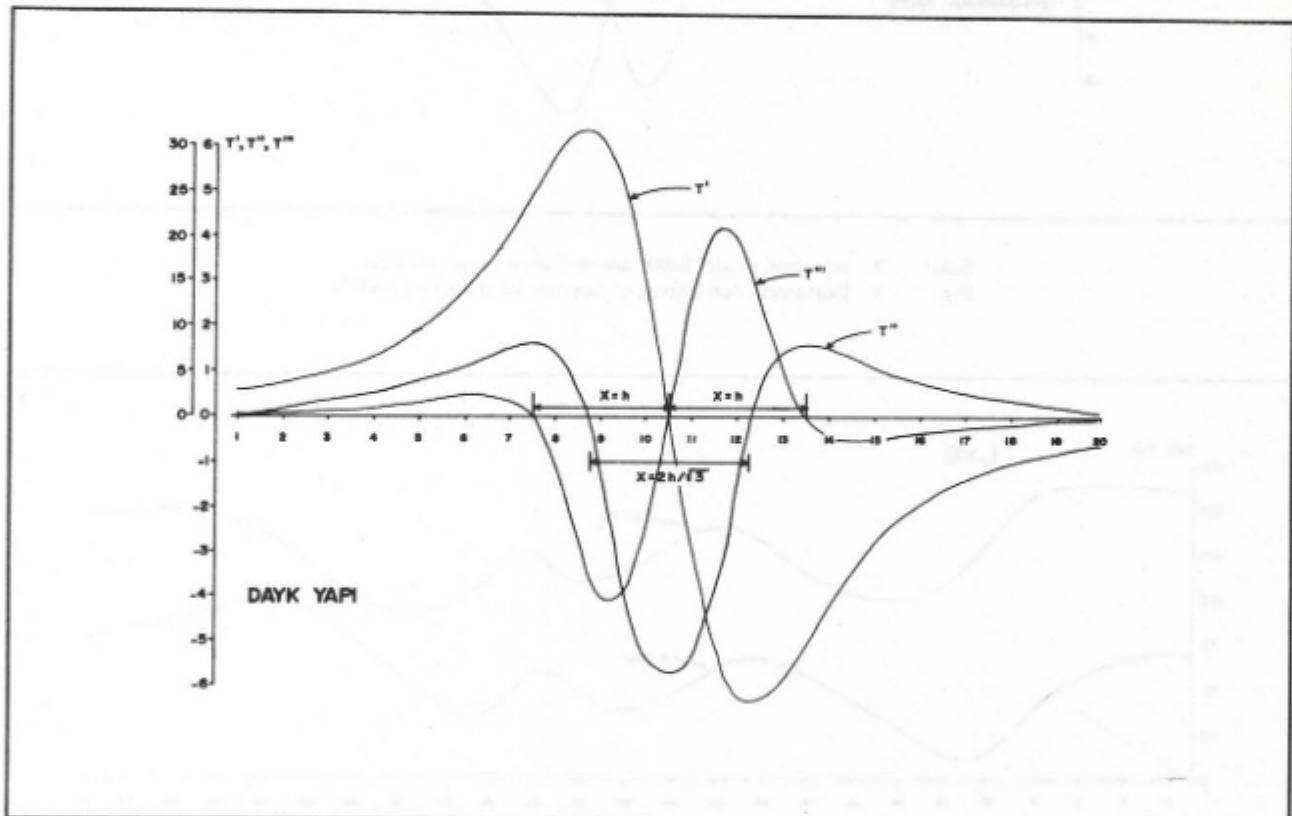
Zaman kaybının önlenmesi ve yanılıcı sonuçlarla karşılaşmaması için Werner teknigi başka tekniklerle sınırlı desetlenmelidir. Bu yazıda önerilen yatay türev teknigi, Werner uygulamalarının sınınamasında ve tek başına kullanılabilecek basit bir tekniktir. Bunun için (1) eşitliği bazı varsayımlarla (5) eşitliği şeklinde getirilebilir.

$$T(x) = \frac{B' \cdot h}{(x - x_o)^2 + h^2} \quad (5)$$

Buradaki varsayımlar; daykin ince ve dik olduğu, kalıntı miknatıslanma olmadığı ve etkin manyetik alanın dik ve buna bağlı olarak da miknatıslanma vektörünün yatay bileşeninin olmadığıdır. $B' = 2d J_z$ dir. d ve J_z . (2) eşitliklerinde açıklanmıştır.



Şekil 1. Dayk model (a) ve basamak model (b) ile bunların $I=60^\circ$ ve $I=90^\circ$ manyetik toplam alan anomalileri.
Fig. 1. Dike model (a) and step model (b), their magnetic total field anomalies for $I=60^\circ$ and $I=90^\circ$.



Şekil 2. Dayk model $I=90^\circ$ anomalisinin yatay türevleri.
Fig. 2. Horizontal derivatives of dike model anomaly ($I=90^\circ$).

(5) eşitliğinin ikinci ve üçüncü yatay türevlerinin sıfır olduğu noktalar arasındaki x uzaklığı anomaliye neden olan kütlenin üst köşe noktalarına olan h derinliği ile ilişkilidir. Bu ilişki ikinci türev için $h = (\sqrt{3}/2).x$ şeklinde, üçüncü türev için $h=x$ şeklidindedir.

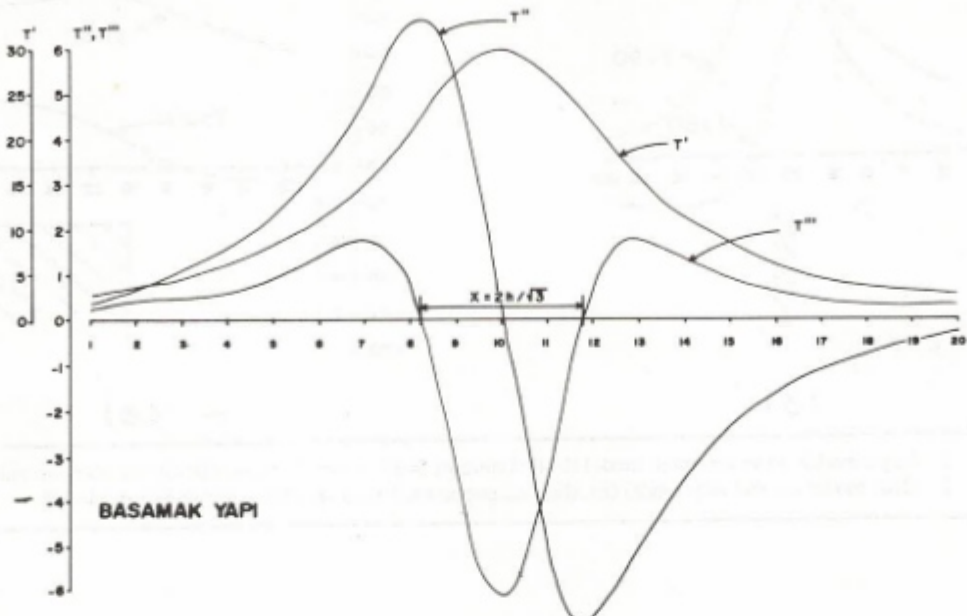
MODEL ÇALIŞMALAR

Etkin manyetik alanın şiddeti 45 000 gamma, sapma açısı 0° , dalım açısı $I=60^\circ$ ve $I=90^\circ$ alınarak Talwani ve Heirtzler (1964) ile oluşturulan modellerin anomalileri Şekil 1 a ve 1 b'de görülmektedir. Bu modellerin $I=90^\circ$ için elde edilen anomalilerinin birinci, ikinci ve üçüncü dereceden türevleri ise Şekil 2

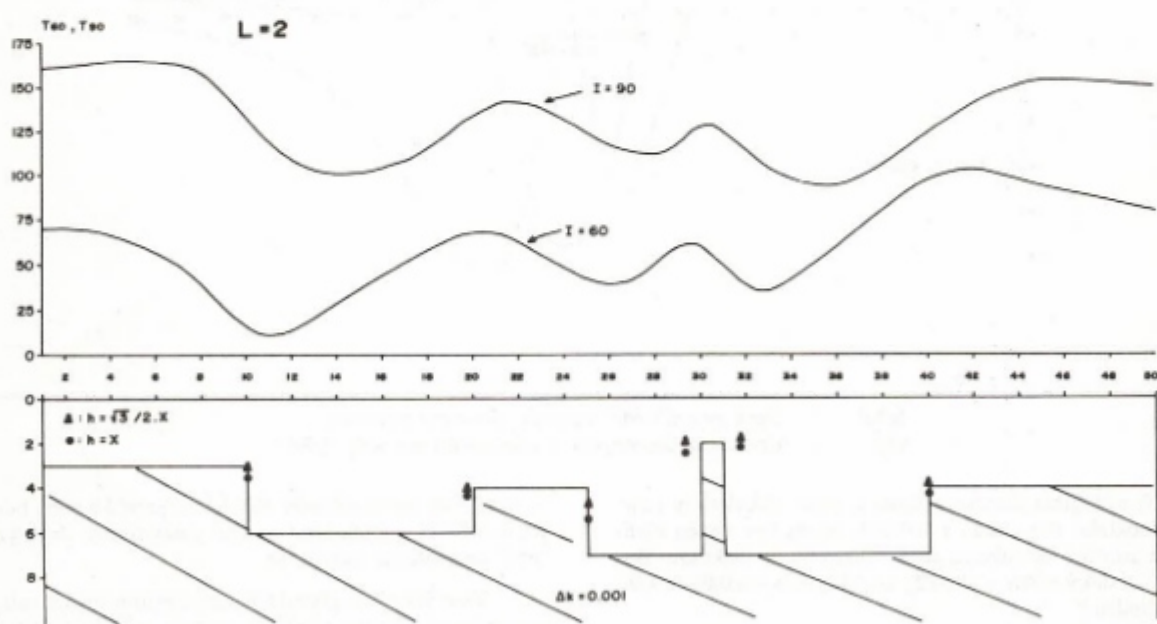
ve Şekil 3 de yer almaktadır. Şekil 2 ve Şekil 3 e göre, basamak yapının $I=90^\circ$ anomalisinin birinci yatay türevi, dayk yapının $I=90^\circ$ anomalisine eşdeğerdir.

Yine Şekil 2 ye göre dayk anomalisinin birinci ve üçüncü türevinin sıfır, ikinci türevinin mutlak değerinin maksimum olduğu noktalar daykın üst merkez noktasının yatay konumunu vermektedir. Ikinci türevinin sıfır olduğu noktalar arasındaki $h = (\sqrt{3}/2).x$ şeklinde, üçüncü türevin sıfır olduğu noktalar ile dayk derinliği arasında $h=x$ şeklinde bir ilişki görülebilir (Şekil 2).

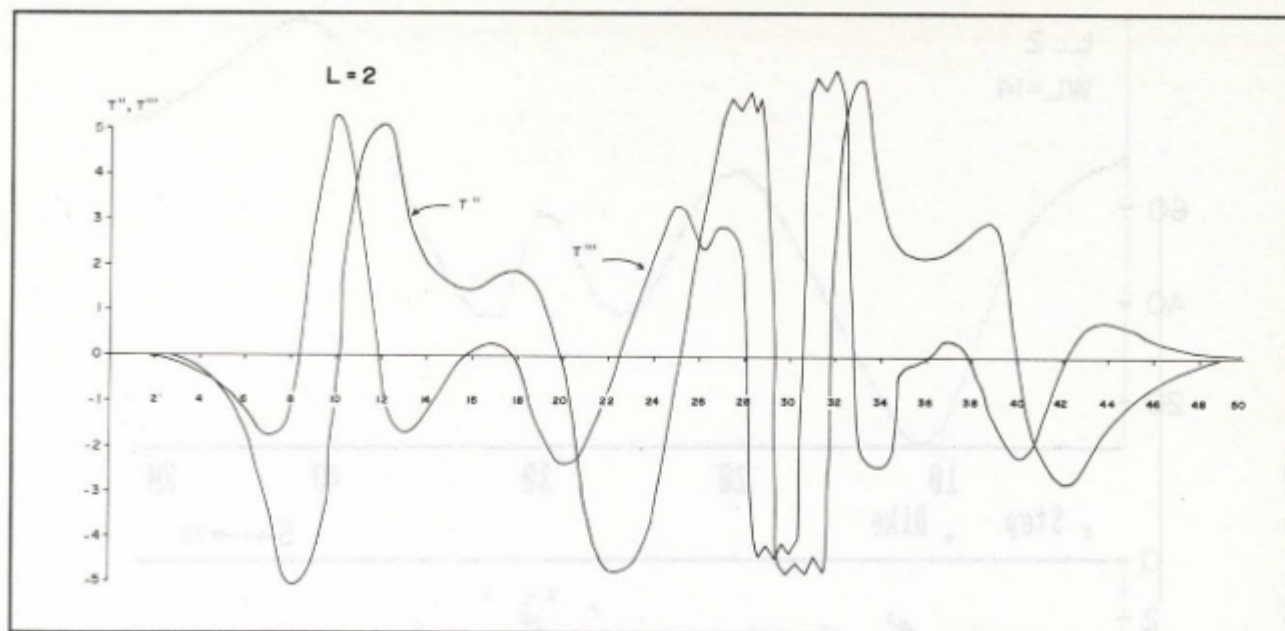
Basamak yapının $I=90^\circ$ anomalisinin birinci yatay türevinin maksimum olduğu nokta ve ikinci türevin sıfır olduğu



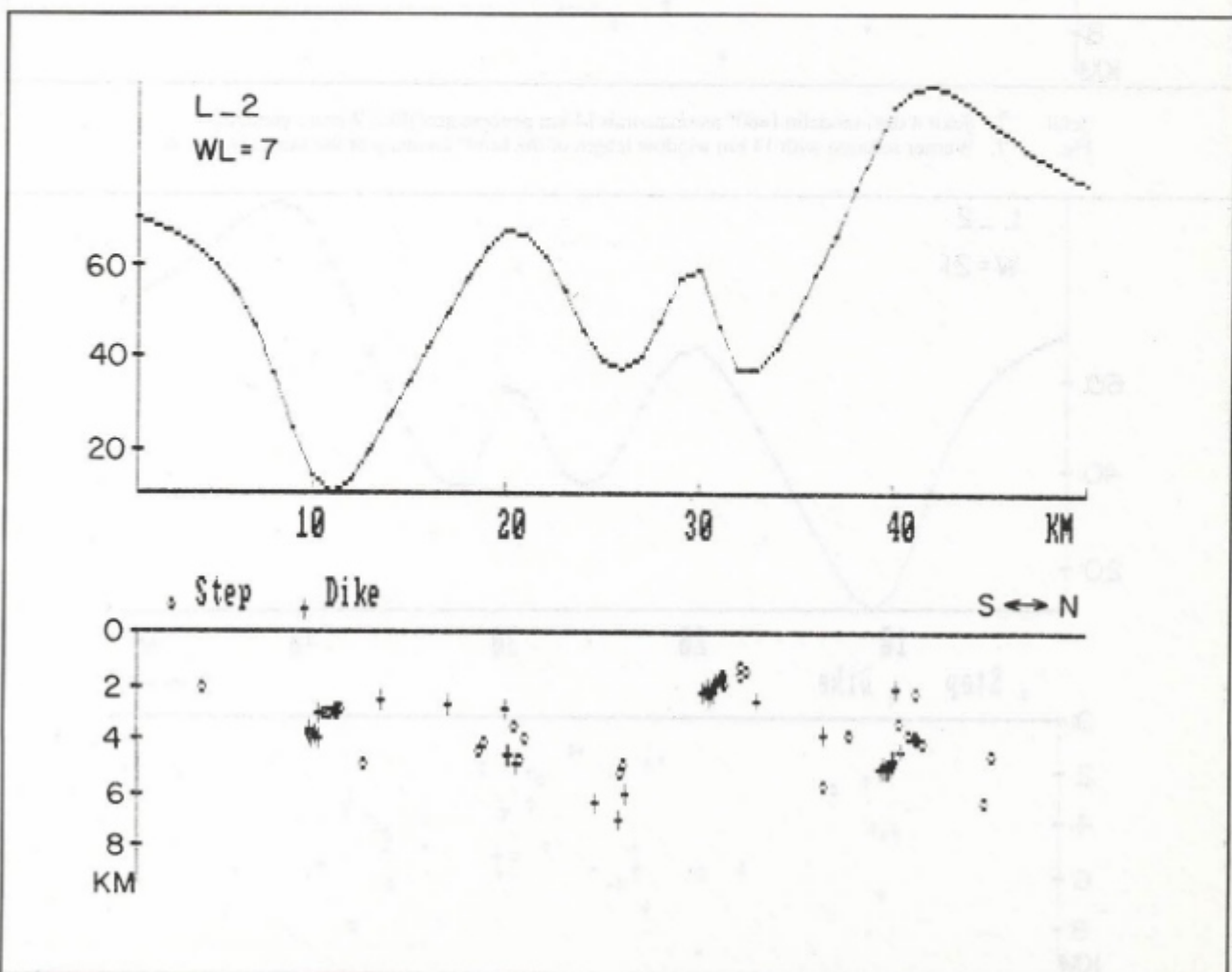
Şekil 3. Basamak model $I=90^\circ$ anomalisinin yatay türevleri.
Fig. 3. Horizontal derivatives of step model anomaly ($I=90^\circ$).



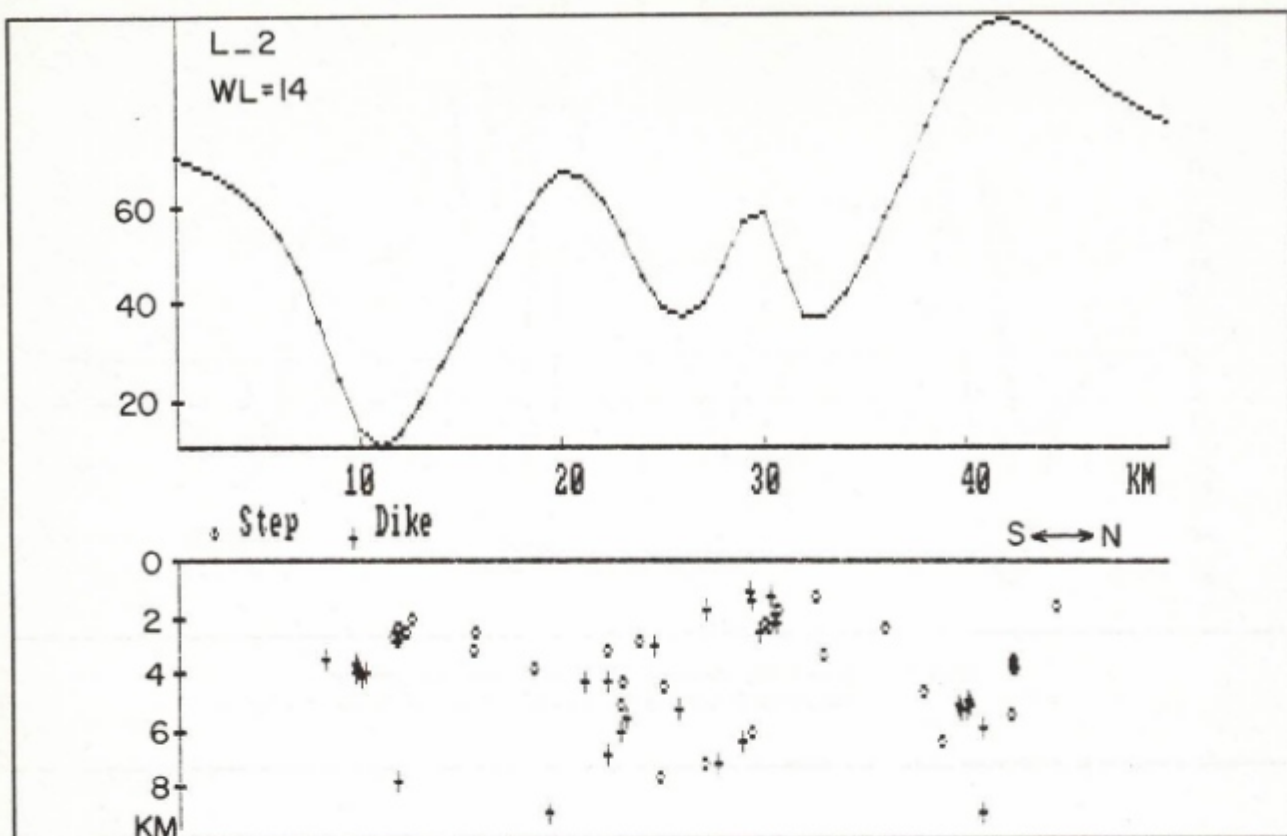
Şekil 4. Bir model ve onun $I=60^\circ$ ve $I=90^\circ$ anomalileri. Yatay Türev çözümleri model üzerine nokta ve üçgenlerle işaretlenmiştir.
Fig. 4. Model and its anomalies for $I=60^\circ$ and $I=90^\circ$. Horizontal derivative solutions marked with dots and triangles on the model.



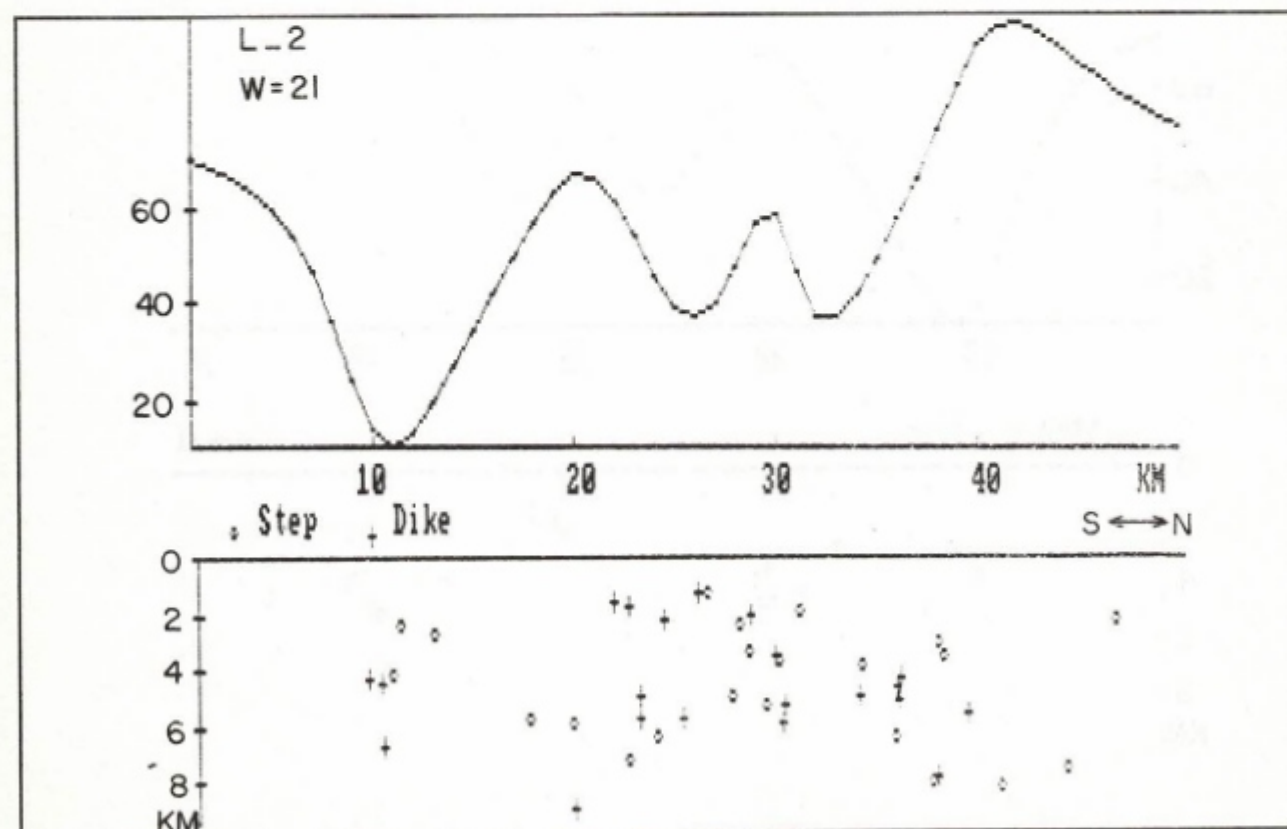
Şekil 5. Şekil 4 deki modelin $I=90^\circ$ anomalisinin yatay türevleri.
Fig. 5. Horizontal derivatives of the $I=90^\circ$ anomaly of the model in fig. 4.



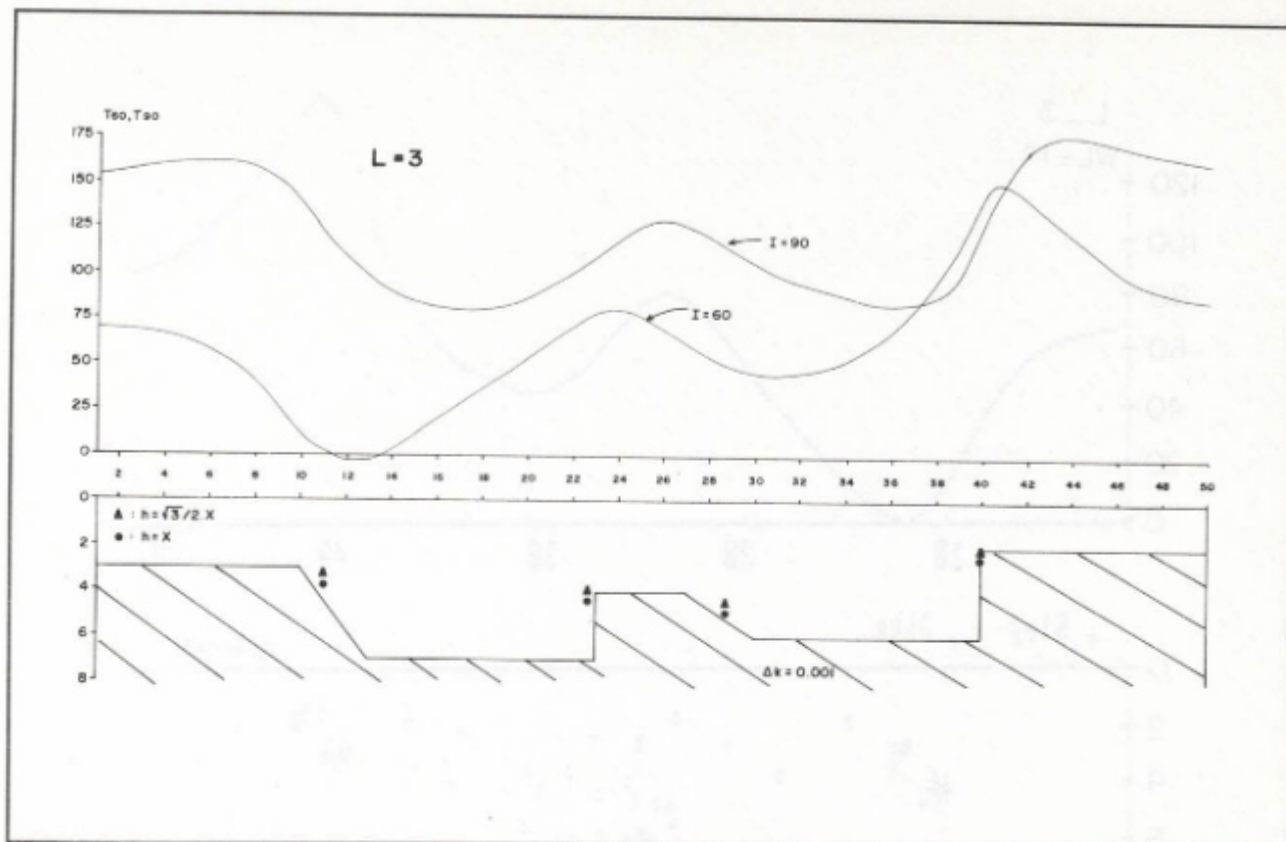
Şekil 6. Şekil 4 deki modelin $I=60^\circ$ anomalisinin 7 km pencere genişlikli Werner çözümü.
Fig. 6. Werner solution with 7 km window length of the $I=60^\circ$ anomaly of the model in Fig. 4.



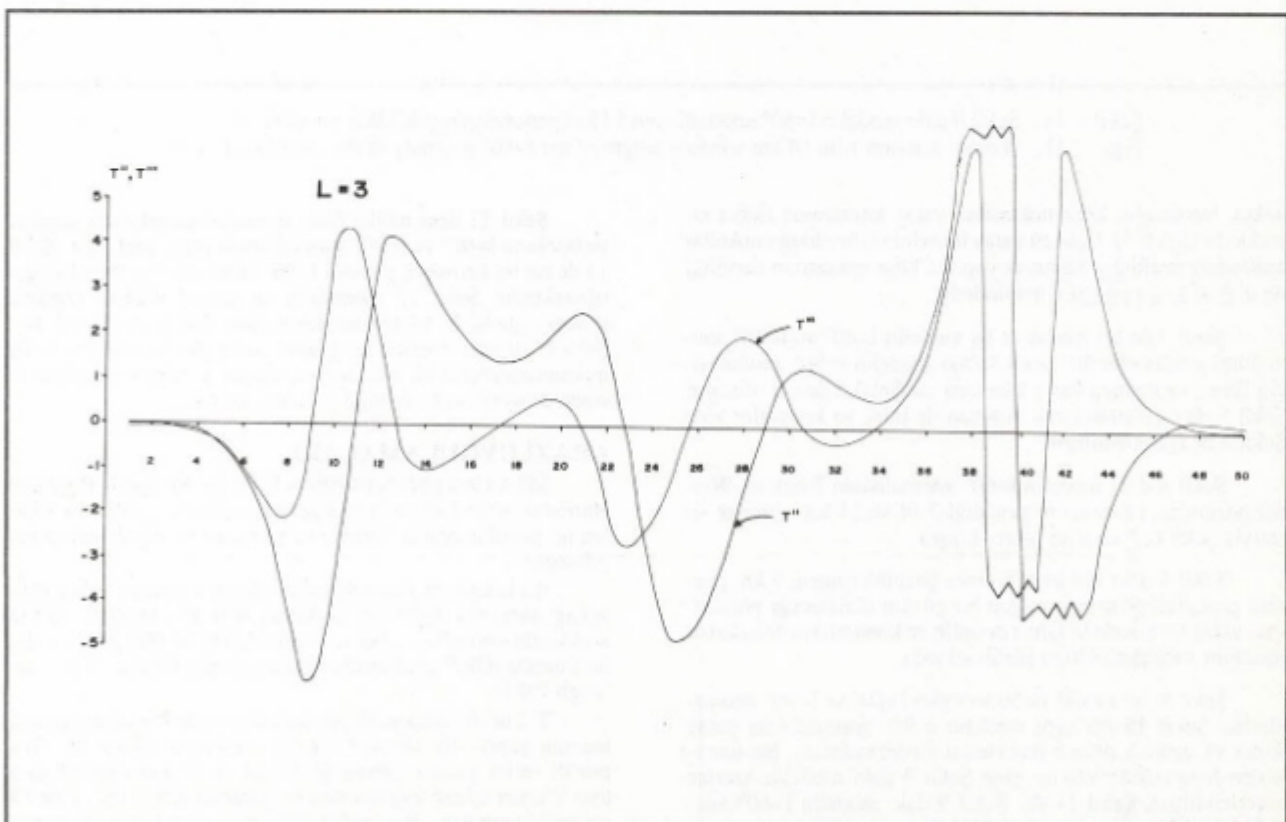
Şekil 7. Şekil 4 deki modelin $I=60^\circ$ anomalisinin 14 km pencere genişlikli Werner çözümü.
 Fig. 7. Werner solution with 14 km window length of the $I=60^\circ$ anomaly of the model in Fig. 4.



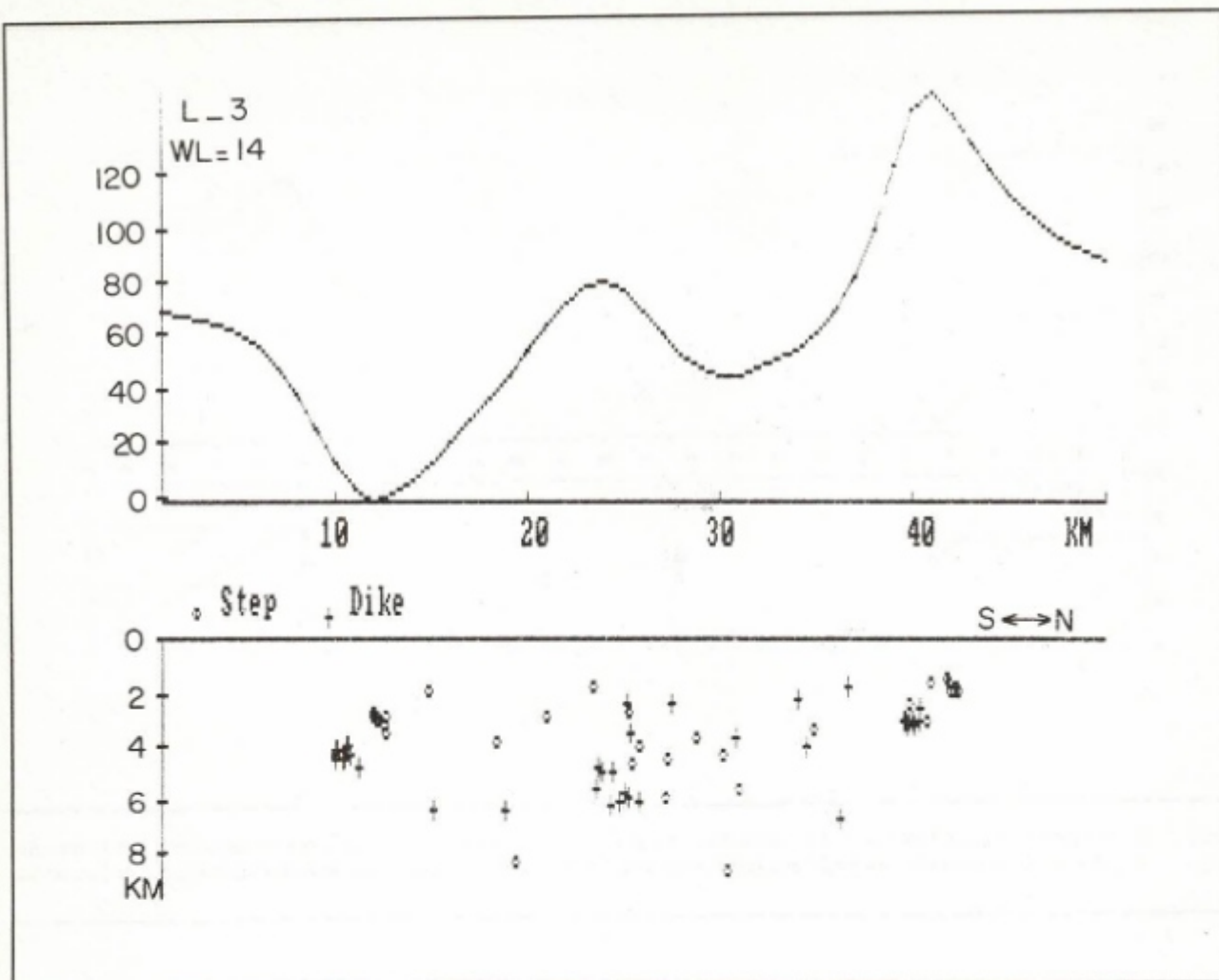
Şekil 8. Şekil 4 deki modelin $I=60^\circ$ anomalisinin 21 km pencere genişlikli Werner çözümü.
 Fig. 8. Werner solution with 21 km window length of the $I=60^\circ$ anomaly of the model in Fig. 4.



Şekil 9. Bir model ve onun $I=60^\circ$ ve $I=90^\circ$ anomalileri. Yatay türev çözümleri model üzerine nokta ve üçgenlerle işaretlenmiştir.
Fig. 9. Model and its anomalies for $I=60^\circ$ and $I=90^\circ$. Horizontal derivative solutions marked with dots and triangles on the model.



Şekil 10. Şekil 9 daki modelin $I=90^\circ$ anomalisinin yatay türevleri.
Fig. 10. Horizontal derivatives of the $I=90^\circ$ anomaly of the model in Fig. 9.



Şekil 11. Şekil 9 daki modelin $I=60^\circ$ anomalisinin 14 km pencere genişlikli Werner çözümü.
Fig. 11. Werner solution with 14 km window length of the $I=60^\circ$ anomaly of the model on Fig. 9.

nokta, basamağın köşe noktasının yatay konumuna isabet etmektedir (Şekil 3). Üçüncü yatay türevinin sıfır olduğu noktalar arasındaki uzaklığın basamak yapının köşe noktasının derinliği ile ilişkisi $h = (\sqrt{3}/2)x$ şeklinde dir.

Şekil 4 de bir model ve bu modelin $I=60^\circ$ ve $I=90^\circ$ anomalileri görülmektedir. Şekil 4 deki modelin $I=90^\circ$ anomalisinin ikinci ve üçüncü yatay türevleri ise Şekil 5 de yer almıştır. Şekil 5 den yararlanılarak bulunan derinlik ve konumlar yine Şekil 4 de işaretlenmiştir.

Şekil 4 deki modelin $I=60^\circ$ anomalisinin 7 noktalı Werner çözümleri ise pencere genişliği 7, 14 ve 21 km alınarak sırasıyla Şekil 6, 7 ve 8 de gösterilmiştir.

Şekil 4 deki modelin Werner çözümlerinden, 7 km pencere genişlikli çözümün uygun bir çözüm olabileceği görülmektedir, yatay türevlerle bulunan derinlik ve konumların daha kabul edilebilir sonuçlar olduğu görülmektedir.

Şekil 9, bir model ve bu modelin $I=60^\circ$ ve $I=90^\circ$ anomalilerini, Şekil 10 ise aynı modelin $I=90^\circ$ anomalisinin yatay ikinci ve üçüncü derece türevlerini göstermektedir. Bu türevlerden bulunan derinlikler yine Şekil 9 daki modelin üzerine işaretlenmiştir. Şekil 11 de, Şekil 9 daki modelin $I=60^\circ$ anomalisinin 14 km pencere genişlikli Werner çözümü görlülmektedir. Türev çözüm sonuçları, basamak yapının dik olmaması halinde de hesaplanan derinlik ve konumların yeterince doğru olduğunu göstermektedir.

Şekil 12 deki model farklı mıknatıslanabilirlikli yapıları ve bunların $I=60^\circ$ ve $I=90^\circ$ anomalilerini göstermektedir. Şekil 13 de ise bu karmaşık yapının $I=90^\circ$ anomalisinin türevleri görülmektedir. Şekil 12 modelinin en makul Werner çözümü pencere genişliği 14 km seçilerek elde edilmiştir (Şekil 14). Şekil 12 de işaretlenen türev çözüm sonuçları, bu teknikin farklı mıknatıslanabilirlikli kütleyelerden oluşan yapıların belirlenmesinde de uygulanabileceğini göstermektedir.

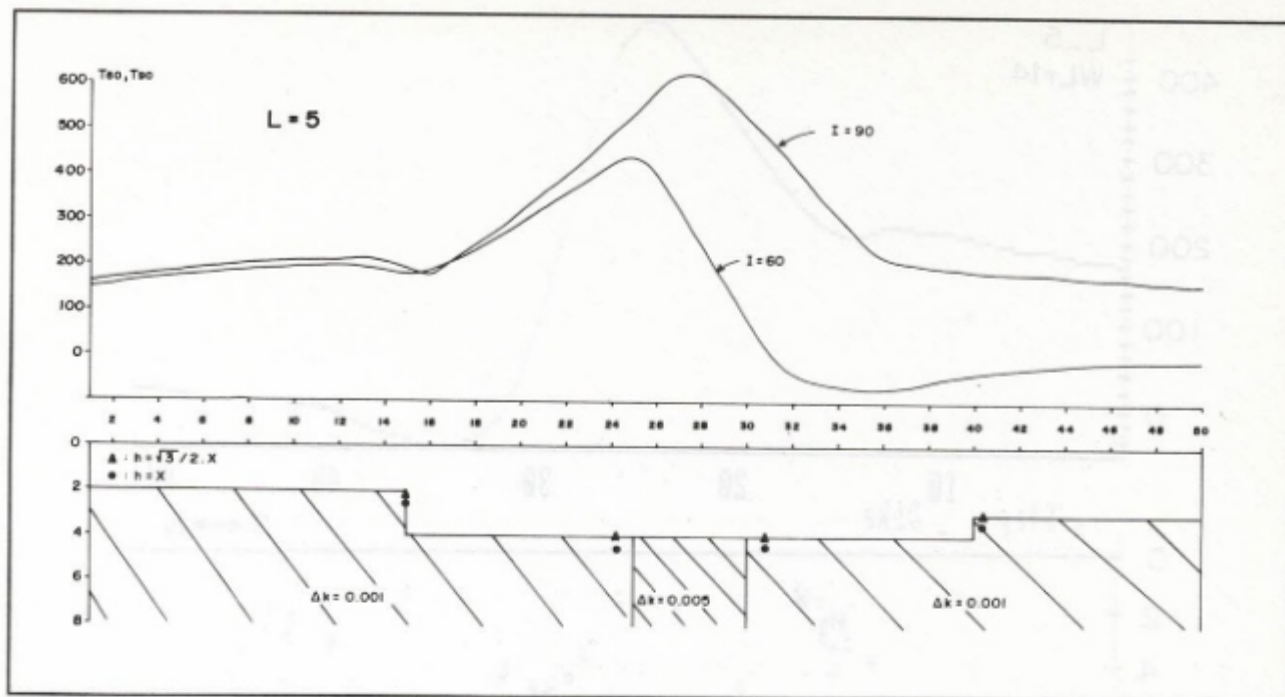
ARAÇ UYGULAMALARI

MTA Genel Müdürlüğü'nün Havadan Manyetik Rejonal Haritalar projesi kapsamında gerçekleştirilen uçuşlardan seçilen iki profil üzerinde Werner ve yatay türev uygulamaları yapılmıştır.

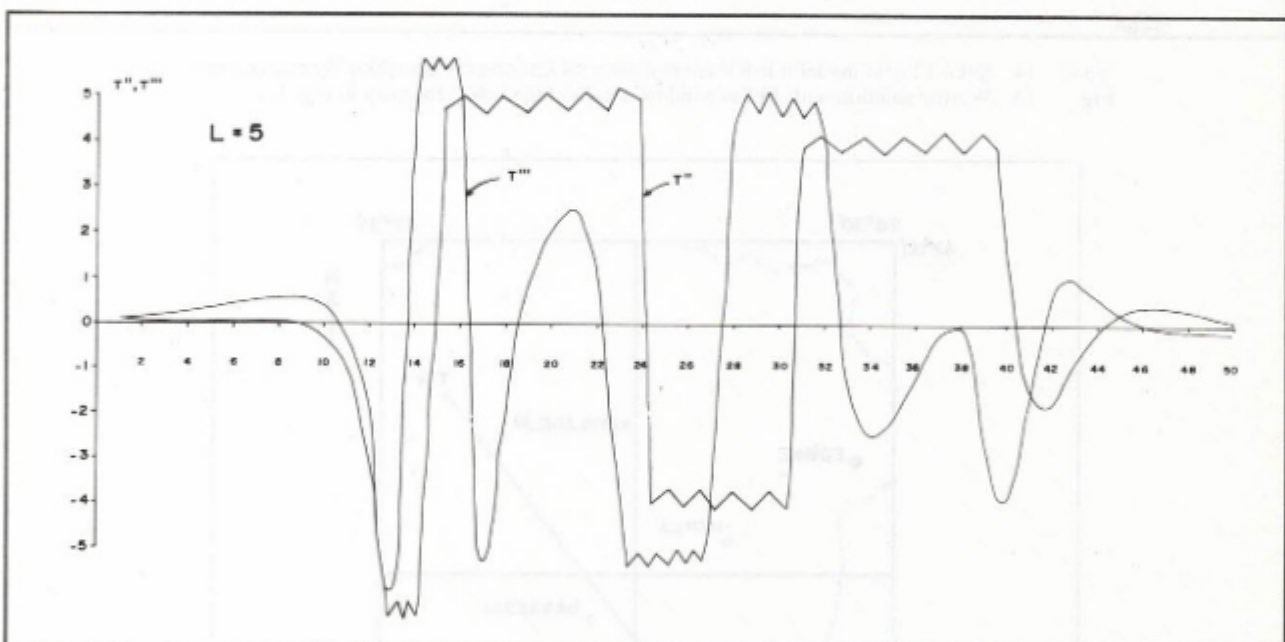
Bu uçuşlarda manyetometre algılayıcısının yerden yükseliği ortalama 2000 feet (yaklaşık 610 m) olmuştur. 250 m aralıklarla sayısalleştirilen verilerden önce 46 000 gamma, daha sonra IGRF gradiyentleri çıkartılmıştır (Malin ve Barracough 1981).

T-2 profili Trakya Bölgesinde Babaeski yükselimi olarak tanınan yapıyı dik kesecek şekilde alınmıştır (Şekil 15). T-2 profili verisi, pencere genişliği 14, 21 ve 35 km alınarak ayrı ayrı Werner işlemi uygulanmış ve sonuçlar Şekil 16, 17 ve 18 de grafiklenmiştir. Bunlardan tam bir yorumlama yapmanın oldukça deneylim gerektirdiği ortadadır.

T-2 profili Bhattacharya (1965) yöntemi ile kutba indirgenmiş verisinin grafiği Şekil 19 da görülmektedir. Kutba



Şekil 12. Bir model ve onun $I=60^\circ$ ve $I=90^\circ$ anomalileri. Yatay türev çözümleri model üzerine nokta ve üçgenlerle işaretlenmiştir.
Fig. 12. Model and its anomalies for $I=60^\circ$ and $I=90^\circ$. Horizontal derivative solutions marked with dots and triangles on the model.



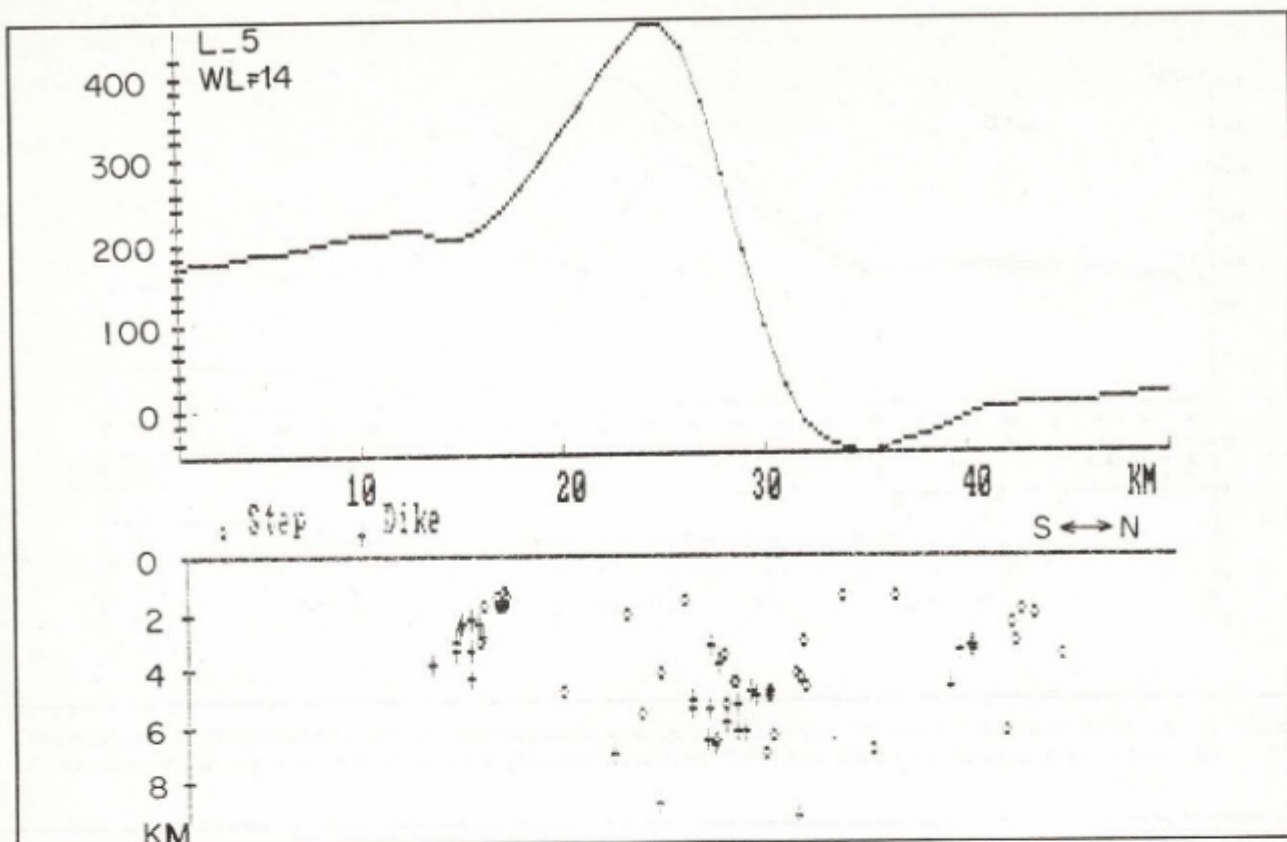
Şekil 13. Şekil 12 deki modelin $I=90^\circ$ anomalisinin yatay türevleri.
Fig. 13. Horizontal derivatives of the $I=90^\circ$ anomaly of the model in Fig. 9.

indirgenmiş verinin yatay ikinci ve üçüncü türevleri ise kübik yay biçimini yaklaştırma yöntemi ile elde edilmiştir (Bhattacharya 1969). Yatay türevlerde bulunan ve anomalileri veren kütllerin köşe noktalarının konum ve derinlikleri Şekil 19 da işaretlenmiştir. Babaeski yükseltiminin 3000 m civarında olan derinliği ve 2000 feet olan uçuş yüksekliği göz önüne alındığında, Şekil 19 da verilen konum ve derinlikler beklenen sonuçlardır.

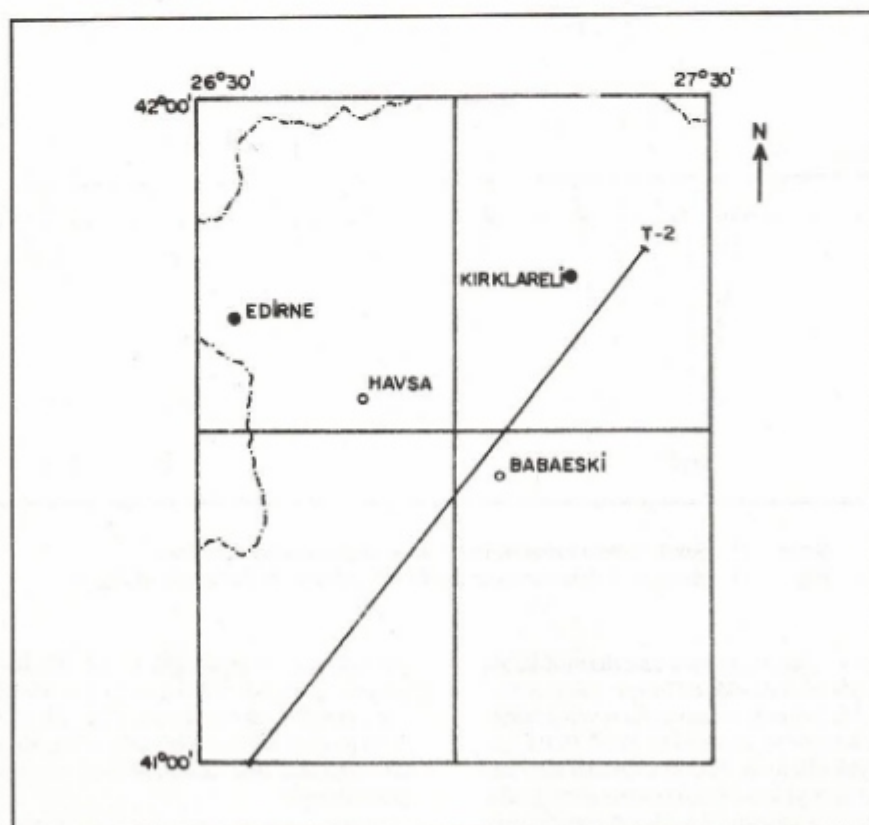
Bir diğer profil Prekambriyen yaşlı temelin yüzlek verdiği ve yükseltim yaptığı Güneydoğu Anadolu'da Derik'den

gececek şekilde seçilmişdir (Şekil 20). Bu profiline verisine de pencere genişlikleri 7, 14 ve 21 km seçilerek Werner çözümü uygulanmıştır. Sonuçlar Şekil 21, 22 ve 23'de gösterilmiştir. Aynı profiline kutba indirgenmiş veri grafiği ile bu verinin yatay türevlerinden elde edilen konum ve derinlikler Şekil 24 de gösterilmiştir.

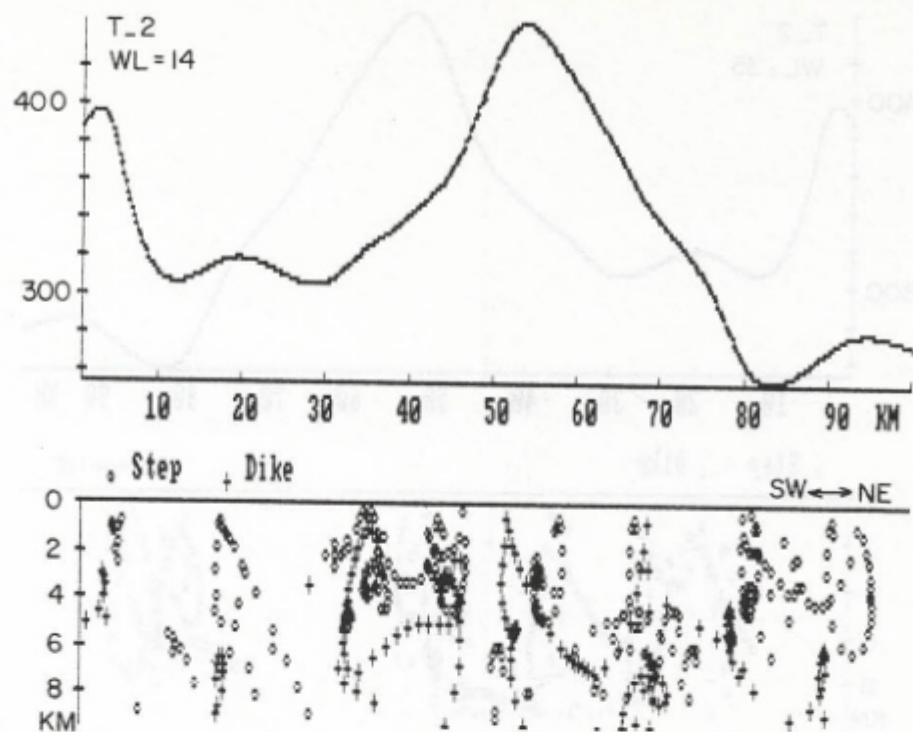
Uçuş yüksekliği göz önüne alınırsa, en uygun Werner çözümü, pencere genişliğinin 14 km seçilmesiyle elde edilmiştir (Şekil 1, 22). Yatay türev ile çözümde benzer sonuçlar vermiştir (Şekil 24).



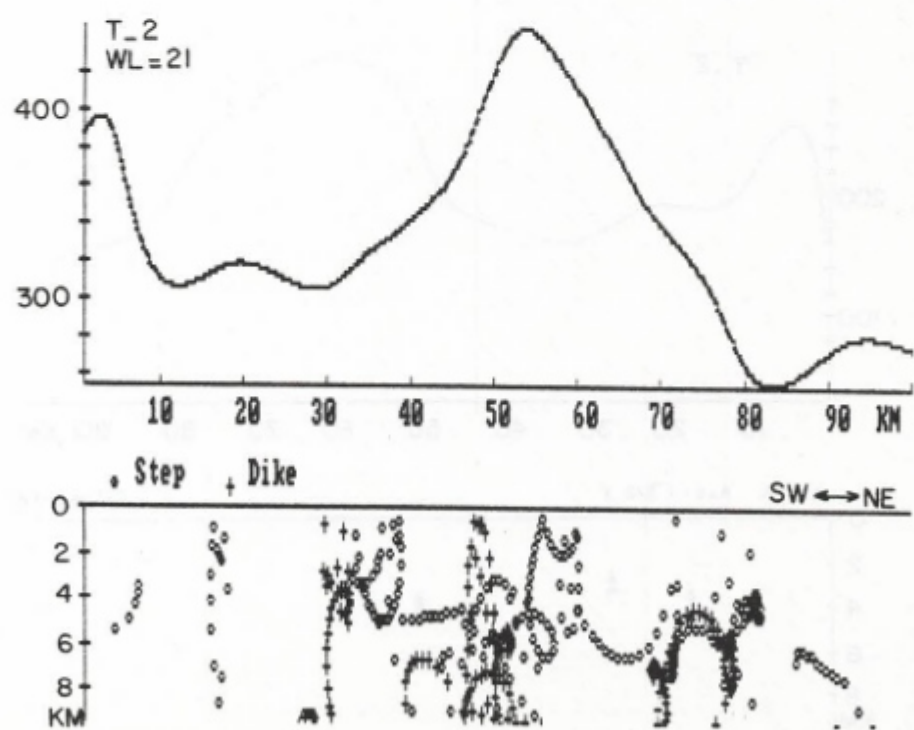
Şekil 14. Şekil 12 deki modelin $I=60^\circ$ anomalisinin 14 km pencere genişlikli Werner çözümü.
Fig. 14. Werner solution with 14 km window length of the $I=60^\circ$ anomaly in Fig. 12.



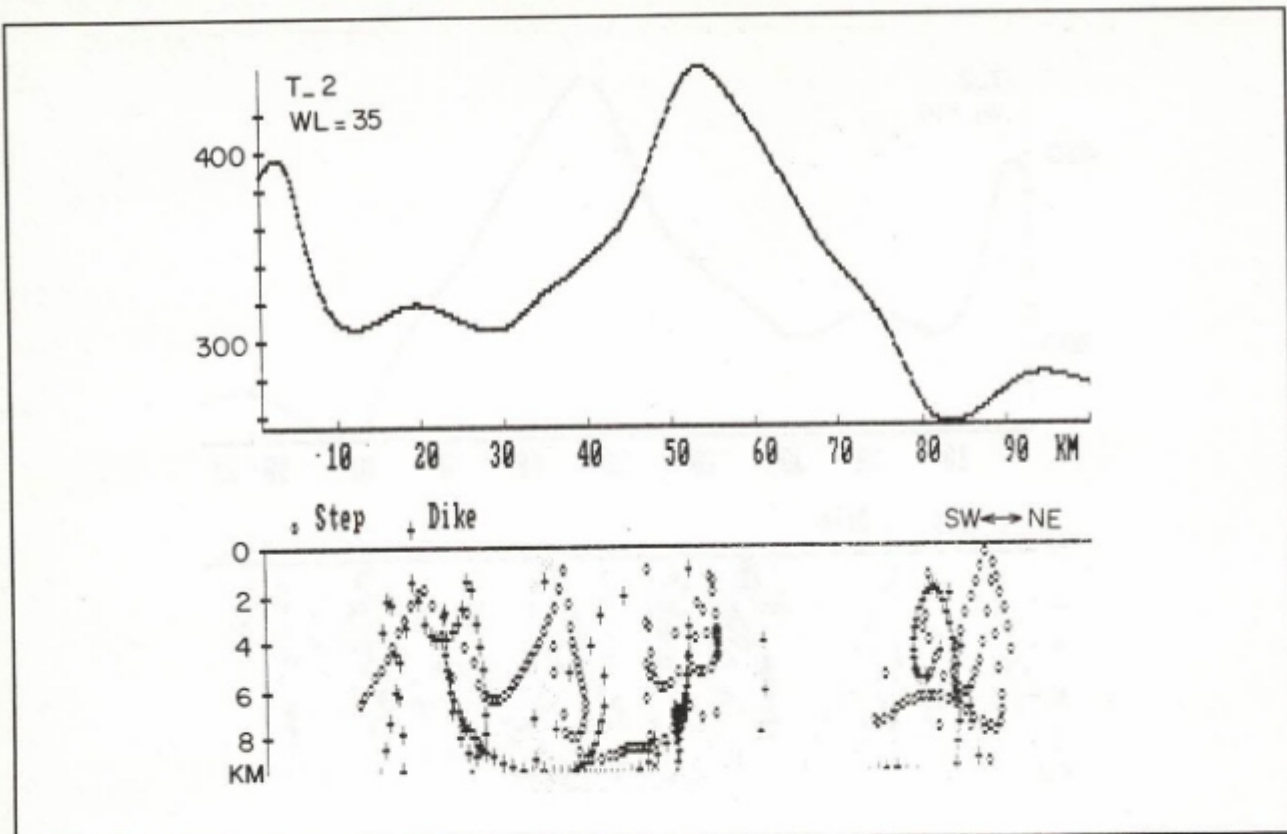
Şekil 15. T-2 profilinin lokasyon haritası.
Fig. 15. Location map of profile T-2.



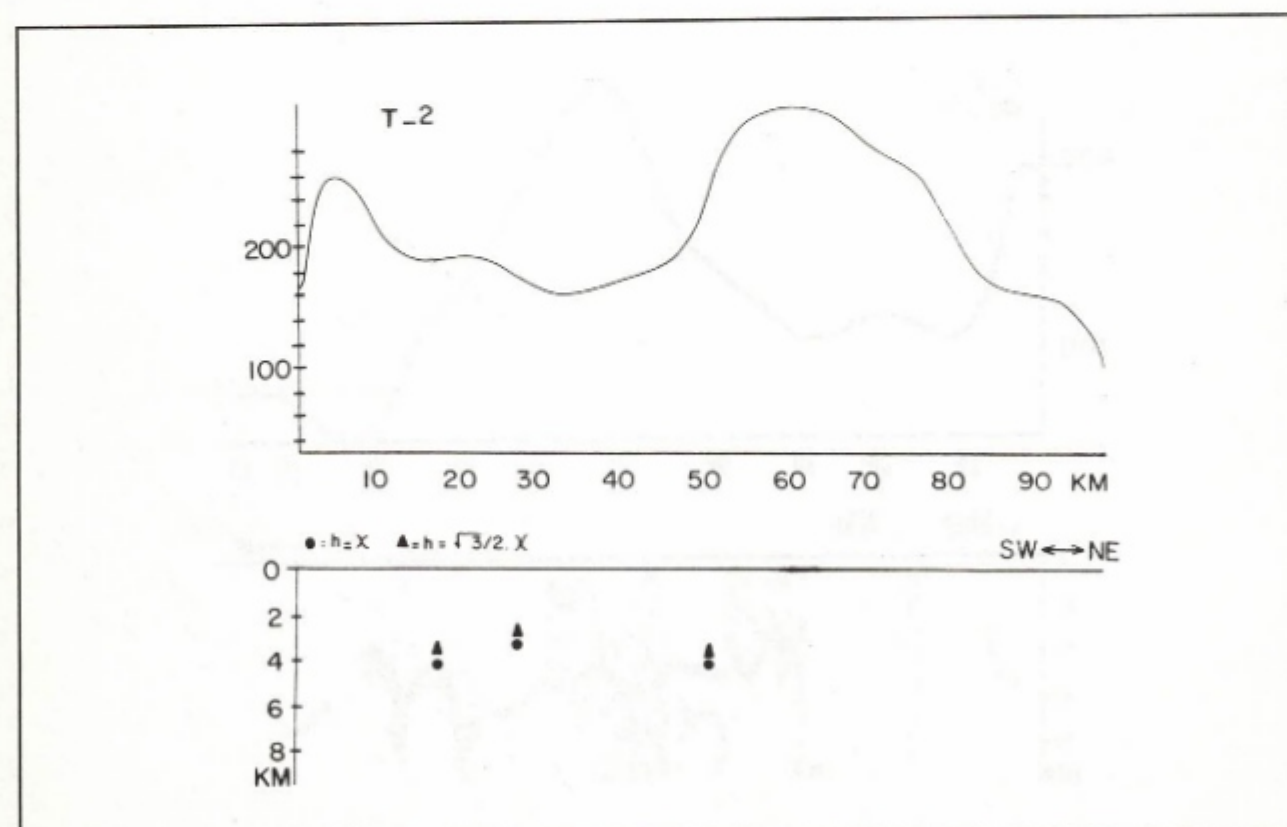
Şekil 16. T-2 profilinin 14 km pencere genişlikli Werner çözümü.
Fig. 16. Werner solution with 14 km window length of profile T-2.



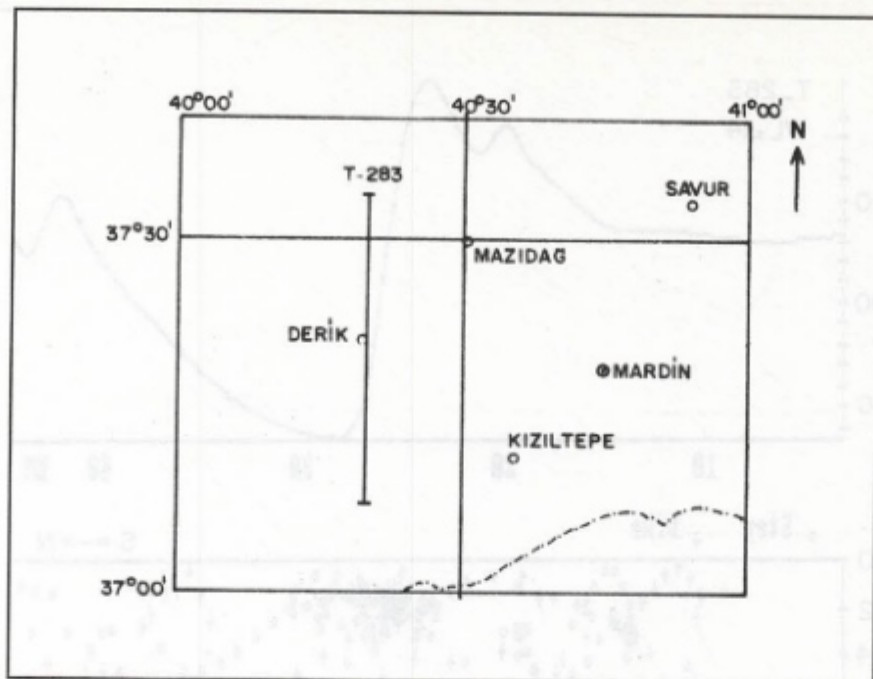
Şekil 17. T-2 profilinin 21 km pencere genişlikli Werner çözümü.
Fig. 17. Werner solution with 21 km window length of profile T-2.



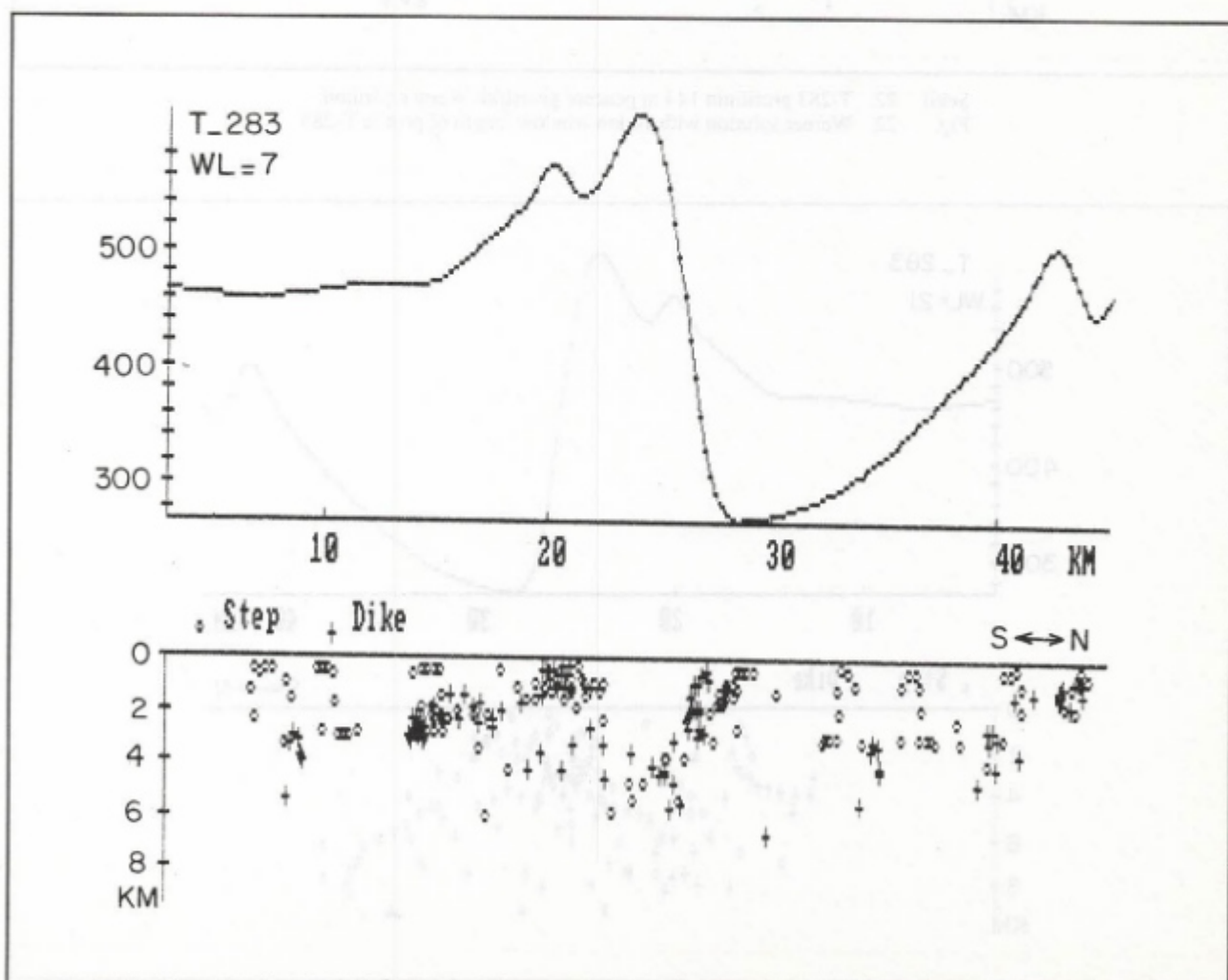
Şekil 18. T-2 profilinin 35 km pencere genişlikli Werner çözümü.
Fig. 18. Werner solution with 35 km window length of profile T-2.



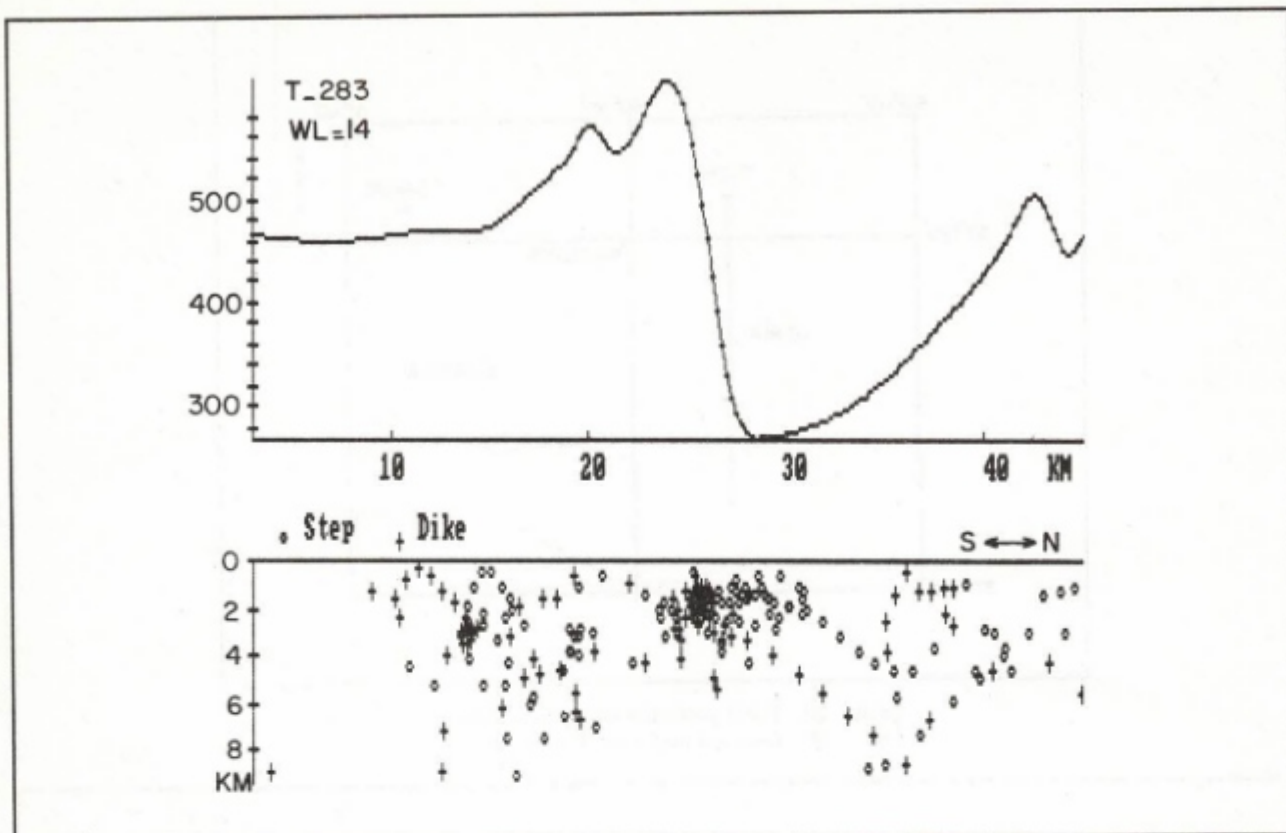
Şekil 19. T-2 profilinin kutba indirgenmiş anomalisi ve onun yatay türev çözümü sonuçları.
Fig. 19. Pole reduced anomaly of profile T-2 and its horizontal derivative solution results.



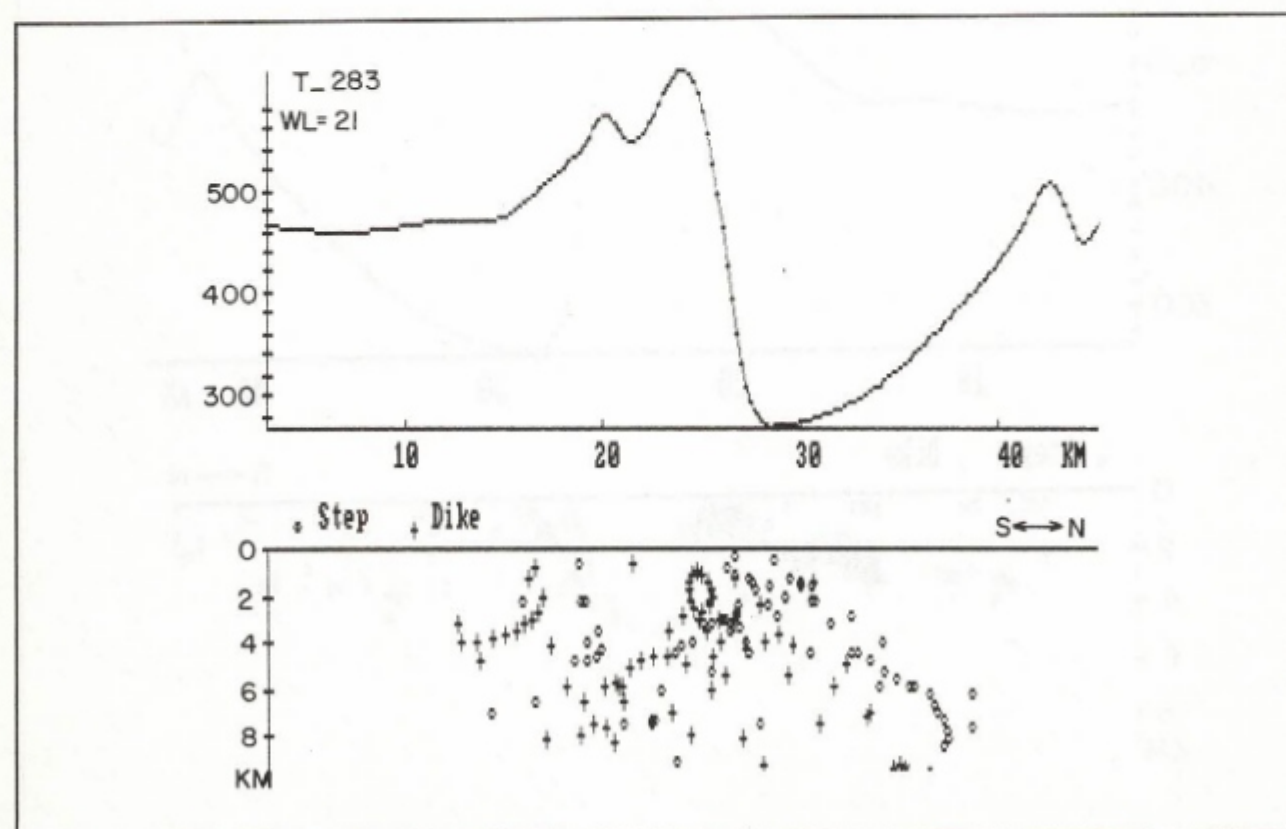
Şekil 20. T-283 profilinin lokasyon haritası.
Fig. 20. Location map of profile T-283.



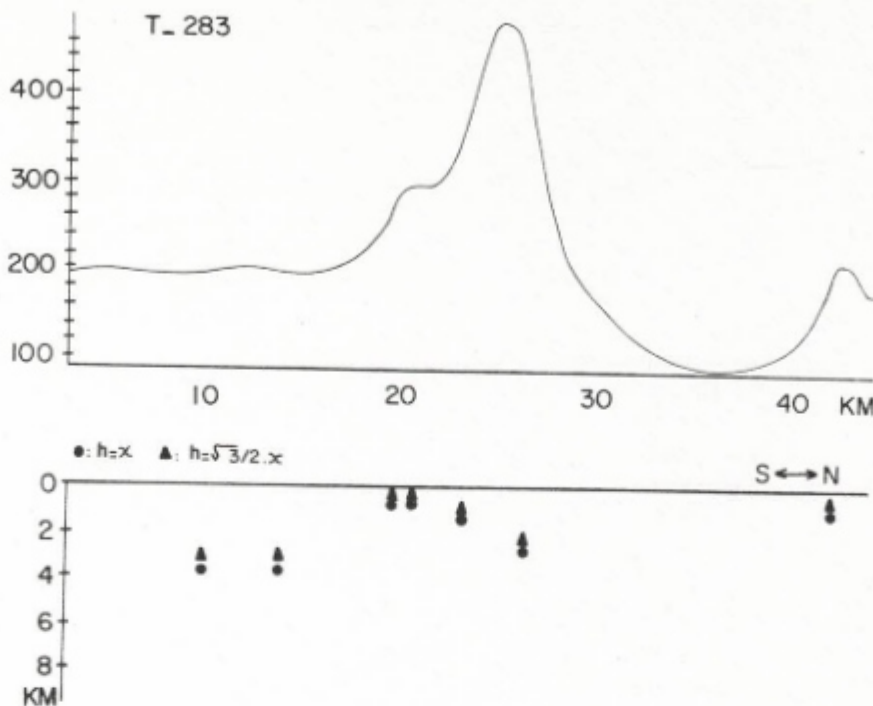
Şekil 21. T-283 profilinin 7 km pencere genişlikli Werner çözümü.
Fig. 21. Werner solution with 7 km window length of profile T-283.



Şekil 22. T-283 profiliinin 14 km pencere genişlikli Werner çözümü.
Fig. 22. Werner solution with 14 km window length of profile T-283.



Şekil 23. T-283 profiliinin 21 km pencere genişlikli Werner çözümü.
Fig. 23. Werner Solution with 21 km window length of profile T-283.



Şekil 24. T-283 profilinin kutba indirgenmiş anomalisi ve onun yatay türev çözümü sonuçları.
Fig. 24. Pole reduced anomaly of profile T-283 and its horizontal derivative solution results.

SONUÇLAR

Werner teknigi gerek uygulama kolaylığı gerek kuramsal sadeliği yönleriyle manyetik temel derinliği hesaplamalarında en sık başvurulan bir tekniktir. Ancak, seçilen pencere genişliğinin anomali veya anomalilerin dalga boyları kadar olmaması halinde, bulunan sonuçlar bazı kararsızlıklar doğabilmekte ve yorumlama için oldukça iyi bir deneyim gerektirmektedir. Bu yüzden uygulamalarda pencere genişlikleri birkaç kez değiştirilerek sonuç alınmaya çalışılmaktadır. Bu nedenlerle Werner tekniginin başka bir teknikle desteklenmesi gerekmektedir.

Önerilen yatay türev teknigi, Werner teknigini destekleyici bir rol üstlenebileceği gibi tek başına da kullanılabilir. Yatay türev çözümlemesinde de bazı sorunlar vardır. Bunların en önemlisi, ince dayak durumunda veya verinin çok seyrek olarak toplanması durumunda, dayın kalınlığının gerçekten daha fazla olarak bulunmasıdır (Şekil 4, 5). Bu da ikinci türevin sıfır olduğu yerlerin kütle köşesi olarak kabul edilmesinden ileri gelebilmektedir.

KAYNAKLAR

- Behrendt, J. C. and Klitgord, K. D. 1980, High-Sensitivity aeromagnetic survey of the U.S. Atlantic continental margin, *Geophysics* 45, 1813-1846.
- Bahattacharya, B.J. 1965, Two dimensional harmonic analysis a tool for magnetic interpretation, *Geophysics* 30, 829-857.
- Bhattacharya, B.K. 1969, Bicubic spline interpolation as a method for the treatment of potential data, *Geophysics* 34, 402-423.
- Hartman, R. R., Tesky, D.J. and Friedberg, J.L. 1971, A System for rapid digital aeromagnetic interpretation, *Geophysics* 36, 891-918.
- Hjelt, S.E. 1973, Experiences with automatic magnetic interpretation using the tick plate model, *Geophysical Prospecting* 21, 243-265.
- Jain, S. 1976, An automatic method of direct interpretation of magnetic models, *Geophysics* 41, 531-541.
- Johnson, W.W. 1969, A Least squares method of interpreting magnetic anomalies caused by two dimensional structures, *Geophysics* 34, 65-75.
- Keating, P.B. and Pilkington, M. 1990, An automated method for interpretation of magnetic vertical gradient anomalies, *Geophysics* 55, 336-343.
- Kilty, K.T. 1983, Werner deconvolution of profile potential field data, *Geophysics* 48, 234-237.
- Kaulomzine, T., Lamontagne, Y. and Nadeau, A. 1970, New methods for the direct interpretation of magnetic anomalies caused by inclined dikes of infinite length, *Geophysics* 35, 812-830.
- Malin, S.R.C. and Barraclough, D.R. 1981, An algorithm for synthesizing the geomagnetic field, *Computers and Geosciences* 7, 401-405.
- Mc Grath, P.H. and Hood, P.J. 1970, The dipping dike Case: a computer curve matching method of magnetic interpretation, *Geophysics* 35, 831-848.
- Naudy, H. 1971, Automatic determination of depth on aeromagnetic profiles, *Geophysics* 36, 717-722.
- O'Brien, D. 1972, Compu Depth, a new method for depth-to-basement computation, Presented at the 42 nd Int. meeting of SEG in Anaheim, California.
- Peters, L. J. 1949, The direct approach to magnetic interpretation and its practical applications, *Geophysics* 14, 290-320.
- Philips, J.D. 1978, ADEPT: A Program to Estimate Depth to Magnetic Basement From Sampled Magnetic Profiles. U.S. Geological Survey, Reston, Virginia.
- Reid, A.B., Allsop, J.M., Granser, H., Millett, A.J. and Somerton, I.W. 1990, Magnetic interpretation in three dimensions using Euler deconvolution, *Geophysics* 55, 80-91.
- Talwani, M. and Heirtzler, J.R. 1964, Computation of magnetic anomalies caused by two dimensional structures of arbitrary shape, In Computers in the mineral industries, Part 1, Stanford Univ. Publ. 9, 464-480.
- Thompson, D.T. 1982 EULDPH: A new technique for making computer-assisted depth estimates from magnetic data, *Geophysics*, 47, 31-37.
- Werner, S. 1953, Interpretation of magnetic anomalies at sheetlike bodies, *Sver. Geol. Undersok. Ser.C.C. Arsbok* 43, N: 06.

MARMARA DENİZİ GRAVİTE VE MANYETİK VERİLERİNİN FOURIER ANALİZLERİYLE DEĞERLENDİRİLMESİ

Interpretation of Gravity and Magnetic Data of the Marmara Sea Using Fourier Transforms

Fatih M. ADATEPE*

ÖZET

Bu çalışma, Marmara Denizinin gravite ve manyetik verilerinin Fourier Analizleriyle değerlendirilerek bölge-deki sağlam yapıların ortalama derinliklerinin hesaplanması ve yapı modellerinin belirlenmesini amaçlamaktadır.

Bölgenden Jeolojik önemi tektonik rejimiyle ilgiliidir. Marmara Denizi, Kuzey Anadolu Fay Zonu'nun yanal hareketi ile Ege graben sistemlerinin karşılaştığı bir bölge görünümündedir.

ABSTRACT

The purpose of this study is to evaluate structural models and average depths of shallow features in Marmara Sea region by Fourier Transforms of gravity and magnetic data.

The importance of the region from geological point of view is related with its tectonic regimen. The lateral movement of the North Anatolian Fault Zone and graben systems in Aegean region cross each other in the Marmara Sea region.

GİRİŞ

Marmara Denizi ve çevresi ile ilgili Jeofizik çalışmalarının çoğu, Kuzey Anadolu Fay Zonunun Marmara Denizi ve çevresindeki faylarla olan ilişkisinin belirlenmesine yönelikdir (Ekingen 1973, Kavlakoğlu ve Özakay 1978, Sipahioğlu 1984, Şengör ve diğ. 1985, Kiyak 1986, Gündoğdu 1984, Barka 1987). Ayrıca gravite, manyetik, manyetotellürik verilere çeşitli spektrum yöntemleri uygulanarak ve sismik patlamalardan yararlanılarak bölgenin kabuk özelliklerinin belirlenmesi amaçlı çalışmalar da yapılmıştır (Dedehayır 1976, Kavlakoğlu ve Özakay 1978, Gürbüz ve diğ. 1980, İlkişik 1981, Hökelekli 1981, Yörük 1983, Oral ve Canitez 1987).

Özellikle son yıllarda petrol ve gaz aramalarına yönelik çalışmalarla da bölge hakkında daha ayrıntılı ve sağlıklı bilgi birikimi oluşturulmuştur.

Bu çalışmada kullanılan Fourier dönüşüm teknikleri de birçok araştırmacı tarafından çeşitli amaçlar için uzun zamandan beri kullanılmıştır (Bhimasankaram et. al. 1978, Babu et. al. 1980, Yahsi 1983, Adatepe ve Demirel 1987).

MARMARA DENİZİNİN JEOLOJİSİ

Marmara Denizi'nin yakın çevresi, Türkiye'nin diğer bölgelerine göre yapısı en çok çalışılan ve bilinen bölgesi niteliğindedir. Özellikle, denizin kuzeyini kaplayan Trakya Hav-

zasi'nda son 50 yıldan beri yapılan petrol ve gaz aramalarına yönelik çalışmalar, bölgenin jeomorfolojisini ve jeolojisine ait ayrıntılı bilgiler sağlamıştır. Bu havza, kuzey ve kuzeydoğu Istranca (Yıldız) Dağları, batıda Rodop Masifi ve güneyde Biga, Kapıdağı, Marmara Adaları ve Samanlıdağ masifleriyle çevrilmiş, Marmara Denizini de kısmen içerisinde alan büyük ve derin bir gökelleme çanağı olarak tanımlanmıştır (Ketin 1983). Marmara'nın geçmişi sağlam sualtı sualtı niteliği gösterdiği ve bugün bazı yörelerinde 1000 metreyi aşan tortul birikimi oluşturduğu bilinmektedir. Bu durumun deniz dibinin giderek alçalmasıyla yanı torbalamasıyla olası olabileceği belirtilmiştir (Erinç 1986).

Marmara Havzası jeolojisinin konumuz açısından en önemli özelliği tektonik yapısıdır. Bilindiği gibi havza, Kuzey Anadolu Fay Zonu'nun (KAFZ) sağ yönlü hakim yanal atımlı hareketi ile Ege'deki kuzey-güney açılma ve doğu-batı graben gelişmesi arasında anahtar görevi üstlenmiştir. Bölgenin kırık ve lineasyon hatlarının genelde birbirini kesen birkaç sisteme oluştuğu belirlenmiştir (Erinç ve diğ. 1984, Şengör ve diğ. 1985, Kiyak 1986, Gündoğdu 1986, Barka 1987).

Bu nedenle, özellikle eğim atımlı normal fayların büyük ölçüde ve çok sayıda geliştiği bölgelerde, aynı doğrultuda faylanmaların yer aldığı dar ve uzun grabenler oluşmuştur. Bunların en önemlilerini Izmit ve Gemlik Körfezi'nde görmek olanaklıdır. Ayrıca, Marmara Denizi'nde büyük olasılıkla faylarla gelişmiş üç çukurdan söz edilmelidir.

* İstanbul Üniversitesi Deniz Bilimleri ve Coğrafya Enstitüsü, İstanbul

KULLANILAN YÖNTEMLER

Çalışmada tek ve iki boyutlu Fourier analizi teknikleri kullanılmıştır. Zamanın ve yerin bir fonksiyonu olan Jeofizik veriler, birden fazla sinyalin üst üste binmiş şeklini içerirler. Bu sinyallerin frekanslarından da birbirinden farkı olacağı aksıktır. Küteler hakkında bilgi edinmek için eldeki verinin, frekans ortamına dönüştürülerek incelemesi düşünülebilir (Spector and Grant 1970, Davis 1973). Kütelerin zaman ortamındaki yanıtını, frekans ortamına dönüştürmek için, bir dönüşüm tekniğine gereksinme duyulur.

Bu çalışmada Fourier dönüşüm tekniği kullanılmıştır. Bu teknik, doğal kaynaklı veriler kullanılarak, kütelerin derinliklerinin kestirimine olanak sağlamaktadır. Ayrıca yöntemin uygulanması sırasında trend analizi yapılmıştır. Fourier analizlerinden sonra, güç spektrumundan faydalamlarak kütelerin ortalaması derinlikleri bulunmuştur. En son aşamada da Marmara Denizi yapı modelleri elde edilmiştir.

Tek ve iki boyutlu Fourier dönüşüm teknikleri bilinen bağıntıları içerdikinden burada tekrarlanmayacaktır. Buna karşılık güç spektrumundan yararlanarak derinlik saptanmasını açıklamak yararlı görülmüştür. Genel olarak farklı doğrultu ve derinlikteki çeşitli kütelerin tümünün neden olduğu anomaliden enerji veya güç spektrumu elde edebileceğİ Bhattacharyya'nın (1966) yaklaşımıyla ortaya konulmuştur. Yine prizmatik cisim parametrelerinin spektrum üzerindeki etkileri Spector ve Grant (1970) tarafından verilmiştir. Ayrıntısı ilgili yazınlarda bulunan güç spektrumu bağıntısını dalga boyuna (r) bağlı olarak yazmak olanaklıdır. Buradan logaritması alınan bağıntı;

$$\ln G(r) = -2hr + C$$

şeklinde gösterilir ve bir doğru denklemini verir. Bu doğrunun eğimi ($-2h$) dır. Buradan elde edilecek olan (h) ise, ortalaması derinliği vermektedir.

Güç spektrumunun doğal logaritmaları açısal frekansa (w) karşı çizilirse, "h derinliği";

$$h = \frac{1}{2} \cdot \frac{\ln G}{w}$$

bağıntısından hesaplanabilir (Sanver 1974). Burada,

$$w = \frac{2}{n \cdot T}$$

ve n ; profil boyu (veya kare bölgelerin kenar uzunluğu), T ; örnekleme aralığı \times Ölçek olmak üzere derinliktr.

UYGULAMA

Önceki bölümde algoritması anlatılan yöntemler Marmara Denizi'nin gravite ve manyetik verilerine uygulanmıştır. Buna göre gravite çalışmalarında; iki boyutlu Fourier dönüşümü Harita Genel Komutanlığı'nın 1:1.000.000 ölçekli haritasına, tek boyutlu Fourier dönüşümü ise Maden Tektik ve Arama Genel Müdürlüğü (MTA) 1:100.000 ölçekli anomali haritasına uygulanmıştır. Manyetik çalışmaların her ikisi de MTA'nın 1:200.000 ölçekli havadan manyetik anomali haritası üzerinde yapılmıştır. Sözü edilen tek boyutlu Fourier spektrum analizinin uygulanacağı gravite ve manyetik haritalardan anomaliler göz önüne alınarak konumları Şekil 1'de verilen profiller almıştır.

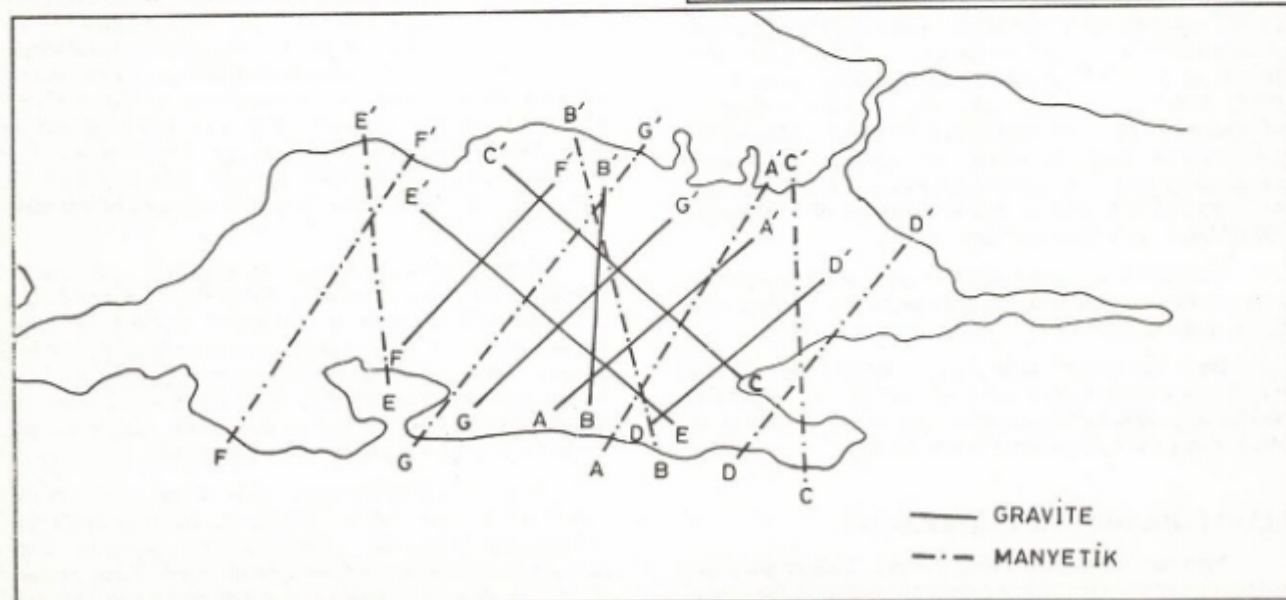
Ayrıca her iki haritaya ait ikişer adet (Gravite: AA' ve DD', Manyetik: FF' ve GG') profil örnek olarak verilmiştir (Şekil 2).

Profiller Nyquist kuralına uygun olarak 1 cm aralıklarla sayısal hale getirilmiş, oto-korelasyon fonksiyonlarından yararlanılarak güç spektrumları elde edilmiştir. Daha sonra Tukey penceresi kullanılarak sonuçlar süzgeçlenmiştir. Şekil 3'de, Şekil 2'de verilen bu profillerin güç spektrumları gösterilmiştir.

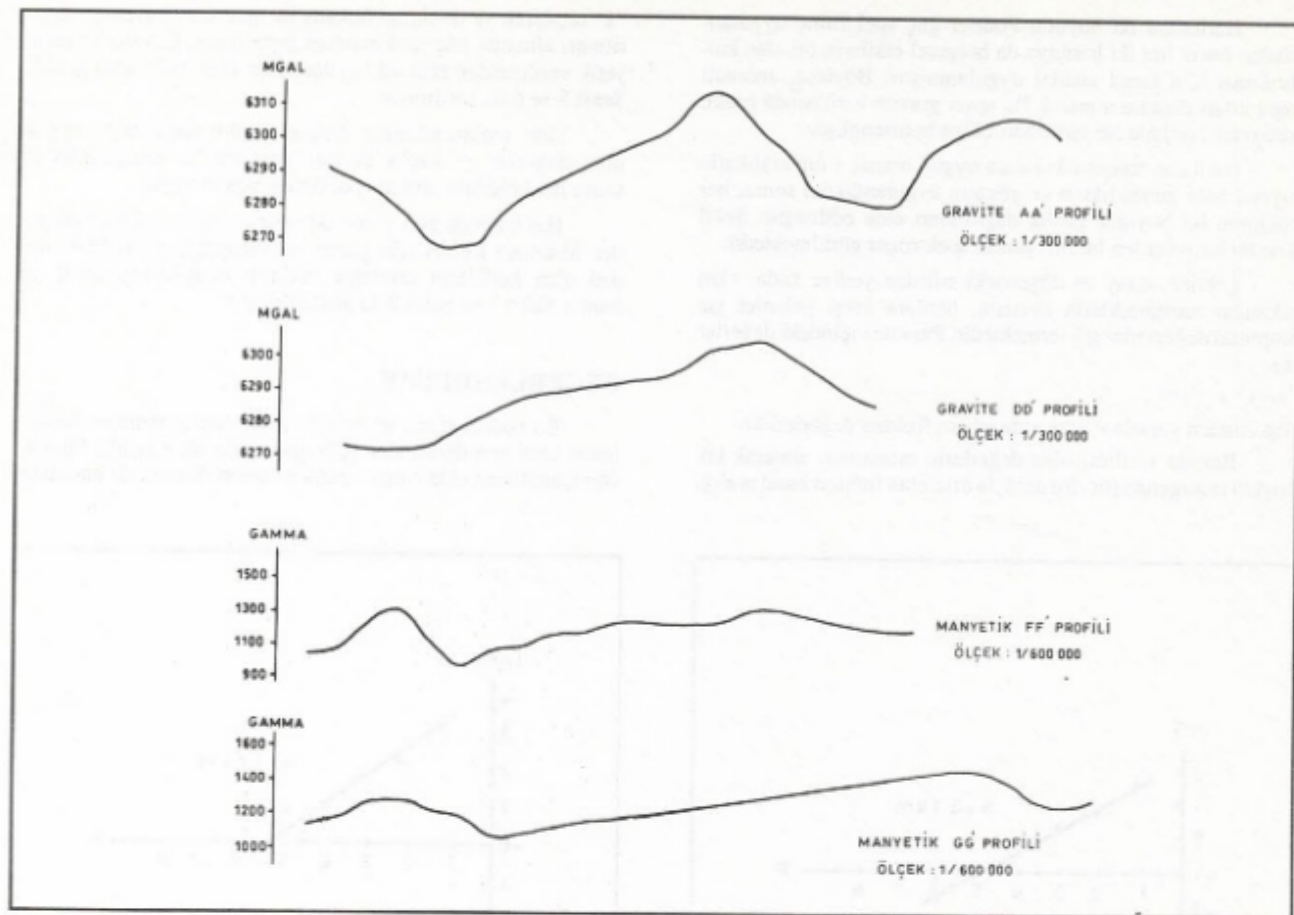
Güç spektrumlarının frekansa göre dağılısına uygun olan doğrular, en küçük kareler yardımıyla hesaplandıktan sonra derinlikler saptanmış ve bunlar Çizelge 1'de verilmiştir.

Çizelge 1. Tek boyutlu Fourier dönüşümü ve güç spektrumu sonucu elde edilen ortalama derinlikler

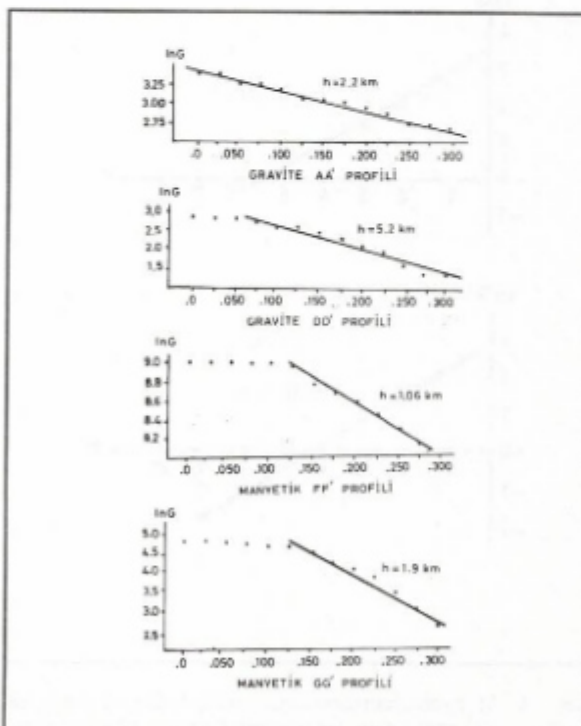
PROFILLER	DERİNLİKLER (KM)	
	GRAVİTE	MANYETİK
AA'	2.2	1.6
BB'	2.3	1.2
CC'	5.7	-
DD'	5.2	1.5
EE'	4.0	0.4
FF'	4.2	1.1
GG'	3.4	1.9



Şekil 1. Tek boyutlu Fourier spektrum analizinin uygalandığı gravite ve manyetik profillerin konumları.
Fig. 1. Locations of gravity and magnetic profiles where spectral analysis was applied.



Şekil 2. İnceleme alanının gravite ve manyetik haritalarından alınan örnek profileri
Fig. 2. Example profiles taken from the gravity and magnetic maps of the study area.



Şekil 3. Gravite ve manyetik profilerlerinden elde edilen güç spektrumlarının frekansa göre değişimi
Fig. 3. Shape of the power spectra estimated from gravity and magnetic data versus frequency.



Şekil 4. Bölgelerden birine ait iki boyutlu genlik spektrumu
Fig. 4. Two-dimensional amplitude spectrum

Haritalara iki boyutlu Fourier güç spektrumu uygulanmadan önce; her iki haritaya da bölgelerin ortadan kaldırılması için trend analizi uygulanmıştır. Böylece, anomali kapantıları dikkate alınarak Bouguer gravite haritasında oniki, manyetik haritada ise yirmidört bölge belirlenmiştir.

Haritalar Nyquist kuralına uygun olarak 1 cm aralıklarla sayısal hale getirildikten ve yöntem uygulandıktan sonra, her bölgenin iki boyutlu genlik dağılımları elde edilmiştir. Şekil 4'de bu bölgelerden birinin genlik spektrumu görülmektedir.

Şekilde yatay ve düşeydeki sıfırdan yediye kadar olan rakamlar harmoniklerin sayısını, bunlara karşı gelenler ise amplitüd değerlerini göstermektedir. Parantez içindeki değerler ise

$$f = (x^2 + y^2)^{1/2}$$

ilişkisinden yararlanılarak elde edilen frekans değerleridir.

Burada verilmiş olan değerlerin ortalaması alınarak tek boyuta indirgenmiştir. Bu amaçla ortalama frekans band aralığı

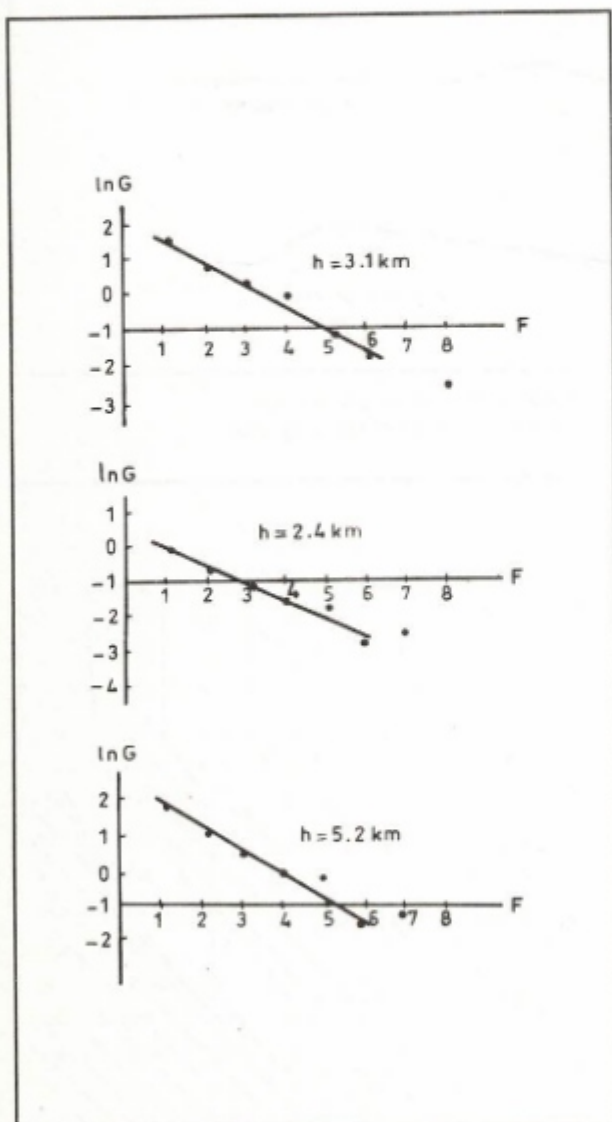
"1" seçilerek ve ortalama frekans ile genlik değerlerinin logaritmaları alınarak güç spektrumuna geçilmiştir. Gravite ve manyetik verilerinden elde edilen üçer adet güç spektrumu grafiği Şekil 5 ve 6 da verilmiştir.

Güç spektrumlarının frekansa göre dağılımına uygun olan doğrular en küçük kareler yöntemi ile hesaplandıktan sonra her bölgenin ortalama derinliği saptanmıştır.

Her bölgede ayrı ayrı elde edilen ortalama derinliklerinden Marmara Denizi için gravite ve manyetik anomalilere neden olan kütlelerin ortalama derinlik haritaları çizilmiş ve bunlar Şekil 7 ve Şekil 8'de gösterilmiştir.

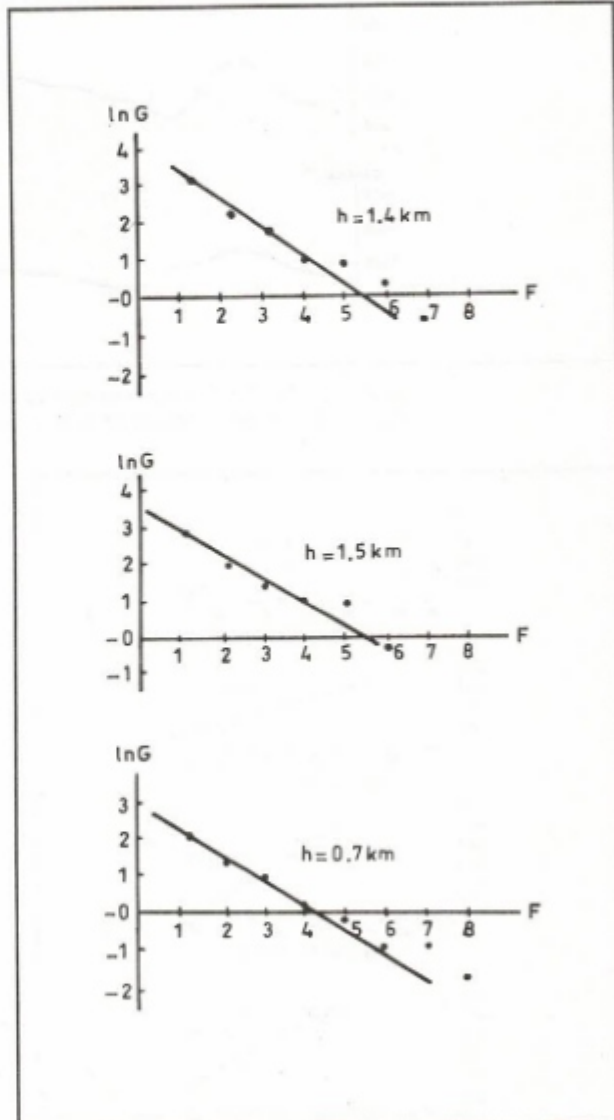
DEĞERLENDİRME

Bu bölümde tek boyutlu Fourier dönüşümünden hesaplanan ortalama derinlikler (Çizelge 1) ile iki boyutlu Fourier dönüşümünden elde edilen ortalama derinlik anomali haritaları



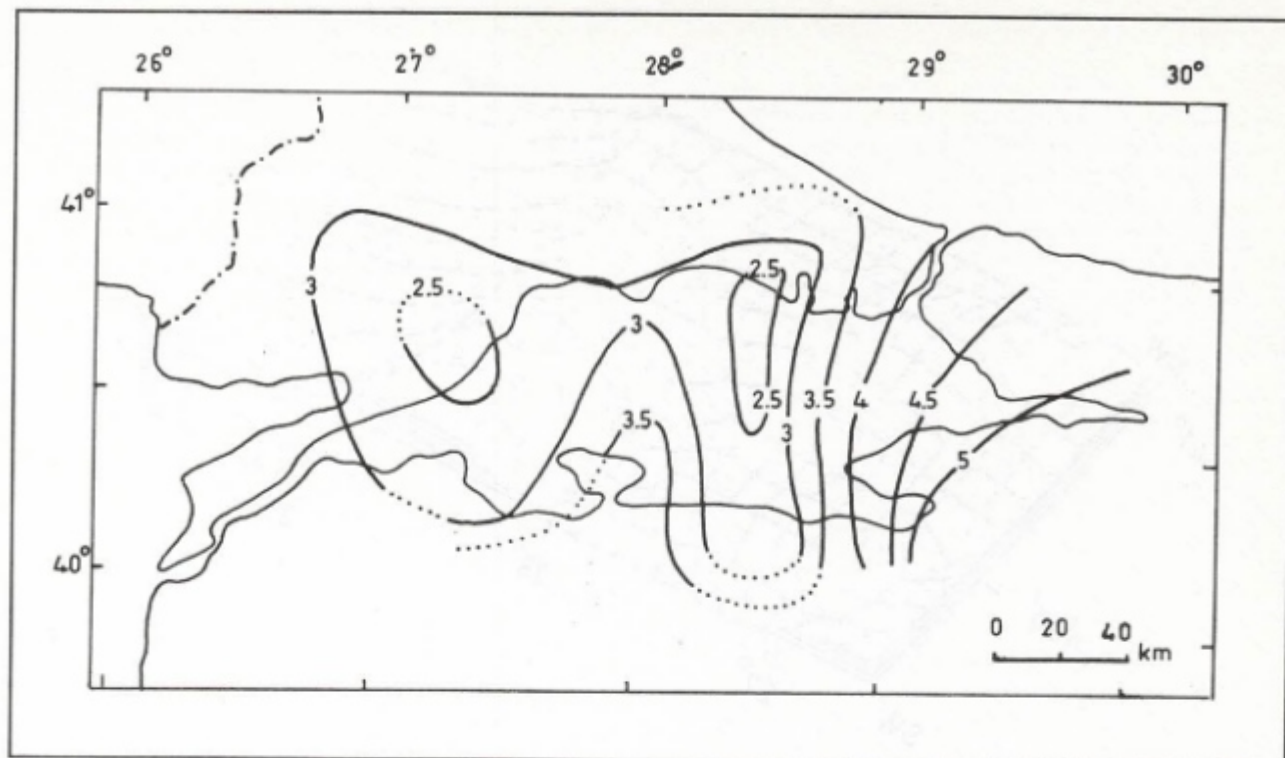
Şekil 5. Gravite haritasının çeşitli bölgelerine ait ortalama güç spektrumu değerlerinin frekansa göre dağılımları

Fig. 5. Distribution of mean power spectrum values

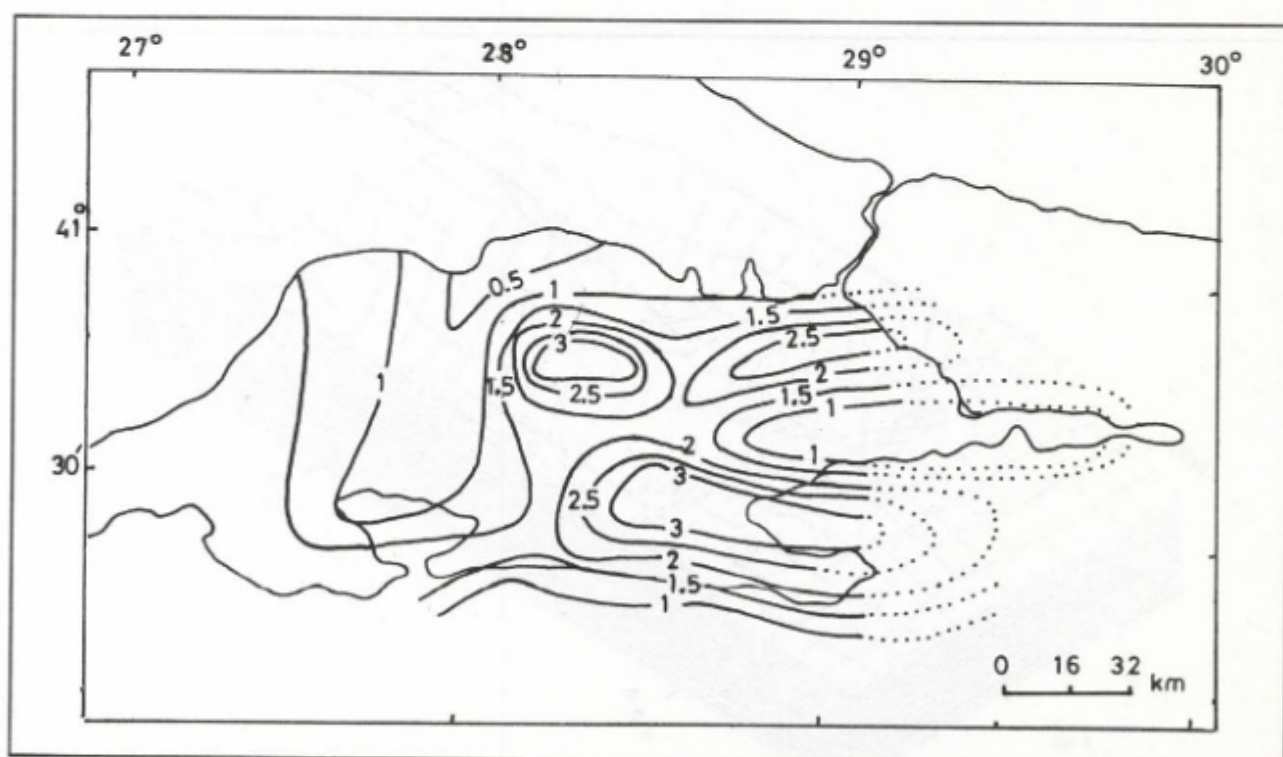


Şekil 6. Manyetik haritanın çeşitli bölgelerine ait ortalama güç spektrumu değerlerinin frekansa göre dağılımları

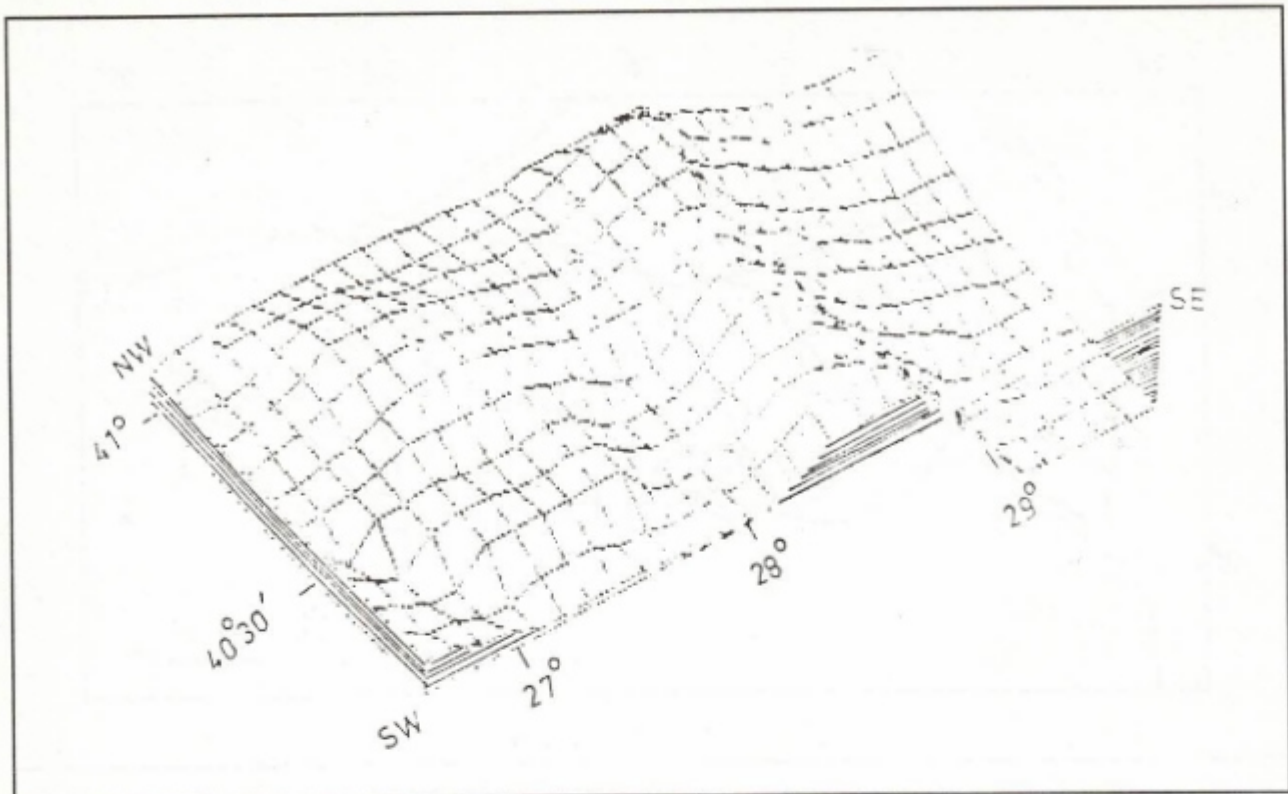
Fig. 6. Distribution of mean power spectrum values versus frequency calculated from various parts of magnetic map.



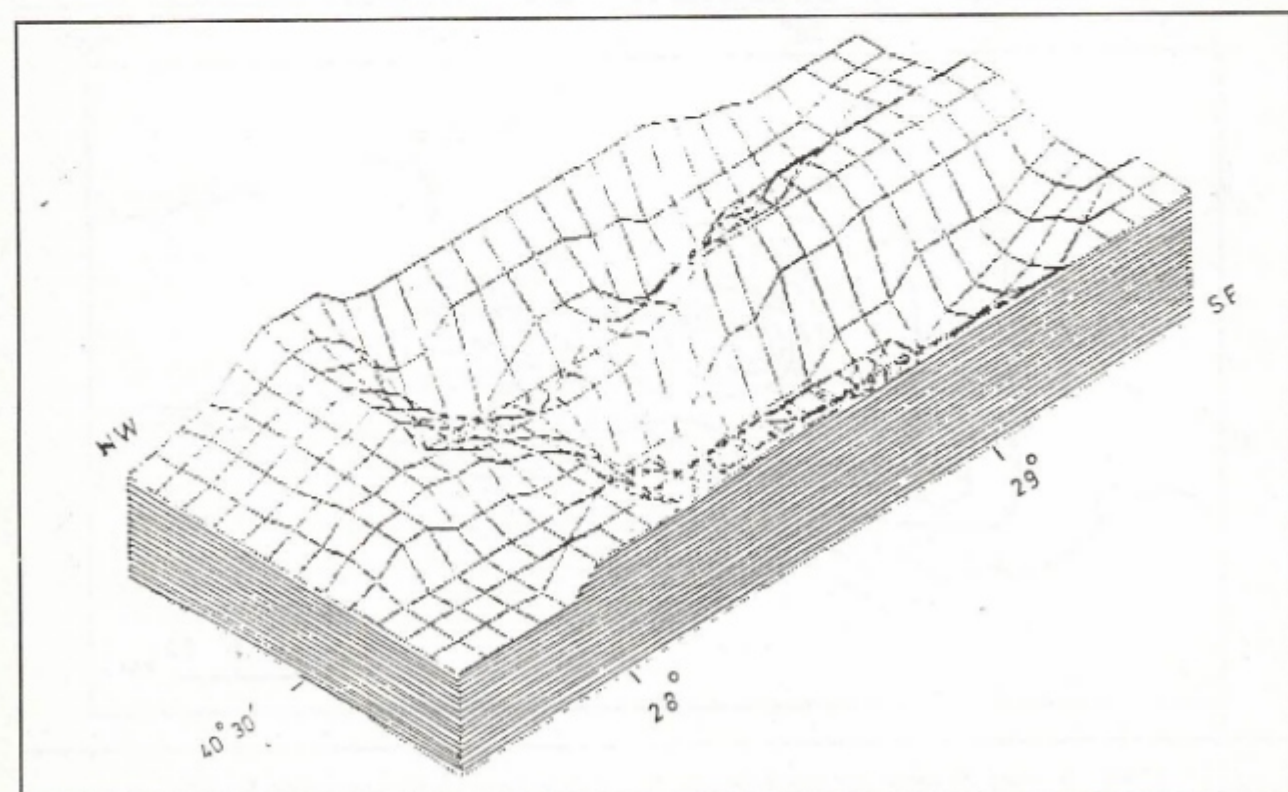
Şekil 7. Gravite anomalilerine neden olan kütlelerin ortalama derinlik haritası (derinlikler km'dir).
Fig. 7. Mean depth map of the masses that cause gravitational anomalies (depths in kilometres).



Şekil 8. Manyetik anomalilere neden olan kütlelerin ortalama derinlik haritası (derinlikler km'dir).
Fig. 8. Mean depth map of the masses that cause magnetic anomalies (depths in kilometres).



Şekil 9. Gravite verilerine uygulanan iki boyutlu Fourier analizinden elde edilen ortalama derinliklerden yararlanarak çizilmiş olan üç boyutlu yapı modeli.
 Fig. 9. Three dimensional structural model drawn by using the mean depths obtained from two dimensional Fourier analysis applied to gravity data.



Şekil 10. Manyetik verilerine uygulanan iki boyutlu Fourier analizinden elde edilen ortalama derinliklerden yararlanarak çizilmiş üç boyutlu yapı modeli.
 Fig. 10. Three dimensional structural model drawn by using the mean depths obtained from two dimensional Fourier analysis applied to magnetic data.

(Şekil 7 ve 8) arasındaki ilişkinin karşılaştırılması amaçlanmıştır. Buna göre Şekil 1 de konumları verilen gravite profillerinden BB', DD', EE' ve GG' de derinlikler 2.3, 5.2, 4.0 ve 3.4 km olarak bulunmuştur. Bu profillerin geçtiği bölgelerin ortalama derinlikleri de sırasıyla 2.5, 4.7, 3.5 ve 3.3 km olarak hesaplanmıştır. Sonuçların birbirine oldukça yakın olduğu görülmektedir. Ancak diğer gravite profillerinde bu tutarlılık nisbeten daha azdır.

Manyetik verilere iki farklı yöntemin uygulanması sonucu elde edilen değerler arasında ise daha iyi bir uyum olduğu saptanmıştır. Bu durumun nedeninin manyetik yöntemlerin her ikisinin de aynı harita üzerine uygulanması sonucu olduğu görüşüne varılmıştır.

Aynca Marmara Denizi gravite ve manyetik verilerinden elde edilen derinlik değerleri, enlemler ve boyamlar birlikte dikkate alınarak bölgede anomalide neden olan yüzeye yakın kütülelerin üç boyutlu yapı modelleri elde edilmiş ve bunlar Şekil 9 ve 10 da gösterilmiştir.

KAYNAKLAR

- Adatepe, F.M. ve Demirel, A.S. 1987, İki boyutlu asimetrik üçgen prizma ve dayanın manyetik anomalilerinin Fourier transformıyla değerlendirilmesi, İ.Ü. Deniz Bilimleri ve Coğrafya Enstitüsü Bülteni 3, 155-170.
- Adatepe, F. M. 1988, Marmara Denizi Jeofizik Verilerinin Değerlendirilmesi, Doktora Tezi, İ. Ü. Deniz Bilimleri ve Coğrafya Enstitüsü, İstanbul.
- Babu, R.I.V., Rao, A.D. and Narayan, S.P.V. 1980, Interpretation of the total magnetic intensity anomaly due to a two dimensional asymmetric triangular prism using Fourier transforms, Geo-exploration 18, 33-41.
- Barka A. 1987, Kuzey Anadolu Fay Zonunun Batısının Tektoniği ve Deprem Etkinliği, B.U. Kandilli Rasathanesi Seminer Notları, İstanbul.
- Bhattacharyya, B.K. 1966, Continuous spectrum of total magnetic field anomaly due to a rectangular prismatic body, Geophysics 31, 97-121.
- Bhimasankaram, V.L.S., Mohan, N.L. and Rao, S.V. 1978, Interpretation of magnetic anomalies of dikes using Fourier transforms, Geoexploration 16, 259-266.
- Canitez, N. 1962, Gravite Anomalileri ve Sismolojiye Göre Kuzey Anadoluda Arz Kabuğunun Yapısı, Doktora Tezi, İ.T.Ü. Maden Fakültesi, İstanbul.
- Canitez, N. ve Karapınar A. 1986, Batı Anadoluda Izostatik Denge, TÜBİTAK, Gebze Araştırma Merkezi Temel Bilimler Araştırma Enstitüsü, Yer Bilimleri Araştırma Bölümü Faaliyetleri Kitabı, İstanbul.
- Davis, J.C. 1973, Statistics and Data Analysis in Geology, John Wiley Sons Inc., New York.
- Dedeşayır, B.S. 1976, Batı Türkiye'nin Düşey Manyetik Şiddet Haritasının Yorumu, Lisans Tezi, İ.Ü. Fen Fakültesi, İstanbul.
- Ekingen, A. 1973, Manyas Gölü depresyonu kırılma tektoniğinin gravimetrisi ve Kuzey Anadolu dislokasyon kuşağı ile olan ilişkisi, MTA Enstitüsü Kuzey Anadolu Fayı ve Deprem Kuşağı Simpozyumu Tebliğler Kitabı, 142-151, Ankara.
- Erinç, Z., Kurter, A., Eroskay, O. ve Mater, B. 1984, Batı Anadolu ve Trakya Uygulamalı Jeomorfoloji Haritası'nın Kesin Raporu, TÜBİTAK Projesi, TBAG-593, Ankara.
- Erinç, S. 1986, Türkiye Denizleri Ders Notları, İ.Ü. Deniz Bilimleri ve Coğrafya Enstitüsü, İstanbul.
- Gündoğdu, O. 1984, Türkiye Depremlerinin Kaynak Parametreleri ve Aralarındaki İlişkiler, Doktora Tezi, İ.Ü. Mühendislik Fakültesi, İstanbul.
- Gürbüz, C., Üçer, S. B. ve Özdemir, H. 1980, Adapazarı yöresinde yapılan yayap patlama ile ilgili ön değerlendirme sonuçları, Deprem Araştırma Bülteni 31, 73-78.
- Hökelekli, E. 1981, Sonsuz Uzunluklu Daykların Manyetik Anomalilerinin Doğrudan Yorumlanması İçin İki Yöntem, Lisans Tezi, İ.Ü. Mühendislik Fakültesi, İstanbul.
- İlkışık, M. 1981, Manyetotelli Türk Yöntemle Trakya'da yer kabuğunun araştırılması, İ.Ü. Yerbilimleri Yayın Organı 2, 307-319.
- Kavlakoğlu, S. ve Özakay, R. 1973, Marmara denizi bölgesi manyetotelliğin hatları, M.T.A. Enstitüsü Kuzey Anadolu Fayı ve Deprem Kuşağı Simpozyumu Tebliğler Kitabı, 152-162, Ankara.
- Ketin, I. 1983, Türkiye Jeolojisine Genel Bir Bakış, İ.T.Ü. Yayınevi, İstanbul.
- Kiyak, Ü. 1986, Kuzey Anadolu Fay Zonu'nun Batı Uzantılarının İncelenmesi, Doktora Tezi, İ.Ü. Mühendislik Fakültesi, İstanbul.
- Oral, B.M. 1987, Some Remarks on the Gravity Anomalies of W. Turkey and Its Implications on the Crustal Structure, Yüksek Lisans Tezi, İ.T.Ü. Maden Fakültesi, İstanbul.
- Oral, B.M. ve Canitez, N. 1987, Batı Anadolu gravite anomalilerinin kabuk yapısına bağlı olarak incelenmesi, T. Jeofizik Bilimsel ve Teknik 9. Kurultayı Bildiri Özeti Kitabı, 9-10, Ankara.
- Sanver, M. 1974, Ege Bölgesi Havadan Manyetik Haritasının İki Boyutlu Filtreler ve İstatistik Yöntemlerle Analizi, İ.T.Ü. Yayınevi, İstanbul.
- Sipahioglu, S. 1984, Kuzey Anadolu fay zona ve çevresinin deprem etkinliğinin incelenmesi, Deprem Araştırma Enstitüsü Bülteni 45.
- Spector, A. and Grant, F.S. 1970, Statistical methods for interpreting aeromagnetic data, Geophysics 35, 293-302.
- Şengör, A.M.C., Görür, N. and Saroğlu, F. 1985, Strike-Slip deformation basin formation and sedimentation: Strike-slip faulting and related basin formation in zones of tectonic escape: Turkey as a Case Study Society of Economic Paleontologists and Mineralogists Special Publication 37, 227-264.
- Raissi, T.H. 1987, Kuzeybatı İran'ın Aeromagnetik Haritasının İki Boyutlu Fourier Analiziyle Değerlendirilmesi, Doktora Tezi, İ.Ü. Fen Bilimleri Enstitüsü, İstanbul.
- Yahsi, H. 1983, İki Boyutlu Fourier Analizi ile Ege Bölgesinin Kütle Derinliğinin Hesaplanması, Lisans Tezi, İ.Ü. Mühendislik Fakültesi, İstanbul.
- Yörük, A. 1983, Gönen, Manyas Alanının Filtrelenmesi ve Temel Yapı Derinliğinin Tayini, Lisans Tezi, İ.Ü. Mühendislik Fakültesi, İstanbul.

BATI ANADOLU DEPREM RİSKİNİN SEMİ-MARKOV MODEL İLE DEĞERLENDİRİLMESİ

Evaluation of Earthquake Risk in West Anatolia by Semi-Markov Model

Yıldız ALTINOK*

ÖZET

Bu çalışmada Batı Anadolu'nun 36.00° - 39.80° K enlemleri ve 26.00° - 31.00° D boyamları ile sınırlı alanına Semi-Markov Modeli uygulanarak deprem riski saptanmıştır.

İnceleme bölgesinde 1900-1986 yılları arasında olmuş $M \geq 5.5$ olan 75 deprem gözönüne alınmıştır. M_1 ($5.5 \leq M < 6.0$), M_2 ($6.0 \leq M < 6.5$) ve M_3 ($M \geq 6.5$) olarak tanımlanan deprem büyüklük durumlarının büyük-büyüklik geçiş olasılıkları bulunarak aralık geçiş olasılıkları elde edilmiştir.

Büyük-büyüklik geçişlerinin aralık geçiş olasılıklarına göre: bölgede M_1 deprem büyüğünün etkin olduğu, M_1 büyüğündeki depremin ardından bir başka M_1 büyüğündeki depremin olma olasılığının yüksek olduğu görülmektedir.

ABSTRACT

In this study earthquake risk is evaluated by the application of Semi-Markov Model for the area limited by the 36.00° - 39.80° N latitudes and 26.00° - 31.00° E longitudes of West Anatolia.

The work carried out on 75 earthquakes which have magnitudes 5.5 and higher in the time period of 1900-1986. The earthquake magnitude states were defined as M_1 ($5.5 \leq M < 6.0$), M_2 ($6.0 \leq M < 6.5$) and M_3 ($M \geq 6.5$). Interval transition probabilities were obtained by magnitude-magnitude transition probabilities.

According to the interval transition probabilities of the magnitude-magnitude transitions; earthquakes with M_1 magnitude is dominant in the region and the probability of occurring the other earthquake of M_1 magnitude following the first one is high.

GİRİŞ

Deprem riski hesaplamalarında bugüne dek birçok yöntem kullanılmıştır. En çok kullanılan yöntem Poisson Modelidir. Modelin temel özelliği, olayların oluşumunu uzay ve zaman boyutunda bağımsız varsayımasıdır. Poisson Modelinden yararlanarak Gumbel Uç Değer Dağılımları, Weibull Olasılık Dağılımı gibi teknikler kullanılarak deprem riski hesapları yapımaya çalışılmıştır. Ikinci bir ana yöntem olarak da Markov Modeli kullanılmıştır. Bu modelde ise olayların oluşumunun uzay ve zaman boyutunda bağımlılıkları söz konusudur. Her olayın kendinden bir önceki olaya bağlı olduğu kabul edilir. Bu da modelin tek adım bellek (one-step memory) özelliğidir. Modelin uygulayıcıları arasında Hagiwara (1975), Kiremidjian ve Anagnos (1980), Grivas ve diğ. (1980) anılabılır.

Semi-Markov Model, Markov Modelini temel olarak deprem riski hesaplarına uygulamaktadır. Markov Modeline göre üstün yani olayların uzay boyutunda bağımlı olmalarına karşın zaman boyutunda birim zamandan bağımsız değerlendirilmeleridir. Olaylar kendinden önceki ve gelecek olana bağlı olduklarından arada geçen zaman önemli bir rol oynar. Bu da modelin çok adım bellek (multi-step memory) özelliğini gösterir. Modelin uygulayıcıları arasında Patwardan ve diğ. (1980), Cluff ve diğ. (1980), Altinok (1984) anılabılır.

Semi-Markov Modeli ve deprem olayı arasındaki bağlantılıya bakılacak olursa, birbirleriyle tektonik ilişkisi olan bölgelerde iyi sonuç vereceği öne sürülmüştür. Mogi (1969), Kel-leher (1970), Sykes (1971), Patwardan ve diğ. (1980) tektonik ilişkinin olduğu yerlerde özellikle büyük depremlerin büyüklerinin ve oluşum zamanlarının rastlantısal olmadığını ileri sürmüştürlerdir. Semi-Markov Modeline göre belirli bir bölgede olacak depremin büyüklüğü önceki depremin büyüklüğüne ve arada geçen zamana bağlıdır.

Deprem riski hesaplamalarında kullanılan modellerin birbirlerine göre seçilebilecek üstün yanları vardır. Poisson Modeli bölgesel çalışmalarında ve geniş alanlarda iyi sonuç vermekle beraber Markov Modeli ve Semi-Markov Modeli yerel çalışmalarında ve benzer tektonik özellik gösteren alanlarda kullanılabilir (Altinok 1988).

YARARLANILAN YÖNTEM

Bu çalışmada Semi-Markov Modeli kullanılarak deprem riski saptanmaya çalışılmıştır.

Modelin uygulanmasındaki ilk aşamada G_i (G), geçiş matrisinin (transition probability matrix) belirlenmesi gerekmektedir. i ve j durum (state) olmak üzere i durumundan j du-

* İ.Ü. Mühendislik Fakültesi, Jeofizik Mühendisliği Bölümü, Avcılar 34840 İstanbul

rumuna geçiş olasılıklarını içeren G_{ij} matrisi stokastik bir matris olduğundan (1) eşitliğinde gösterildiği gibi her satır bir olasılık vektöridür (Howard 1971).

$$0 \leq G_{ij} \leq 1, \quad 1 \leq i, \quad j \leq N$$

$$\sum_{j=1}^N G_{ij} = 1, \quad i = 1, 2, \dots, N \quad (1)$$

N , toplam durum sayısıdır. Olayların geçiş olasılıklarının dağılımı G_{ij} matrisi ile belirlenir.

Ikinci aşamada olaylar zaman boyutunda incelenerek i durumundan j durumuna geçiş zamanı (holding time) t_{ij} ler oluşturulur. t_{ij} pozitif, tam ve rastlantısız bir sayıdır. u birim zaman olarak seçildiğinde

$$t_{ij} = mu, \quad m = 1, 2, 3, \dots, n \quad (2)$$

olur. Sözkonusu t_{ij} en az bir birim uzunlukta ve sonu bir değerdedir. t_{ij} lerin olasılık değerleri, T_{ij} ler elde edilerek $T(m)$, olasılık kütle fonksiyonları (holding time mass functions)

$$T(m) = \sum_{m=1}^n T_{ij}(m) = 1 \quad (3)$$

bağıntısına uygun olarak oluşturulur.

G_{ij} (G), geçiş matrisi ve $T(m)$, geçiş zamanı olasılık kütle fonksiyonlarının belirlenmesi ile elemanları c_{ij} olan

$$c_{ij}(m) = G_{ij} T_{ij}(m) \quad i = 1, 2, \dots, N \quad (4)$$

$$j = 1, 2, \dots, N$$

$$m = 1, 2, 3, \dots, N$$

$C(m)$, çekirdek matrisleri (core matrixes) elde edilerek bağlantılı olasılıkları (joint probabilities) bulunur.

$C(m)$ matrislerinden yararlanarak elemanları $w_i(m)$ olan

$$w_i(m) = \sum_{j=1}^N c_{ij}(m), \quad m = 1, 2, 3, \dots \quad (5)$$

$W(m)$, beklenme zamanı matrisleri (waiting time matrixes) ve elemanları $> w_i(n)$ olan

$$> w_i(n) = \sum_{m=n+1}^{\infty} w_i(m), \quad n = 1, 2, 3, \dots \quad (6)$$

$> W(n)$, tümleyici beklenme zamanı matrisleri (complementary waiting time matrixes) oluşturulur.

Semi-Markov Modelinde $F(n)$, aralık geçiş olasılıklarının (interval transition probabilities) bulunması ile deprem riskini saptamaya yaklaşım sağlar.

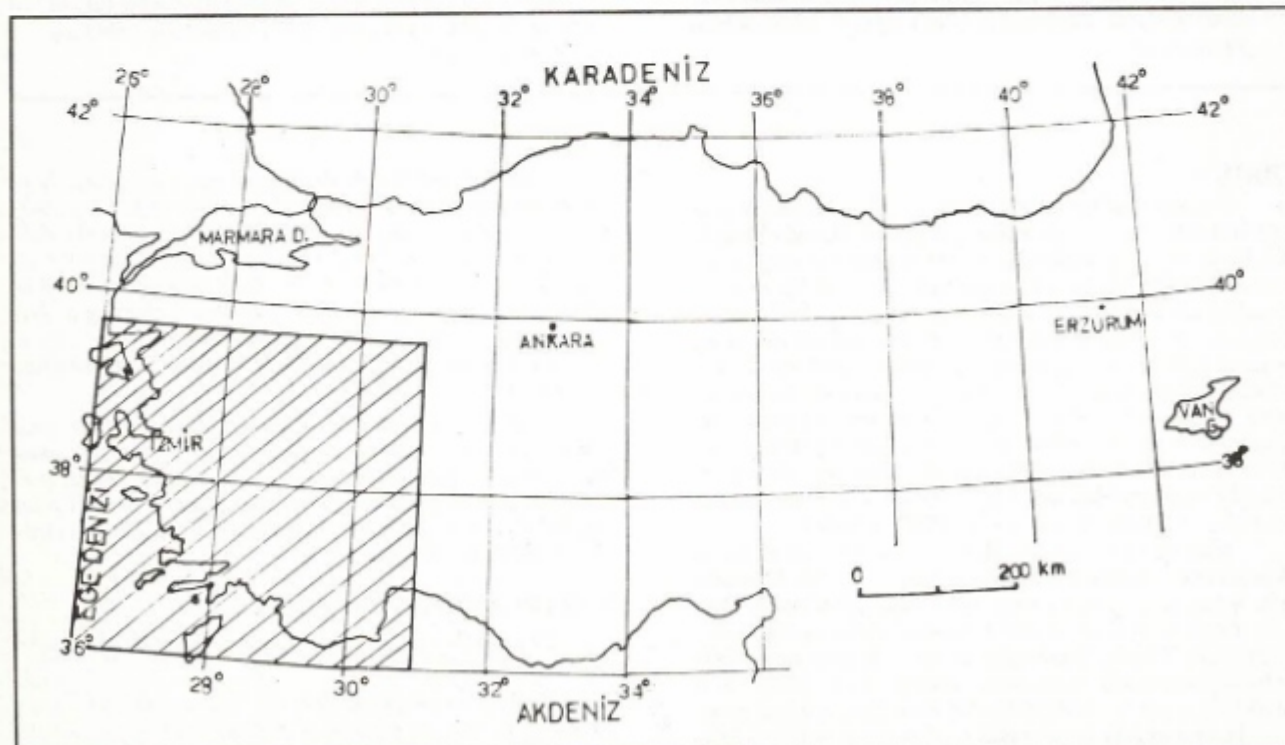
$$F(n) \Rightarrow W(n) + \sum_{m=0}^n G \square T(m) F(n-m), \quad n = 0, 1, 2, \dots \quad (7)$$

$F(n)$ olasılıkları, $m = 0$ zamanında i durumundan başlayan olayın $m = n$ zamanında j durumuna geçiş olasılığını göstermektedir. Başka bir deyişle olay i den başlamak üzere $(0, n)$ aralığında j ye bir kez geçmemeli veya m zamanlarında ($0 < m < n$) başka durumlara geçerek n zamanında j de son bulmalıdır.

(7) nolu bağıntıdağı \square operatörü, boyutları aynı olan iki matrisini karşılıkli elemanlarının çarpımını göstermektedir (congruent matrix multiplication).

UYGULAMA BÖLGESİ

Semi-Markov Modelinin yapısal süreksizlikler gibi birbirile tektonik ilişkisi olan yerlerde iyi sonuç vereceği gözönüne alınarak benzer tektonik alanlara da uygulanabileceğü dü-



Şekil 1. İnceleme bölgesi
Fig. 1. Investigated area

şünümüşür. Bu nedenle uygulama bölgesi olarak Batı Anadolu'nun 36.00° - 39.80° K ve 26.00° - 31.00° D koordinatları ile sınırlı alanı seçilmiştir (Şekil 1). Bilindiği gibi Batı Anadolu'daki tüm fay düzlemi çözümleri normal eğim ataklı faylarda göstermekle olup, bölgede yerkabuğunun genişlediğini işaret etmektedir (Alptekin 1978). Bölgede kuzey-güney doğrultulu gerilmeler egemendir. Ayrıca bölgedeki düşey hareketlerin etkinliği tektonik özelliği veren grabenlerin göstergesidir. Batı Anadolu'nun kuzey ve güneyinde deprem odak mekanizma çözümleri farklılık göstermektedir.

YARARLANILAN VERİLER

Bu çalışmada yararlanılan veriler 1900 sonrası aletsel dönemde ait olup Gündoğdu-Altinok Deprem Veri Seti (1986)'nden sağlanmıştır (Ek. 1). Bu veri kümesi; Alsan ve diğ. (1975), Dewey (1976), Kandilli Deprem Kataloğu (1981), Ambraseys ve Jackson (1981), Ayhan ve diğ. (1986) ve bazı bültenlerden (ISC ve PDE) yararlanarak derlenmiştir. Çalışmada kullanılan 75 depremin büyüklükleri 5.5 veya daha büyütür.

MODELİN UYGULANMASI

Modelin uygulanmasındaki ilk aşamada bölgede oluşan depremlerin büyüklükleri durum olarak alınmış ve 3 durum oluşturulmuştur. Bunlar sırasıyla aşağıda belirtildiği gibidir.

$$5.5 \leq M < 6.0 \quad M_1 \text{ Durumu}$$

$$6.0 \leq M < 6.5 \quad M_2 \text{ Durumu}$$

$$M \geq 6.5 \quad M_3 \text{ Durumu}$$

M_1 , M_2 ve M_3 büyüklüklerinde oluşan depremlerin ardışık geçiş sayıları gözönüne alınarak G_{ij} geçiş matrisi elde edilmiştir.

$$G_{ij} = \begin{bmatrix} 0.63 & 0.26 & 0.11 \\ 0.56 & 0.13 & 0.31 \\ 0.66 & 0.17 & 0.17 \end{bmatrix} \quad (1)$$

Ardışık geçişler arasındaki zamanlar incelenerek geçiş zamanı olasılık kütle fonksiyonları oluşturulmuştur (Şekil 2). Geçiş zamanları için birim zaman $u = 1$ yıl seçilmiştir. Geçiş yoksa t_{ij} geçiş zamanı sıfır alınmıştır.

Geçiş matrisi ve geçiş zamanı olasılık kütle fonksiyonlarının belirlenmesi ile (2) - (6) bağıntılarda gösterilen $C(m)$, çekirdek matrisleri ve (7) - (11) bağıntıları ile gösterilen $>W(n)$, tümleyici bekleme zamanı matrisleri saptanmıştır.

$$C(1) = \begin{bmatrix} 0.42 & 0.17 & 0.07 \\ 0.50 & 0.07 & 0.19 \\ 0.42 & 0.09 & 0.09 \end{bmatrix} \quad (2)$$

$$C(2) = \begin{bmatrix} 0.11 & 0.04 & 0.02 \\ 0.00 & 0.00 & 0.06 \\ 0.08 & 0.08 & 0.08 \end{bmatrix} \quad (3)$$

$$C(3) = \begin{bmatrix} 0.07 & 0.00 & 0.00 \\ 0.00 & 0.06 & 0.00 \\ 0.00 & 0.00 & 0.00 \end{bmatrix} \quad (4)$$

$$C(4) = \begin{bmatrix} 0.02 & 0.00 & 0.02 \\ 0.00 & 0.00 & 0.06 \\ 0.16 & 0.00 & 0.00 \end{bmatrix} \quad (5)$$

$$C(5) = \begin{bmatrix} 0.02 & 0.04 & 0.00 \\ 0.06 & 0.00 & 0.00 \\ 0.00 & 0.00 & 0.00 \end{bmatrix} \quad (6)$$

$$>W(1) = \begin{bmatrix} 0.34 & 0.00 & 0.00 \\ 0.00 & 0.24 & 0.00 \\ 0.00 & 0.00 & 0.40 \end{bmatrix} \quad (7)$$

$$>W(2) = \begin{bmatrix} 0.17 & 0.00 & 0.00 \\ 0.00 & 0.08 & 0.00 \\ 0.00 & 0.00 & 0.16 \end{bmatrix} \quad (8)$$

$$>W(3) = \begin{bmatrix} 0.10 & 0.00 & 0.00 \\ 0.00 & 0.12 & 0.00 \\ 0.00 & 0.00 & 0.16 \end{bmatrix} \quad (9)$$

$$>W(4) = \begin{bmatrix} 0.06 & 0.00 & 0.00 \\ 0.00 & 0.06 & 0.00 \\ 0.00 & 0.00 & 0.00 \end{bmatrix} \quad (10)$$

$$>W(5) = \begin{bmatrix} 0.00 & 0.00 & 0.00 \\ 0.00 & 0.00 & 0.00 \\ 0.00 & 0.00 & 0.00 \end{bmatrix} \quad (11)$$

İnceleme bölgesinin $F(n)$, aralık geçiş olasılıkları m zamanlar için 5 aralıktır ($n = 5$) $F(1)$ - $F(5)$ matrisleri olarak aşağıdaki biçimde saptanmıştır.

$$F(1) = \begin{bmatrix} 0.76 & 0.17 & 0.07 \\ 0.50 & 0.31 & 0.19 \\ 0.42 & 0.09 & 0.49 \end{bmatrix}$$

$$F(2) = \begin{bmatrix} 0.71 & 0.17 & 0.12 \\ 0.50 & 0.30 & 0.20 \\ 0.49 & 0.18 & 0.33 \end{bmatrix}$$

$$F(3) = \begin{bmatrix} 0.70 & 0.16 & 0.14 \\ 0.50 & 0.33 & 0.17 \\ 0.52 & 0.15 & 0.33 \end{bmatrix}$$

$$F(4) = \begin{bmatrix} 0.66 & 0.17 & 0.17 \\ 0.55 & 0.22 & 0.23 \\ 0.69 & 0.15 & 0.16 \end{bmatrix}$$

$$F(5) = \begin{bmatrix} 0.62 & 0.21 & 0.17 \\ 0.64 & 0.17 & 0.19 \\ 0.65 & 0.18 & 0.17 \end{bmatrix}$$

Bölggenin $F(1)$ - $F(5)$ matrisleri ile verilen aralık geçiş olasılıkları Şekil 3'de grafiklenmiştir.

SONUÇLAR

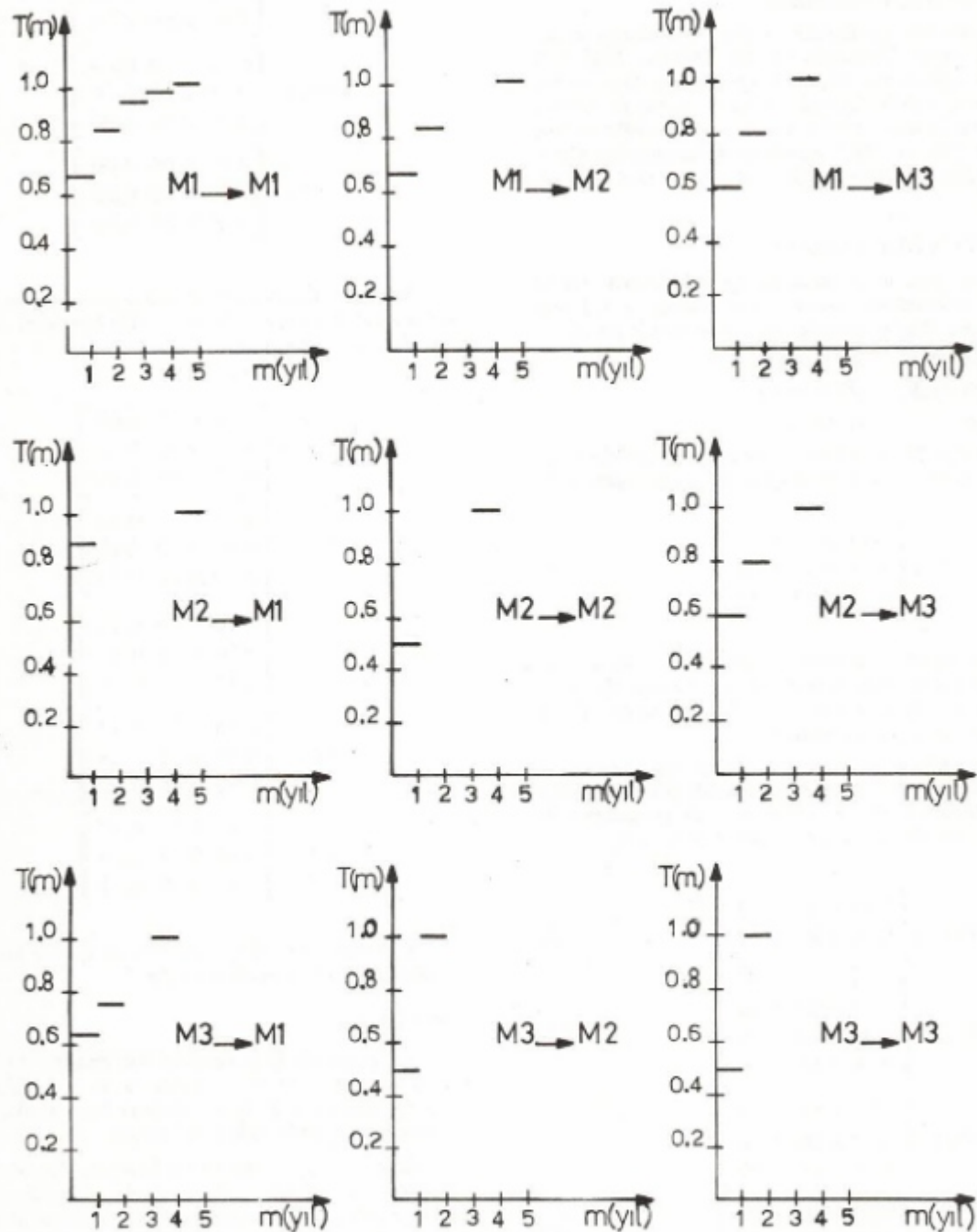
Bu çalışmada Batı Anadolu'nun 36.00° - 39.80° K enlemeleri ve 26.00° - 31.00° D boyamları ile sınırlı alanında $M \geq 5.5$ olan depremler gözönüne alınarak Semi-Markov Modeli uygulanmış ve deprem riski saptanmıştır.

Bölgede oluşan depremlerin birbirlerinden bağımsız olmadıkları varsayılarak ardışık olaylar değerlendirilmiştir. Olayların gelecekteki durumlarını belirlemek için herhangi bir dağılım fonksiyonundan yararlanılmamıştır. Ancak olayların gelecekteki durumlarına bir yaklaşım sağlamak, $F(n)$ aralık geçiş olasılığı değerleriyle olmaktadır. Bu olasılıklarla deprem risk değerlerini belirlemek olanaklıdır.

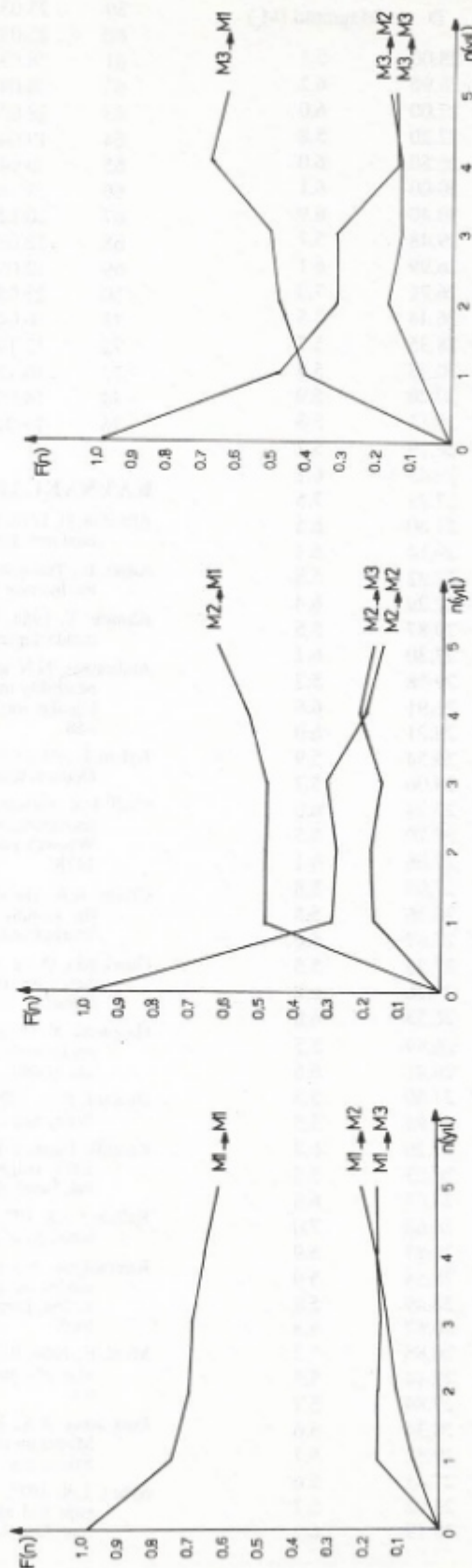
İnceleme bölgesinde $M \geq 5.5$ olan depremlerin büyüklükleri durum (state) olarak alıp büyülüklük-büyüklük geçişleri uzay ve zaman boyutlarında incelenerek $F(n)$ aralık geçiş olasılıkları elde edilmiştir. Tüm inceleme aralığı gözönüne alındı-

ında ($n = 1, 2, \dots, 5$) büyüklik-büyüklik geçişlerinde M1 ($5.5 \leq M < 6.0$) büyükliğindeki depremin ardından aynı büyüklikteki depremin olma olasılığının çok yüksek olduğu gözlenmektedir. Ayrıca M3 ($M \geq 6.5$) büyükliğindeki depremin ardından M2 ($6.0 < M < 6.5$) büyükliğindeki depremin olması

1 yıl için önemli bir olasılık değeri gösterirken M1 büyükliğindeki depremin olma olasılığı oldukça yüksektir. Bölgede M1 büyükliğinde depremlerin olma olasılıklarının etkin olduğu görülmektedir.



Şekil 2. Geçiş zamanı olasılık kütle fonksiyonları.
Fig. 2. Probability mass functions of holding time.



Şekil 3.1.

Şekil 3.2.

Şekil 3.3.

Sekil 3.1-3.3. Aralık geçiş olasılığı fonksiyonları.
Fig. 3.1-3.3. Interval transition probability functions.

EK. 1. YARARLANILAN DEPREM VERİLERİ

Sıra No	Tarih	Koordinat		Magnitüd (M_s)
		K	D	
1	04.04.1903	39.00	28.00	5.5
2	11.08.1904	37.70	26.90	6.2
3	18.08.1904	38.00	27.00	6.0
4	10.10.1904	38.40	27.20	5.8
5	19.01.1909	38.00	26.50	6.0
6	30.04.1911	36.00	30.00	6.1
7	03.10.1914	37.70	30.40	6.9
8	16.01.1918	38.34	29.48	5.7
9	16.07.1918	36.08	26.99	6.1
10	18.11.1919	39.26	26.71	7.0
11	02.04.1920	36.75	26.44	5.5
12	28.09.1920	37.89	28.35	5.7
13	20.11.1924	38.55	30.78	5.9
14	07.08.1925	38.10	30.20	5.9
15	13.01.1926	38.64	28.11	5.8
16	13.01.1926	38.53	28.19	5.7
17	01.03.1926	37.03	29.43	6.1
18	26.06.1926	36.54	27.33	7.5
19	31.03.1928	38.18	27.80	6.5
20	02.05.1928	39.64	29.14	6.1
21	15.07.1928	38.05	27.32	5.5
22	23.04.1933	36.77	27.29	6.4
23	19.07.1933	38.17	29.87	5.5
24	18.03.1935	36.08	27.30	6.1
25	15.09.1939	39.71	29.58	5.7
26	22.09.1939	38.89	26.91	6.6
27	23.05.1941	37.07	28.21	6.0
28	13.07.1941	38.11	26.54	5.9
29	13.12.1941	37.13	28.06	5.7
30	28.10.1942	39.03	27.74	6.0
31	28.10.1942	39.46	27.79	5.5
32	15.11.1942	39.35	28.06	6.1
33	16.10.1943	36.45	27.94	5.8
34	20.11.1943	36.55	28.36	5.5
35	05.01.1944	36.42	27.67	5.6
36	27.05.1944	36.23	27.25	5.5
37	25.06.1944	38.90	29.26	6.2
38	06.10.1944	39.37	26.53	6.8
39	12.04.1946	36.24	26.69	5.5
40	23.07.1949	38.56	26.21	6.6
41	22.10.1952	36.83	27.60	5.5
42	01.05.1954	37.81	26.95	5.5
43	16.07.1955	37.65	27.26	6.8
44	10.07.1956	36.77	26.23	5.5
45	24.04.1957	36.43	28.63	6.8
46	25.04.1957	36.42	28.68	7.0
47	26.04.1957	36.22	28.87	5.9
48	25.04.1959	36.94	28.58	5.9
49	23.05.1961	36.70	28.49	5.8
50	28.04.1962	36.03	26.87	5.8
51	28.04.1962	36.09	26.88	5.5
52	11.03.1963	37.96	29.14	5.5
53	30.01.1964	37.41	29.89	5.7
54	02.03.1965	38.38	28.34	5.6
55	13.06.1965	37.85	29.32	5.7
56	28.11.1965	36.12	27.43	5.6
57	05.12.1968	36.60	26.92	5.7
58	14.01.1969	36.11	29.19	6.2

Sıra No	Tarih	Koordinat		Magnitüd (M_s)
		K	D	
59	23.03.1969	39.06	28.52	5.9
60	25.03.1969	39.02	28.44	6.0
61	28.03.1969	38.42	28.45	6.5
62	06.04.1969	38.36	26.41	5.6
63	28.03.1970	39.06	29.54	7.2
64	19.04.1970	38.90	29.76	5.8
65	19.04.1970	38.90	29.81	5.8
66	23.04.1970	38.98	28.64	5.6
67	20.12.1970	39.23	29.28	5.5
68	12.05.1971	37.64	29.72	6.2
69	12.05.1971	37.58	29.60	5.6
70	25.05.1971	38.94	29.68	5.9
71	30.04.1975	36.19	30.74	5.9
72	12.11.1975	36.28	28.15	5.5
73	16.12.1977	38.41	27.19	5.5
74	14.06.1979	38.79	26.57	5.7
75	26.04.1981	36.55	30.71	5.9

KAYNAKLAR

- Alptekin, Ö. 1978, Batı Anadolu depremlerinin odak mekanizmaları ve bunların aktif tektonik ile ilişkileri, Jeofizik 7.
- Alsan, E., Tezuçan, L., Bath, M. 1975, An Earthquake Catalogue for the Interval 1913-1970, Report No. 7-75, Uppsala-Sweden.
- Altınok, Y. 1984, Semi-Markov modelinin Kuzey Anadolu Fay Zonunda deprem riskine uygulanması, Jeofizik 2, 44-58.
- Ambraseys, N.N. and Jackson, J.A. 1981, Earthquake hazard and Vulnerability in the Northeastern Mediterranean: The Corinth Earthquake sequence of February-March 1981, Disaster 5, 355-368.
- Ayhan, E., Alsan, E., Sancaklı, N., Üçer, B. 1986, Türkiye ve Dolayları Deprem Kataloğu 1881-1980, Boğaziçi Üniversitesi, İstanbul.
- Cluff, L.S., Patwardan, A.S., Coppersmith, K.S. 1980, Estimating the probability of occurrences of surface faulting earthquakes on the Wasatch Fault Zone, Utah., Bull. Seism. Soc. Am. 70, 1463-1478.
- Grivas, A.A., Dyvik, R., Howland, J. 1980, An engineering analysis of the seismic history of New York State, Proceed. of the 7th World Conf. on Earthquake Engineering, İstanbul.
- Gündoğdu, O. ve Altınok, Y. 1986, Türkiye ve Çevresi Deprem Veri Seti 1900-1986, İ.Ü. Mühendislik Fak., Jeofizik Müh. Bl., İstanbul.
- Hagiwara, Y. 1975, A stochastic model of earthquake occurrence and the accompanying horizontal land deformation, Tectonophysics 26, 91-101.
- Howard, R.A. 1971, Dynamic Probabilistic System, vol. 1, 2., John Wiley and Sons, New York.
- Kandilli Deprem Kataloğu 1981, Kandilli Deprem Kataloğu 1900-1975, Bilgisayar çıkışlı, Kandilli Rasathanesi-Sismoloji Bölümü, İstanbul (yayınlanmamış).
- Kelleher, J.A. 1970, Space-time seismicity of the Alaska-Aleutian seismic zone, Jour. Geophys. Res. 75, 5745-5756.
- Kiremidjian, A.S. and Anagnos, T. 1980, A homogeneous stochastic model for earthquake occurrences, Contract no. 14-08-0001-17766, Dept. of Civil engineering, Stanford University, Stanford.
- Mogi, K. 1969, Relationship between the occurrence of great earthquakes and tectonic structures, Bull. Earthq. Res. Inst. 47, 429-451.
- Patwardan, A.S., Kulkarni, R.B., Tocher, D. 1980, A Semi-Markov Model for characterizing recurrence of great earthquakes, Bull. Seism. Soc. Am. 70, 323-347.
- Sykes, L.R. 1971, Aftershock zones of great earthquakes, seismicity gaps and earthquake prediction for Alaska and the Aleutians, Jour. Geophys. Res. 76, 8921-8941.

YAZI VERENLER

AYBİGE AKINCI

1966 yılında Mardin-Kızıltepe'de doğdu. Dokuz Eylül Üniversitesi, Müh. Mim. Fakültesi, Jeofizik Müh. Bölümünden 1986 yılında mezun oldu. 1988'de aynı üniversitenin Fen Bilimleri Enstitüsü'nde yüksek lisans öğrenimini tamamladı. Yine aynı üniversitede 1990 yılından beri doktora çalışmalarını sürdürmektedir ve 1987 yılından beri Jeofizik Müh. Böl. Yerfiziği Anabilim Dalında Araştırma Görevlisi olarak çalışmaktadır.



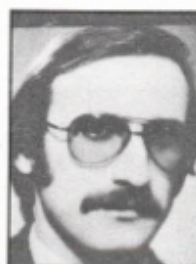
A. GÜNGÖR TAKTAK

1973 yılında Sivrihisar/Eskişehir'de doğdu. İ.Ü., Fen Fakültesi Jeofizik-Jeoloji Bölümü'nden 1961 yılında mezun oldu. 1964-65 yıllarında Fransa'da yabancı dil öğrenimini sürdürdü. Strasburg Jeofizik Enstitüsü'nde 1968'de Yüksek Lisans ve 1971'de Louis Pasteur Üniversitesi'nde doktorasını tamamladı. 1972-1978 yılları arasında EÜ Fen Fakültesi'nde öğretim görevlisi olarak çalıştı ve 1980 yılında doçent oldu. 1982 yılına kadar EÜ Yer Bilimleri Fak. Jeofizik Müh. Bölüm başkanlığını sürdürdü. 1982-1989 yılları arasında DEÜ, Müh. Mim. Fak., Jeoloji Müh. Böl., Uygulamalı Jeofizik Anabilim dalı Başkanı olarak çalıştı. 1989 yılında Profesör oldu. 1990 yılından beri DEÜ, Müh. Mim. Fak., Jeofizik Müh. Bölüm Başkanlığını yürütmektedir.



IBRAHİM AYDIN

1948 yılında Balıkesir de doğdu. İstanbul Üniversitesi Jeofizik Mühendisliği Bölümü mezundur. 1972 yılından beri MTA Genel Müdürlüğü Jeofizik Dairesinde çalışmaktadır.



FATİH M. ADATEPE

1960 yılında İstanbul'da doğdu. 1982 yılında İ.Ü. Mühendislik Fakültesi, Jeofizik Mühendisliği bölümünden mezun oldu. İ.Ü. Deniz Bilimleri ve Coğrafya Enstitüsü, Deniz Jeolojisi ve Jeofiziği Anabilim Dalında 1984 yılında Yüksek Lisansını ve 1988 yılında da "Marmara Denizi Jeofizik Verilerinin Değerlendirilmesi" tezi ile doktorasını tamamladı.



Adatepe'nin iktisat konularıyla ilgili olarak proje katılımları, tebliğleri ile yerli ve yabancı bültenlerde yayınları bulunmaktadır.

Halen, 1984 yılında Araştırma Görevlisi olarak girdiği İ.Ü. Deniz Bilimleri ve Coğrafya Enstitüsünde, Yrd. Doç. olarak görev yapmaktadır.

YILDIZ ALTINOK

1953 yılında İstanbul'da doğdu. 1976 yılında İstanbul Üniversitesi Fen Fakültesi Jeofizik Bölümünü bitirdi. 1977-1979 yıllarında Maden Tetkik ve Arama Enstitüsünde Jeofizikçi olarak görev yaptı. 1979 yılında İstanbul Üniversitesi Yerbilimleri Fakültesinde görevi başlayarak sismoloji ile ilgili konularda çalışmalar yaptı. 1985 yılında doktora çalışmasını bitirdi. Halen İstanbul Üniversitesi Mühendislik Fakültesi Jeofizik Mühendisliği Bölümünde çalışmaktadır.



ODA ÜYELERİ

SİCİL NUMARASI	ADI SOYADI	SİCİL NUMARASI	ADI SOYADI
1000	Hasan YALOVA	1025	S. Hasan BASA
1001	Erol ÖNDER	1026	Tülay ÖZCÜRE
1002	Naki Yücel OLGUN	1027	N. Seden ÇERİ
1003	Emel ÖZTÜRK	1028	Nazım ŞAMLIOĞLU
1004	Nail ÜRÜN	1029	Sedat ERDEN
1005	Ömür KEMER	1030	İnci SARIDEDE
1006	Akın SELVİ	1031	Ercüment SARIDEDE
1007	Nurten Ayten USLU	1032	Zakir KURŞUNTUTMAZ
1008	Memnune BÜYÜKKÖSE	1033	Hasan ATUĞ
1009	Cem Saim DOLU	1034	Mustafa TURHAN
1010	Hasan Yavuz AKTAŞ	1035	Alahattin ÇIKRIKÇİOĞLU
1011	Mahmut BAŞ	1036	A. Sinan GÜRSOY
1012	Tansel ERGÜDEN	1037	Yılmaz DÖNMEZ
1013	Merih LEBLEBİCI	1038	Turgay ÖZGÜ
1014	Oğuz Turhan TOKEL	1039	Kadir IŞIK
1015	B. Nilüfer GÜRELMAN	1040	Ünsal BÖKE
1016	Gürbüz KAYA	1041	Adnan KARAKAŞ
1017	Hasan GÜNSAY	1042	Berrin DUMONOĞLU
1018	Güler BEKÇİ	1043	Bekir TÜZEL
1019	Osman GÜN	1044	Nihal BECERİK
1020	A. Gökhan BAHÇECİ	1045	Cihat AKAYDIN
1021	Halil YILMAZ	1046	Levent GENÇMAN
1022	Osman PEKİSEN	1047	Berrin SARIAHMETOĞLU
1023	Yasin TOK	1048	Bülent BAKIR
1024	Esra Özlem ÖZATA	1049	Ömer ÇETİNKAYA

**Leading-edge technology for
fast, efficient operations in
sensitive environments.**



CGG operates the most sophisticated 3D seismic tools and methods worldwide.

MASSY

Tel: (33-1) 64 47 30 00
Fax: (33-1) 64 47 39 70

LONDON

Tel: (44-81) 899 2400
Fax: (44-81) 899 2500

MOSCOW

Tel: (7-095) 230 20 71
Fax: (7-095) 230 26 63

HOUSTON

Tel: (1) 713/784 07 40
Fax: (1) 713/266 97 54

RIO DE JANEIRO

Tel: (55-21) 224 59 79
Fax: (55-21) 252 77 39

SINGAPORE

Tel: (65) 235 97 33
Fax: (65) 732 76 15

EXPLORATION INNOVATORS FOR TOMORROW'S ENERGY



Heavy weight drilling rig, type P 5001



Vibrators, type VVCA, during a 3D survey

GECO-PRAKLA is an international geophysical company within the Schlumberger Group and offers a wide range of seismic acquisition, data processing and interpretation services.

GECO-PRAKLA is one of the world's leading geophysical contractors with more than 25 survey vessels, 40 land crews, 15 processing centers, 3 petroleum laboratories and 8500 employees.

GECO-PRAKLA operates a major region office in Hanover, coordinating all land seismic activities for its Europe, CIS and Middle East Region (ECM).

Schlumberger
GECO-PRAKLA

For information contact the GECO-PRAKLA office in Ankara:

PRAKLA-PETROL ARAMA SIRKETI
Budak Sokak 6 · Gaziosmanpasa · P. K. 41 Kavaklıdere
06692 Ankara · Phone: 4-127 5 2 45 · Telefax: 4-127 32 52 · Telex 46090 prap tr